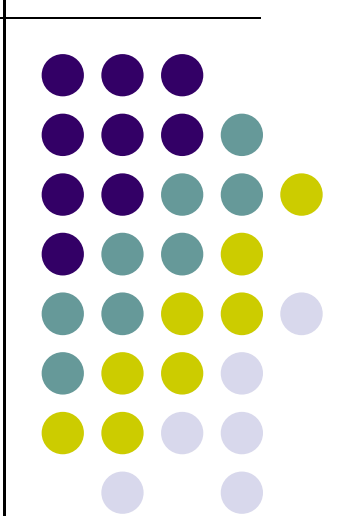
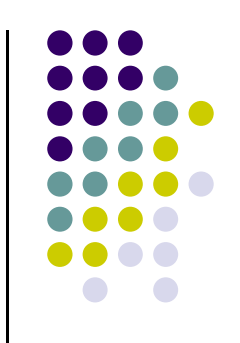
数字图像处理

第五讲 图像复原

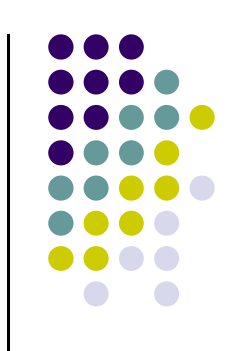


提纲

- 图像退化/复原建模
- 噪声模型
- 仅有噪声的图像复原
- 频域滤波消除周期噪声
- 线性、位置不变的退化
- 估计退化函数
- 逆滤波



引言



- 图像复原
 - 以预先制定的目标改善图像,客观
 - 对模糊图像去模糊
 - 利用退化现象的先验知识来恢复图像

建模退化过程

利用逆过程复原图像

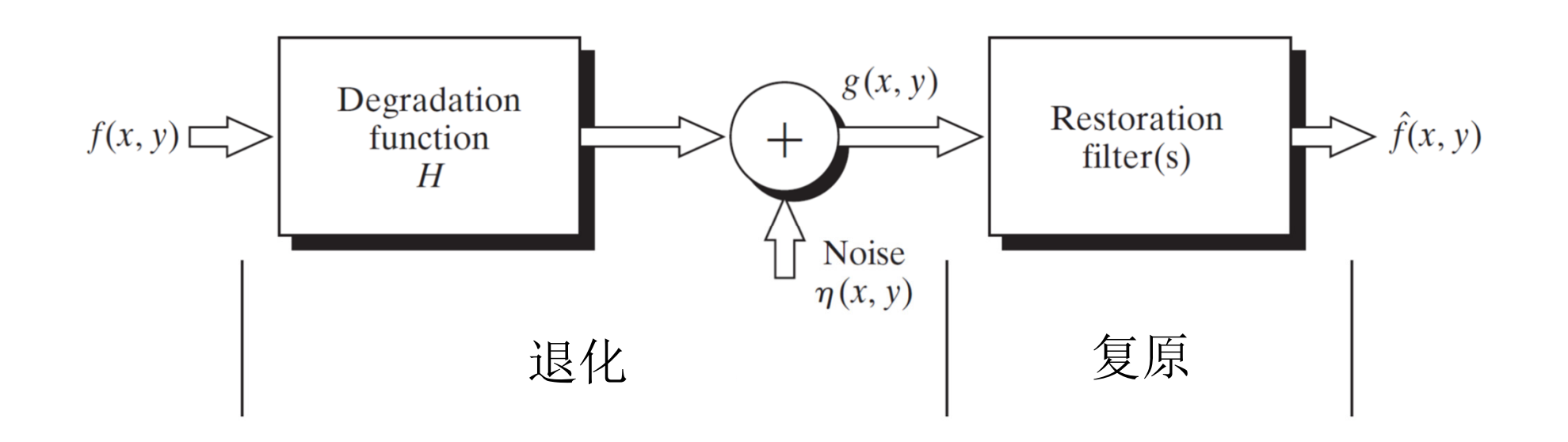
- 图像增强
 - 由人的主观感受来评判, 主观
 - 对比度拉伸

图像退化/复原建模

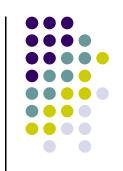
- 输入*f*(*x*, *y*)
- 退化函数H
- 加性噪声η(x,y)
- 复原滤波器
- 输出 $\hat{f}(x,y)$

目标

 $f(x,y) \approx \hat{f}(x,y)$



图像退化/复原建模

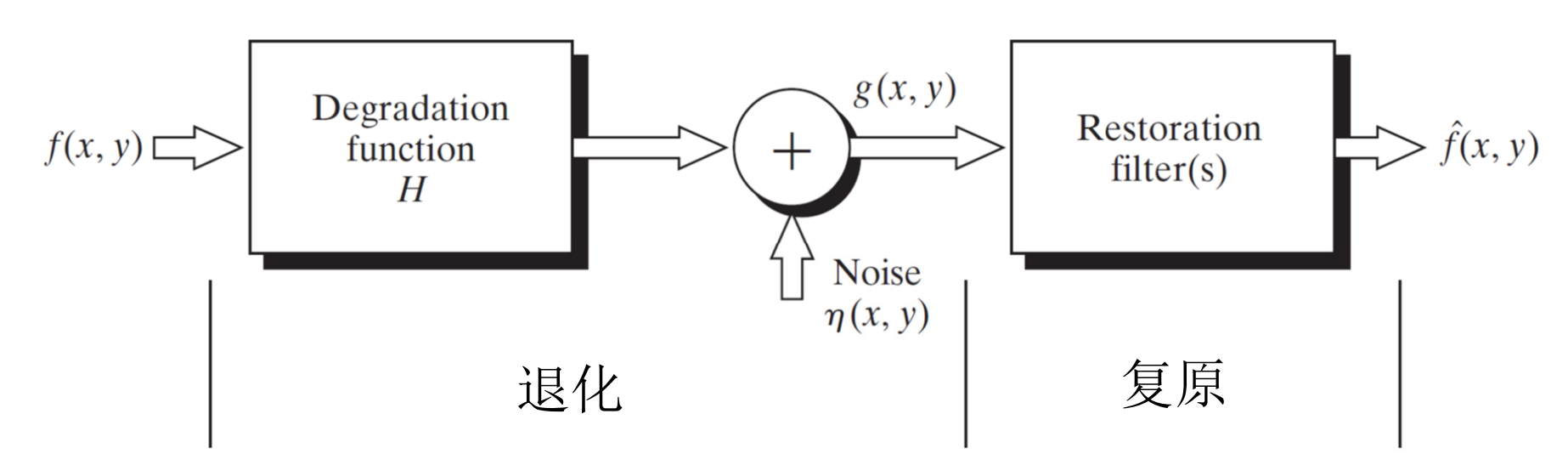


• H为线性、位置不变

$$g(x, y) = h(x, y) \star f(x, y) + \eta(x, y)$$

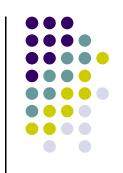
- h(x,y)是退化函数的空间表示
- 频率域表示

$$G(u, v) = H(u, v)F(u, v) + N(u, v)$$



提纲

- 图像退化/复原建模
- 噪声模型
- 仅有噪声的图像复原
- 频域滤波消除周期噪声
- 线性、位置不变的退化
- 估计退化函数
- 逆滤波



噪声



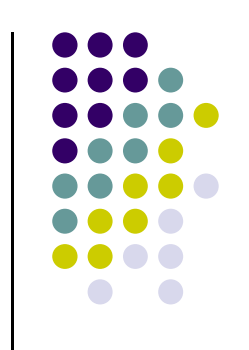
• 当H = I时

$$G(u,v) = F(u,v) + N(u,v)$$

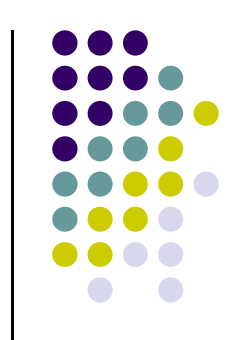
- 噪声来源
 - 图像获取:环境条件(光照)、传感器质量
 - 图像传输:无线信号被干扰
- 刻画噪声
 - 空间域和频率域特点
 - 白噪声: 傅里叶变换后为常数
 - 噪声是否和图像内容相关

噪声类型

- 噪声的空间表示
 - 概率密度函数 (PDF)
- 高斯噪声
- 瑞利噪声
- 爱尔兰 (伽马) 噪声
- 指数噪声
- 均匀噪声
- •脉冲(椒盐)噪声



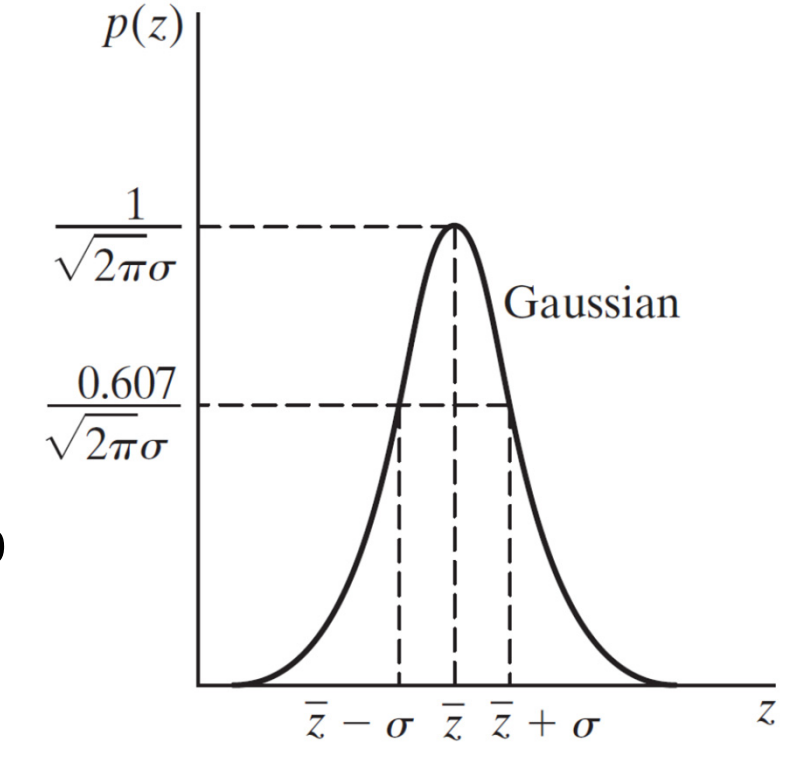
高斯噪声



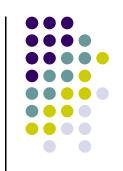
• 概率密度函数

$$p(z) = \frac{1}{\sqrt{2\pi\sigma}} e^{-(z-\bar{z})^2/2\sigma^2}$$

- *z*为均值、σ为标准差
- σ^2 为方差
- $[\bar{z} \sigma, \bar{z} + \sigma]$ 占70%
- $[\bar{z} 2\sigma, \bar{z} + 2\sigma]$ 占95%



瑞利噪声



• 概率密度函数

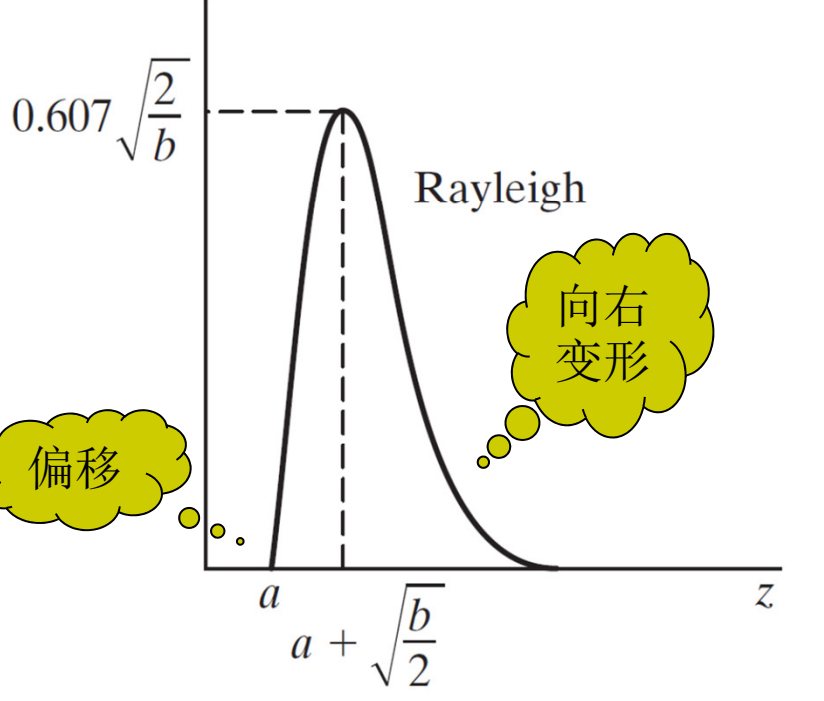
$$p(z) = \begin{cases} \frac{2}{b}(z - a)e^{-(z-a)^2/b} & \text{for } z \ge a \\ 0 & \text{for } z < a \end{cases}$$

均值

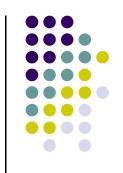
$$\overline{z} = a + \sqrt{\pi b/4}$$

方差

$$\sigma^2 = \frac{b(4-\pi)}{4}$$



爱尔兰(伽马)噪声



• 概率密度函数

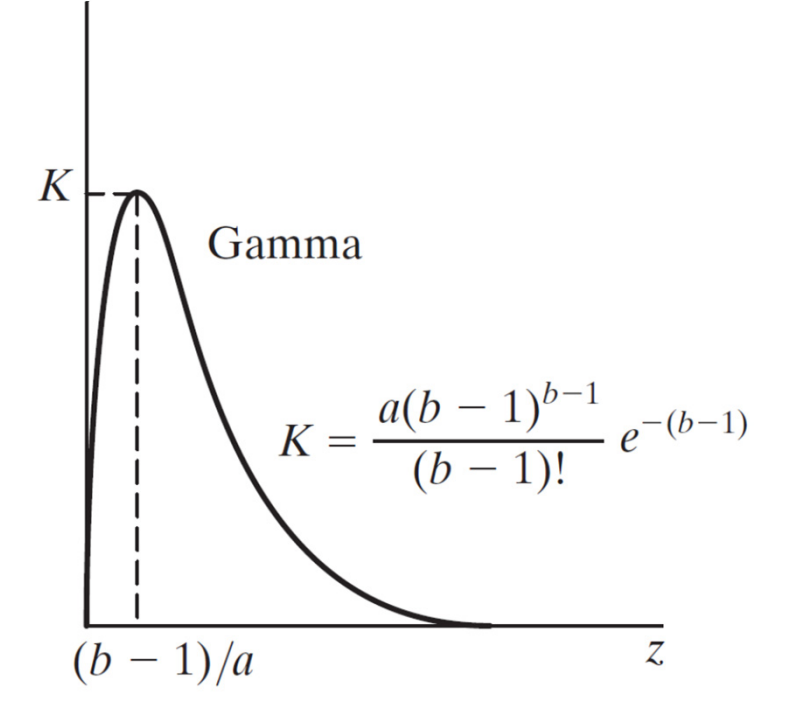
$$p(z) = \begin{cases} \frac{a^b z^{b-1}}{(b-1)!} e^{-az} \\ 0 \end{cases}$$

- a > 0, b正整数
- 均值和方差

$$\overline{z} = \frac{b}{a}$$
 $\sigma^2 = \frac{b}{a^2}$

for
$$z \ge 0$$

for
$$z < 0$$



指数噪声

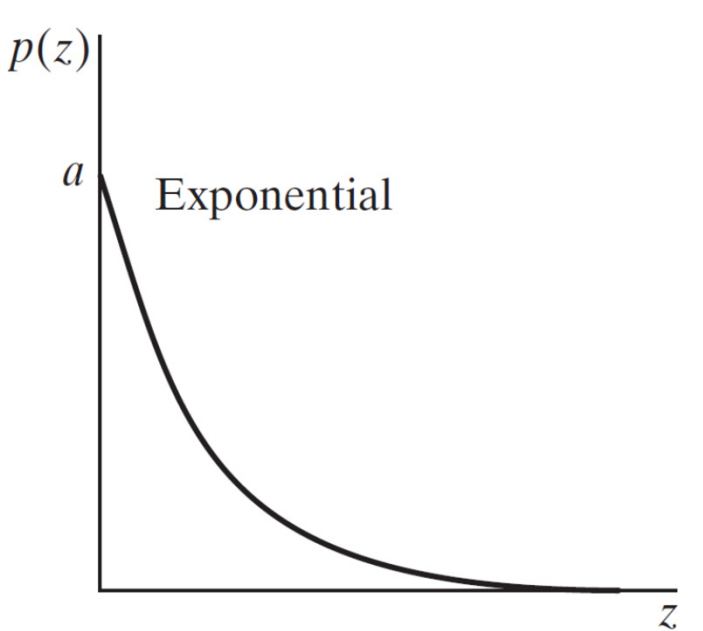


• 概率密度函数

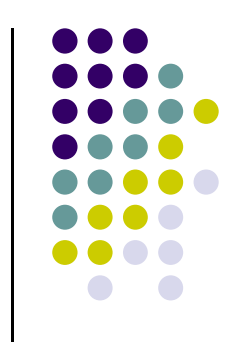
$$p(z) = \begin{cases} ae^{-az} & \text{for } z \ge 0\\ 0 & \text{for } z < 0 \end{cases}$$

- b = 1时的爱尔兰噪声
- 均值和方差

$$\overline{z} = \frac{1}{a}$$
 $\sigma^2 = \frac{1}{a^2}$



均匀噪声



• 概率密度函数

$$p(z) = \begin{cases} \frac{1}{b-a} \\ 0 \end{cases}$$

• 均值

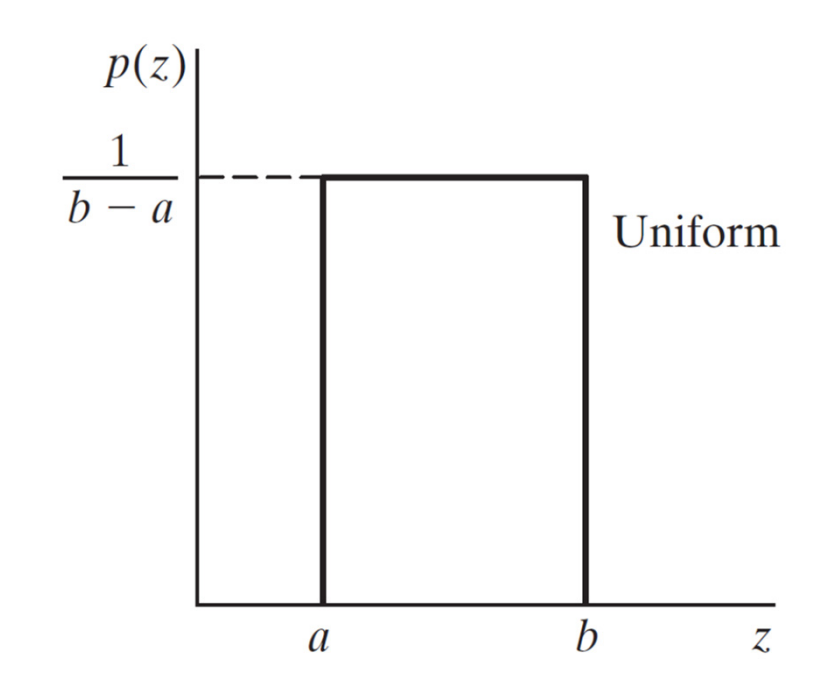
$$\overline{z} = \frac{a+b}{2}$$

方差

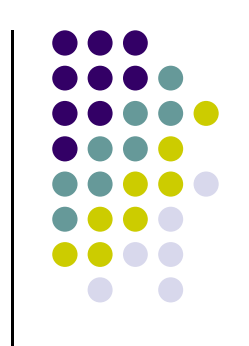
$$\sigma^2 = \frac{(b-a)^2}{12}$$

if
$$a \le z \le b$$

otherwise



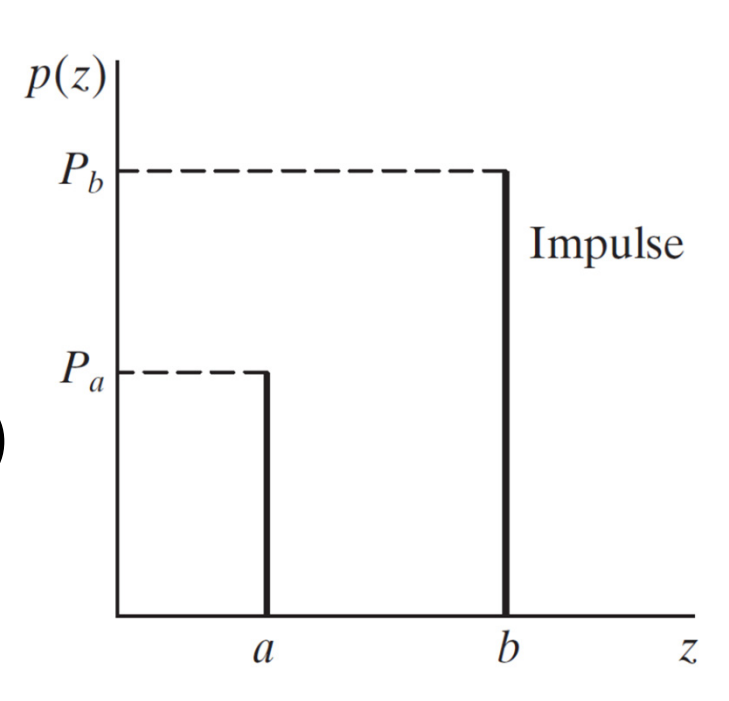
脉冲(椒盐)噪声

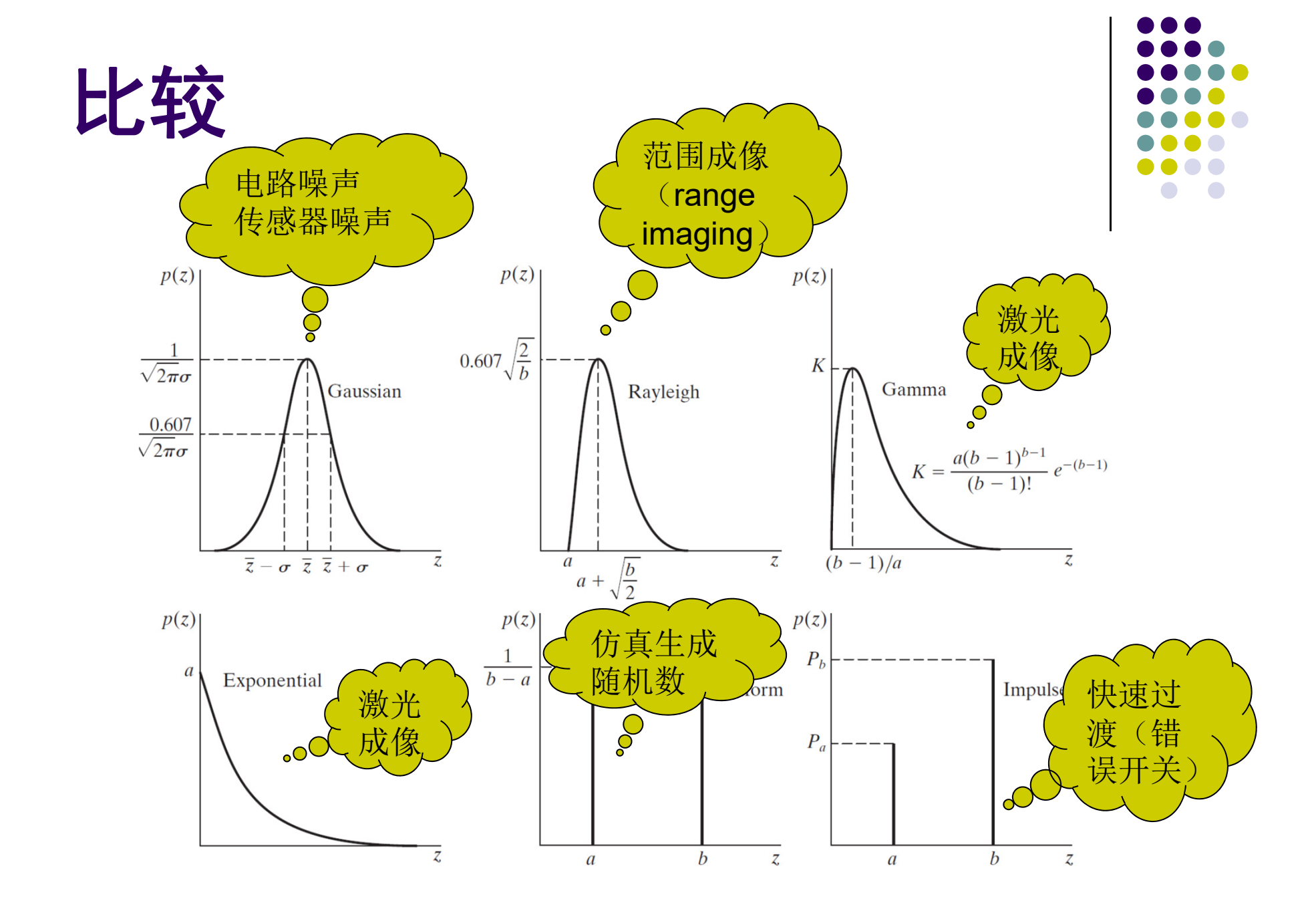


• 概率分布

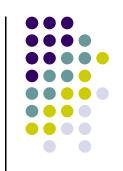
$$p(z) = \begin{cases} P_a & \text{for } z = a \\ P_b & \text{for } z = b \\ 1 - P_a - P_b & \text{for } z = 0 \end{cases}$$

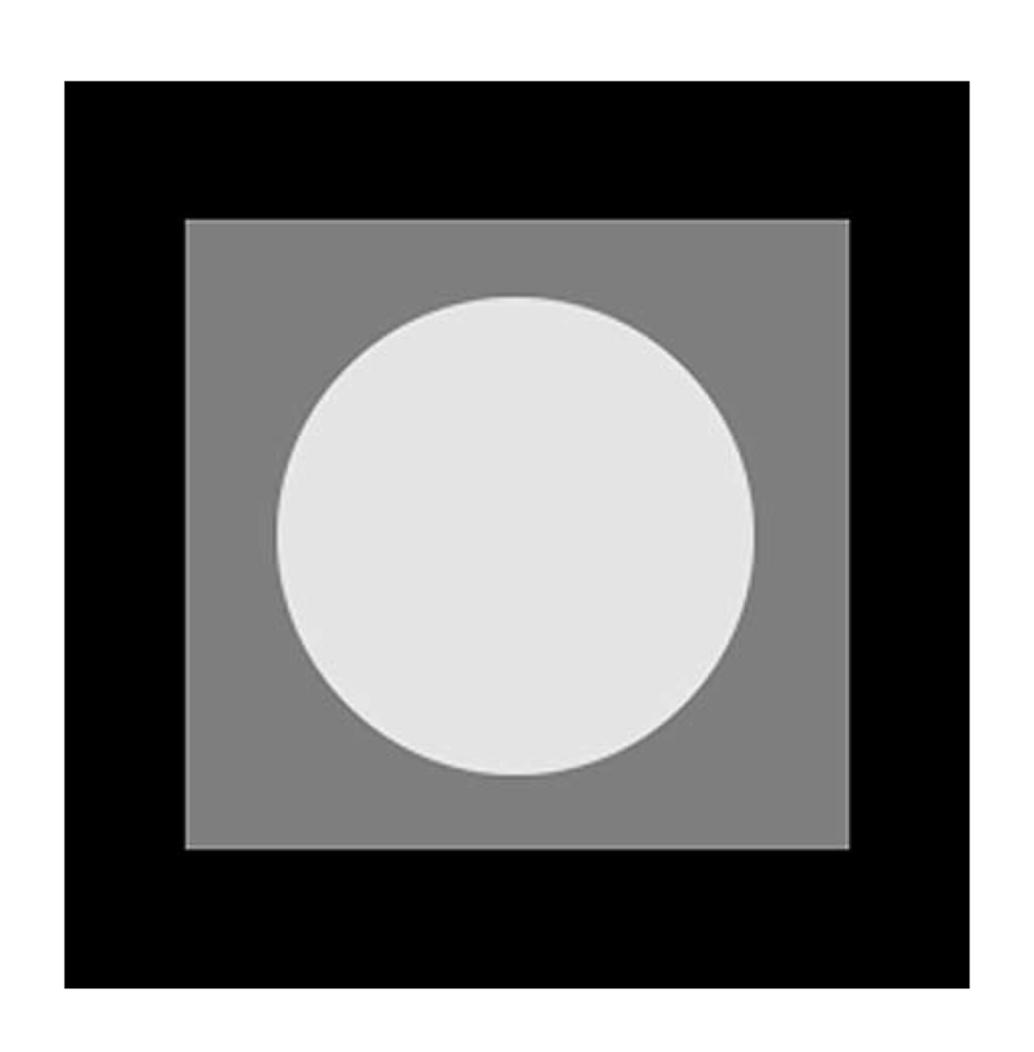
- P_a 或 P_b 为0,单极脉冲
- 都不为0,双极脉冲
- 可正可负
 - ・盐(白色)、胡椒(黑色)





●原图

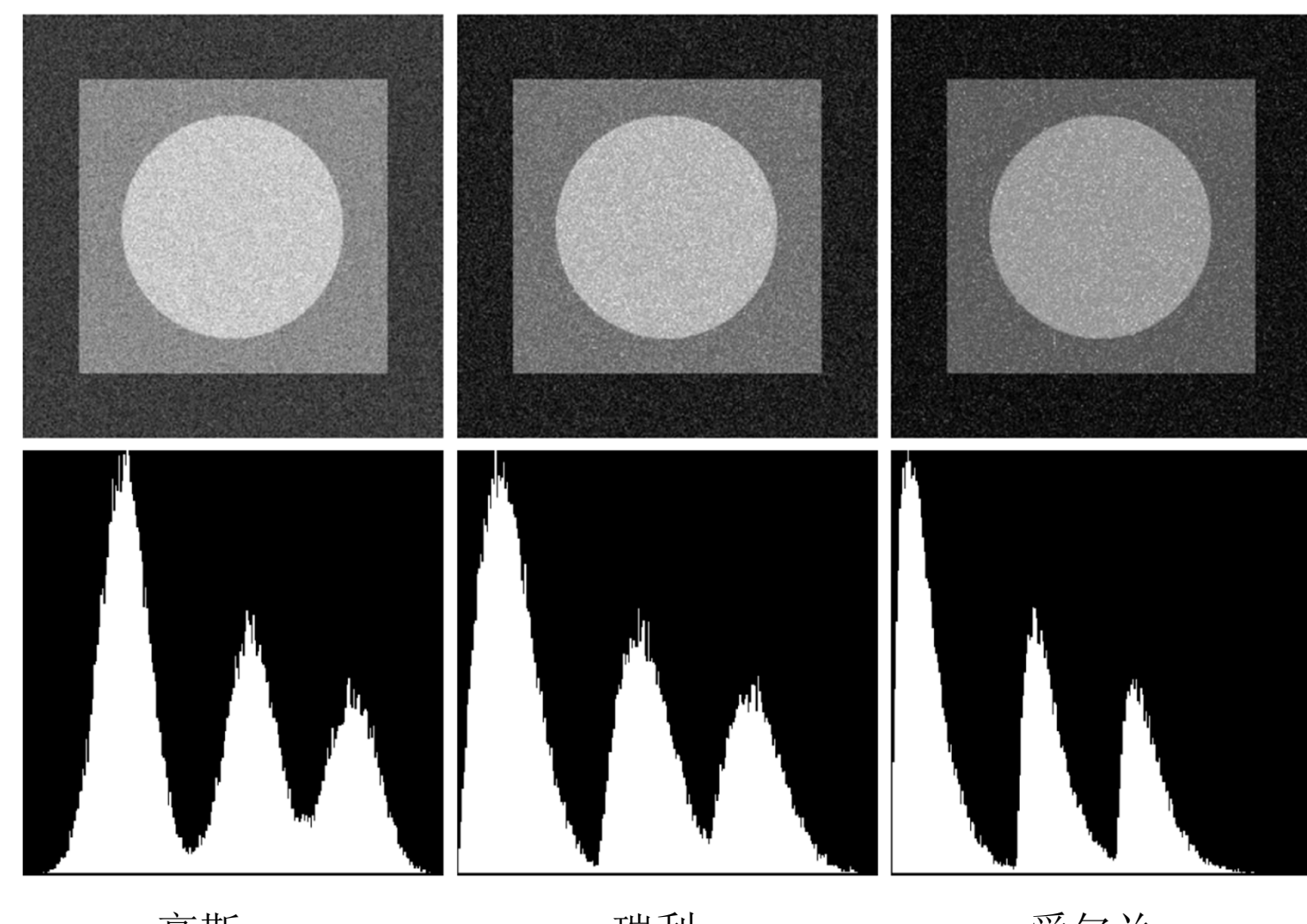




举例—加噪声

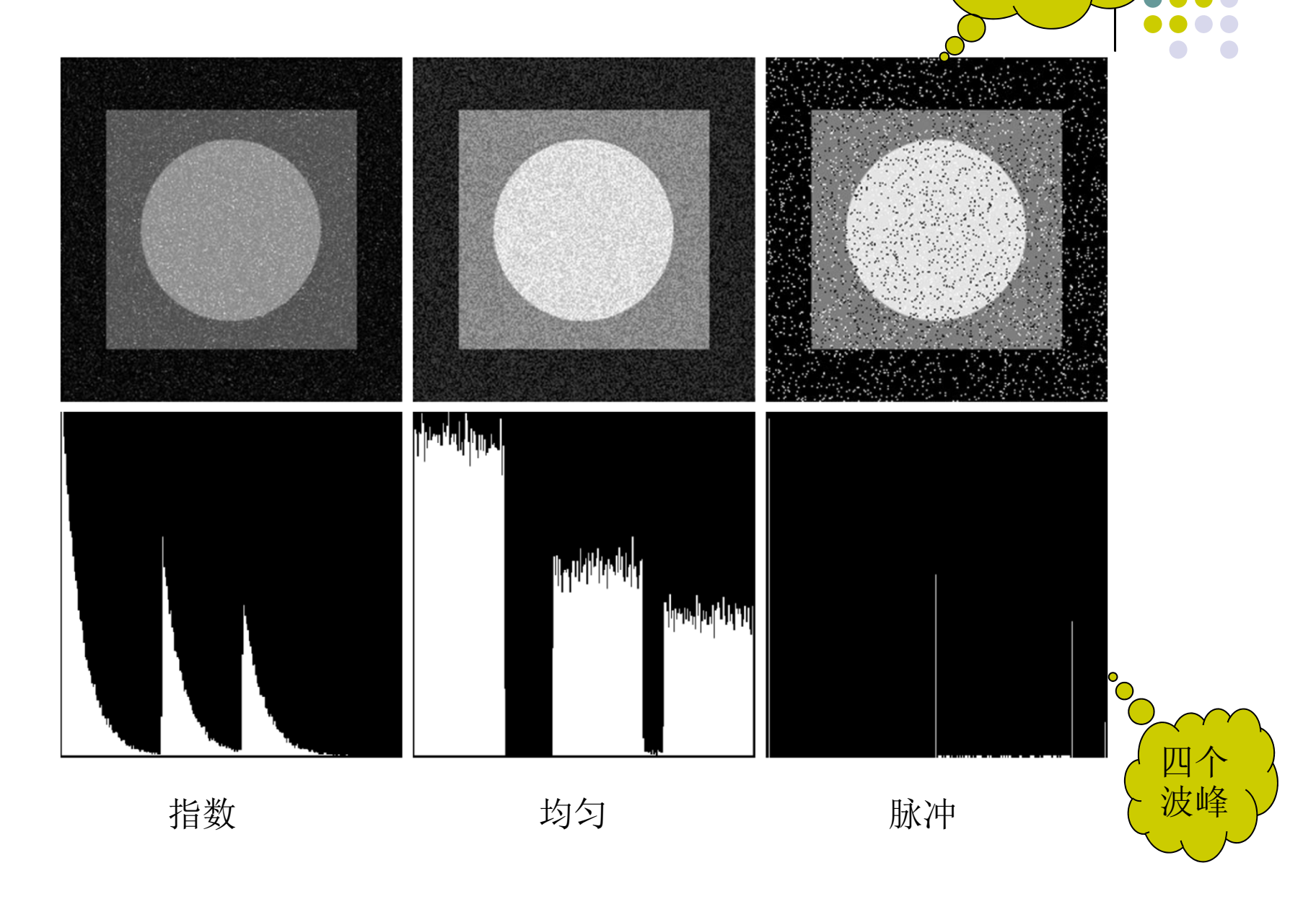
- 1. 从图像的空间表 示很难区分噪声
- 2. 直方图和概率密 度基本一致





高斯 瑞利 爱尔兰

举例—加噪声

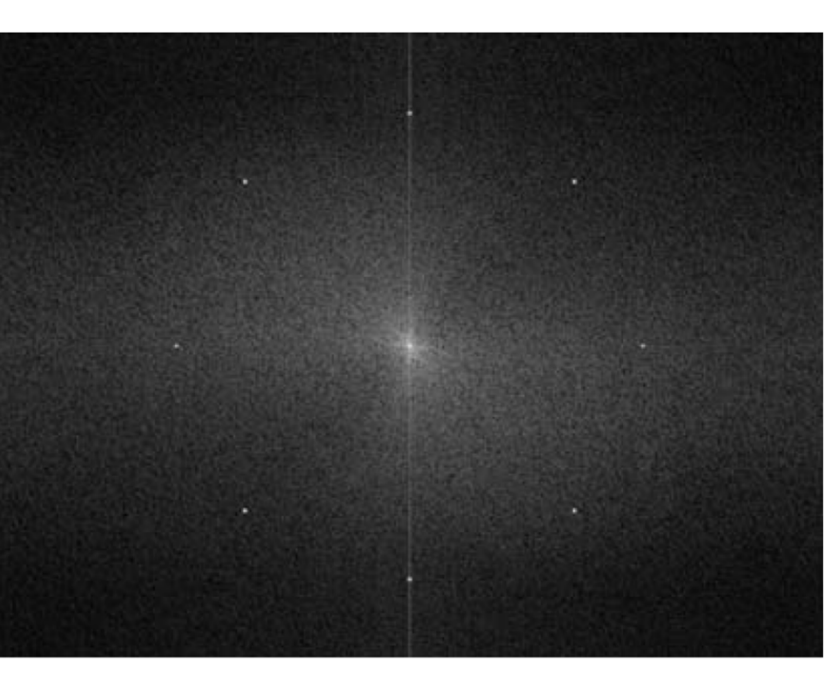


空间特征 非常明显

周期噪声

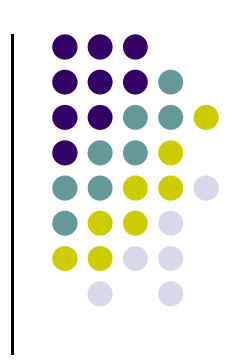
- 通常由电力或机电干扰产生
- 噪声与空间位置有关
- 可以通过频域率滤波复原







噪声参数估计



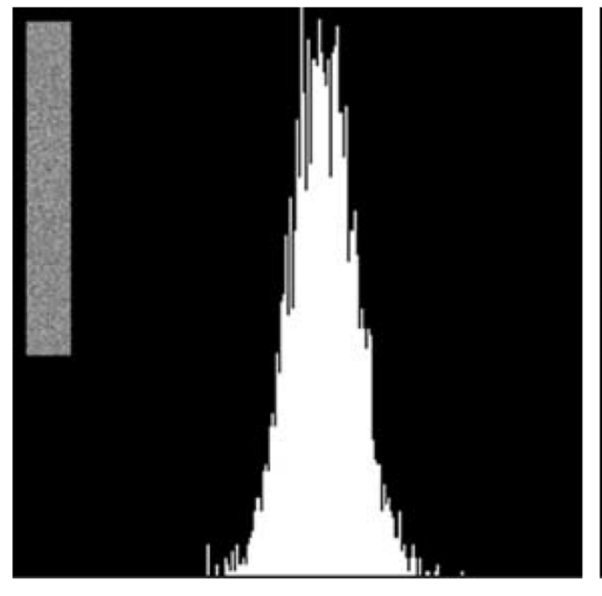
- 周期噪声
 - 通过检查傅里叶谱、图像本身(简单情况)
- 一般噪声的PDF
 - 查看传感器说明书
 - 主动成像去估计参数,如拍摄纯色的物体
 - 从图像的局部稳定区域来估计噪声

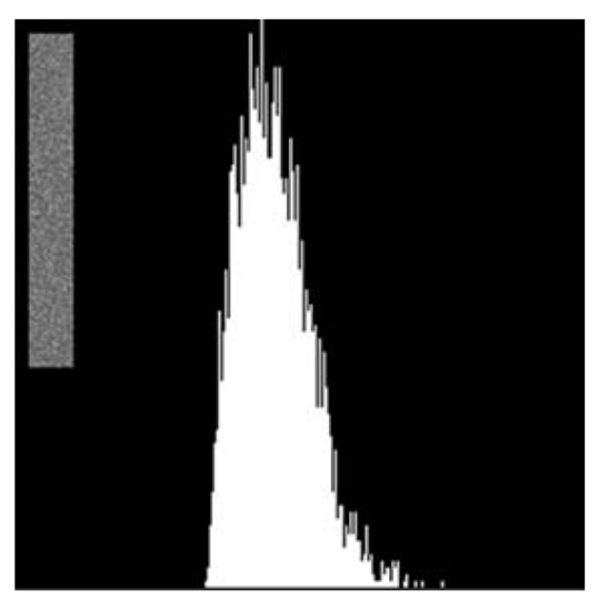
$$\overline{z} = \sum_{i=0}^{L-1} z_i p_S(z_i)$$
 $\sigma^2 = \sum_{i=0}^{L-1} (z_i - \overline{z})^2 p_S(z_i)$

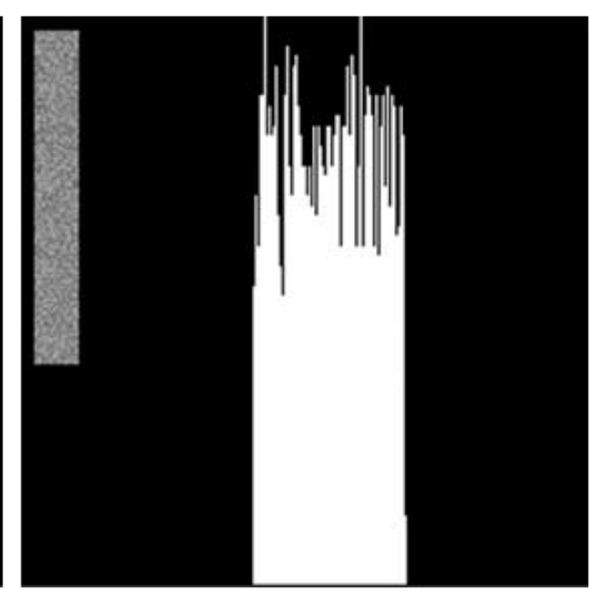
• $p_S(\cdot)$ 表示区域S内的概率估计

噪声参数估计

- 1根据形状识别PDF的类型
- 2(a) 根据均值和方差来计算具体参数
- 2(b) 脉冲噪声则直接估计概率







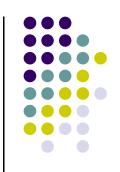
高斯

瑞利

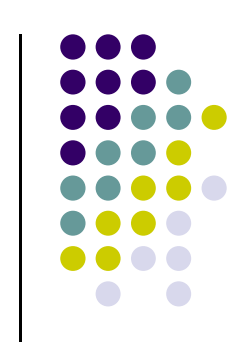
均匀

提纲

- 图像退化/复原建模
- 噪声模型
- 仅有噪声的图像复原
- 频域滤波消除周期噪声
- 线性、位置不变的退化
- 估计退化函数
- 逆滤波



仅有噪声的图像复原

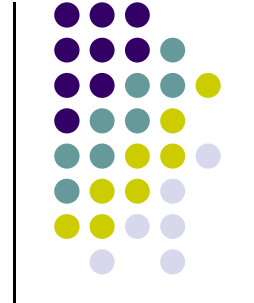


- 仅有噪声的图像退化
 - 空间域 $g(x, y) = f(x, y) + \eta(x, y)$
 - 频率域 G(u,v) = F(u,v) + N(u,v)
- 周期噪声
 - 从G(u,v)估计N(u,v), 直接减去噪声
- 一般加性噪声
 - 空间滤波

• 算数均值滤波器

$$\hat{f}(x, y) = \frac{1}{mn} \sum_{(s, t) \in S_{xy}} g(s, t)$$

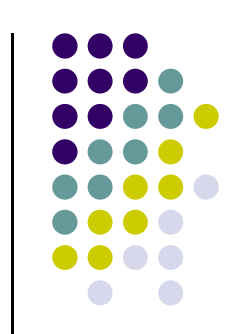
- S_{xy} 表示以(x,y)为中心的区域
- 区域大小为m×n
- 空间滤波器, 系数为1/mn
- 平滑图像中的局部变化
 - 实现去噪、但会模糊图像



• 几何均值滤波器

$$\hat{f}(x,y) = \left[\prod_{(s,t)\in S_{xy}} g(s,t)\right]^{\frac{1}{mn}}$$

- S_{xy} 表示以(x,y)为中心的区域
- 区域大小为m×n
- 丢失的细节少



• 谐波均值滤波器 (Harmonic mean)

$$\hat{f}(x, y) = \frac{mn}{\sum_{(s, t) \in S_{xy}} \frac{1}{g(s, t)}}$$

- S_{xy} 表示以(x,y)为中心的区域
- 区域大小为m×n
- 适用于盐粒噪声,不适用于胡椒噪声
 - 盐粒噪声: 数值大, 胡椒噪声: 数值小
 - 消除盐粒噪声的影响,放大胡椒噪声



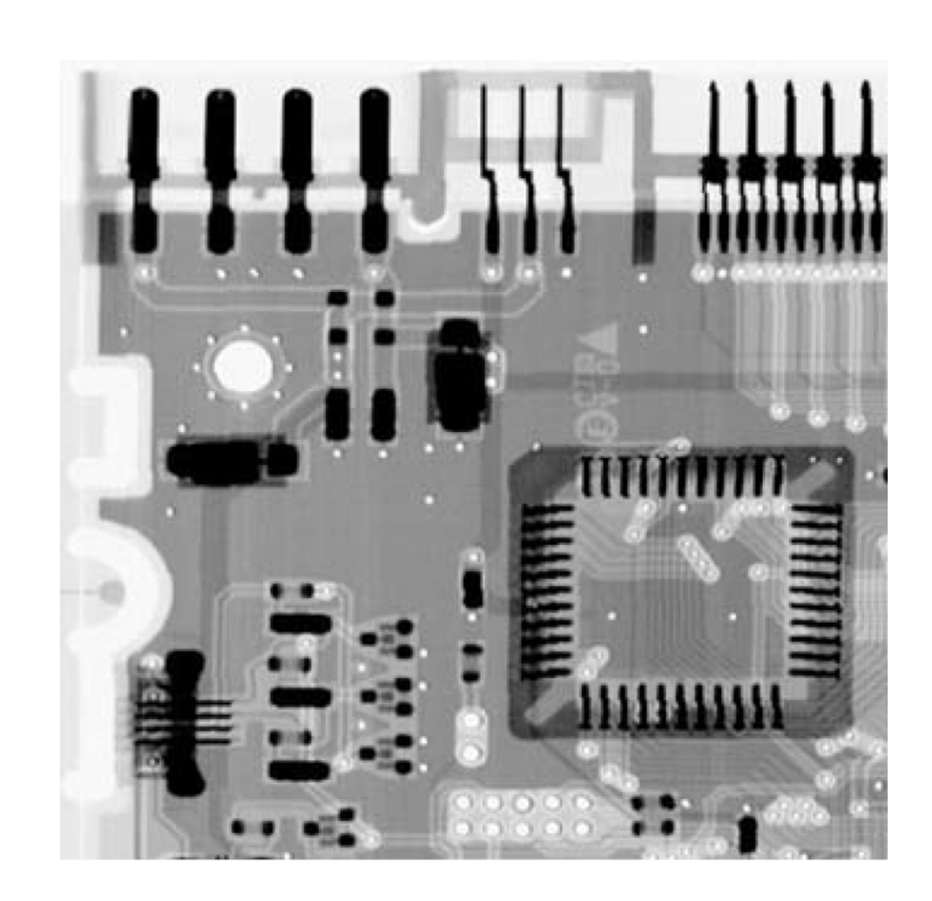


• 逆谐波均值滤波器 (Contraharmonic mean)

$$\hat{f}(x, y) = \frac{\sum_{(s, t) \in S_{xy}} g(s, t)^{Q+1}}{\sum_{(s, t) \in S_{xy}} g(s, t)^{Q}}$$

- Q表示阶数
- Q > 0, 消除胡椒噪声(数值小)
 - 消除胡椒噪声的影响,放大盐粒噪声
- Q = 0,算数均值滤波器
- Q < 0, 消除盐粒噪声(数值大)
- Q = -1, 谐波均值滤波器

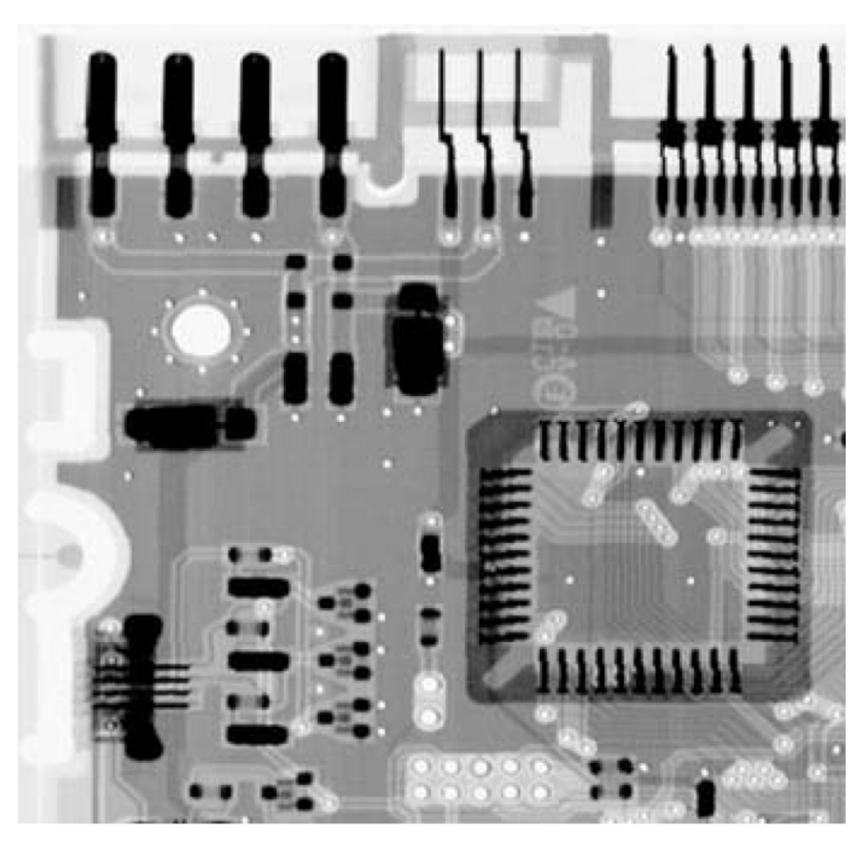
●高斯噪声

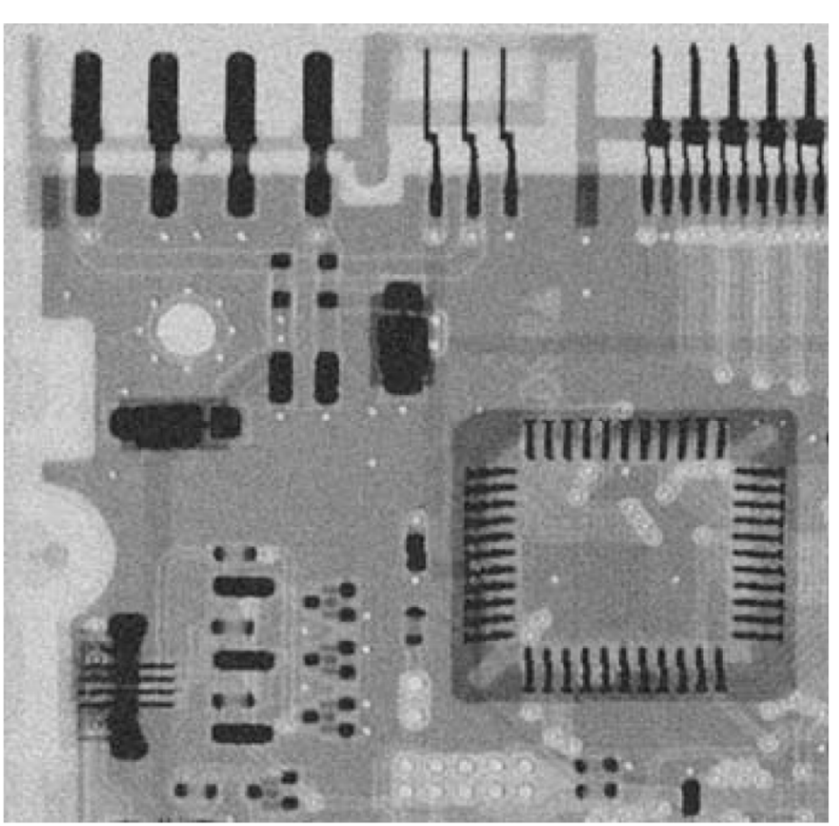


原图



●高斯噪声

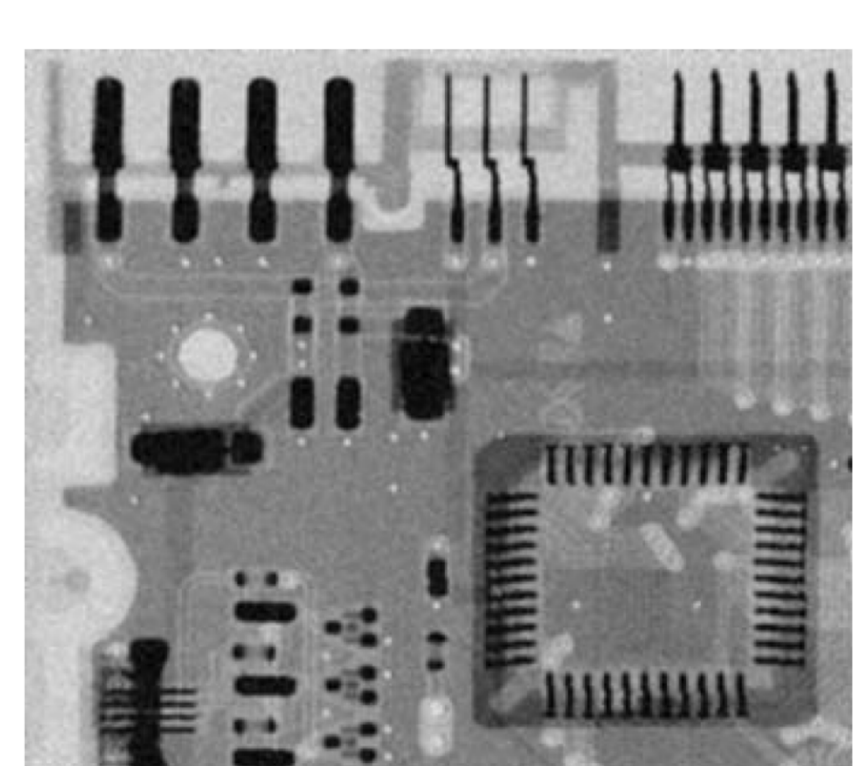


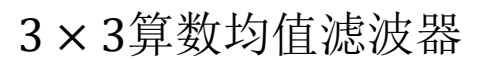


原图

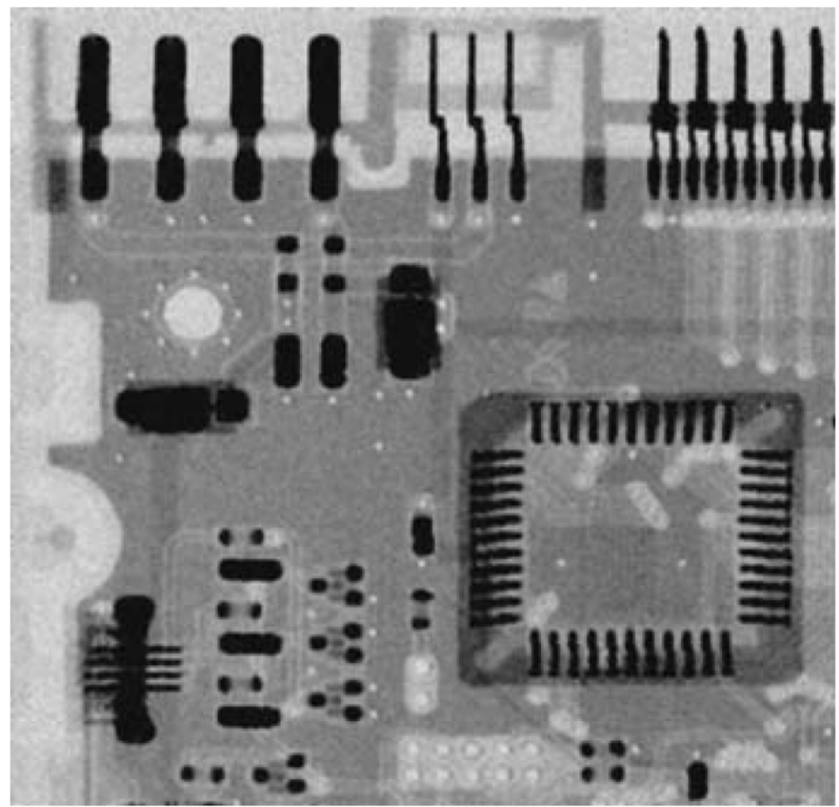
高斯噪声污染

●高斯噪声



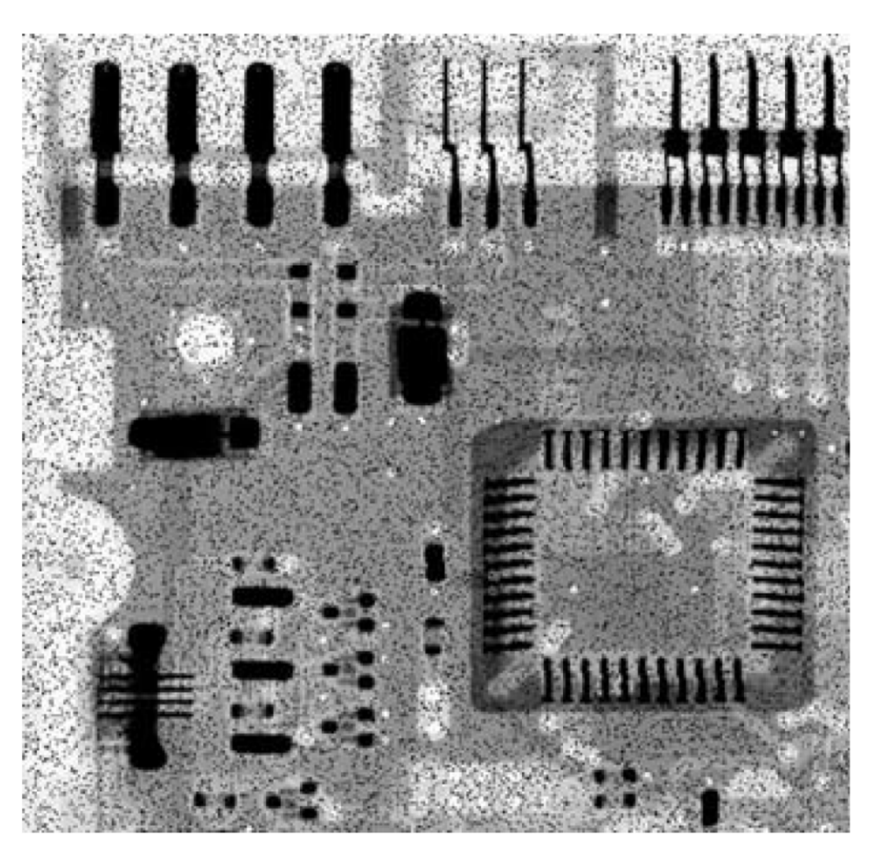


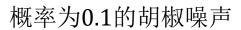


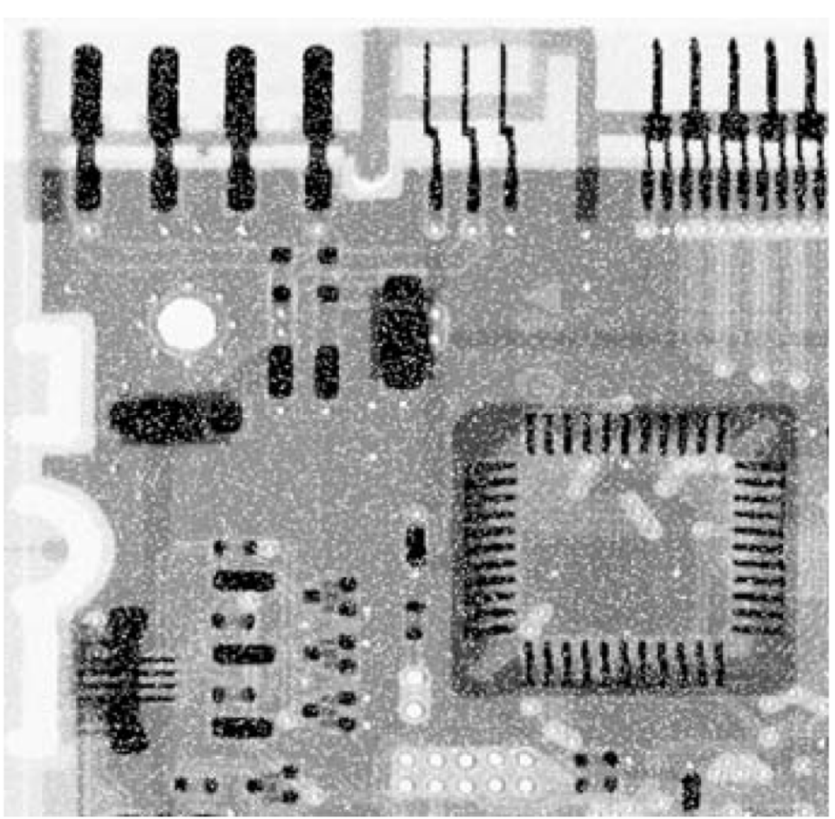


3×3几何均值滤波器

• 椒盐噪声





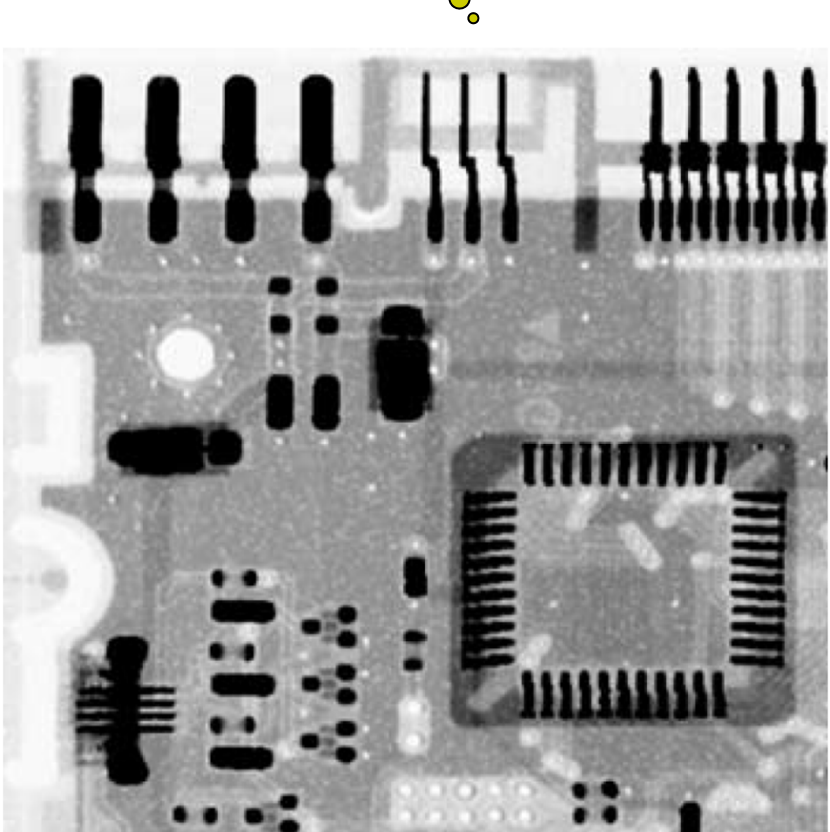


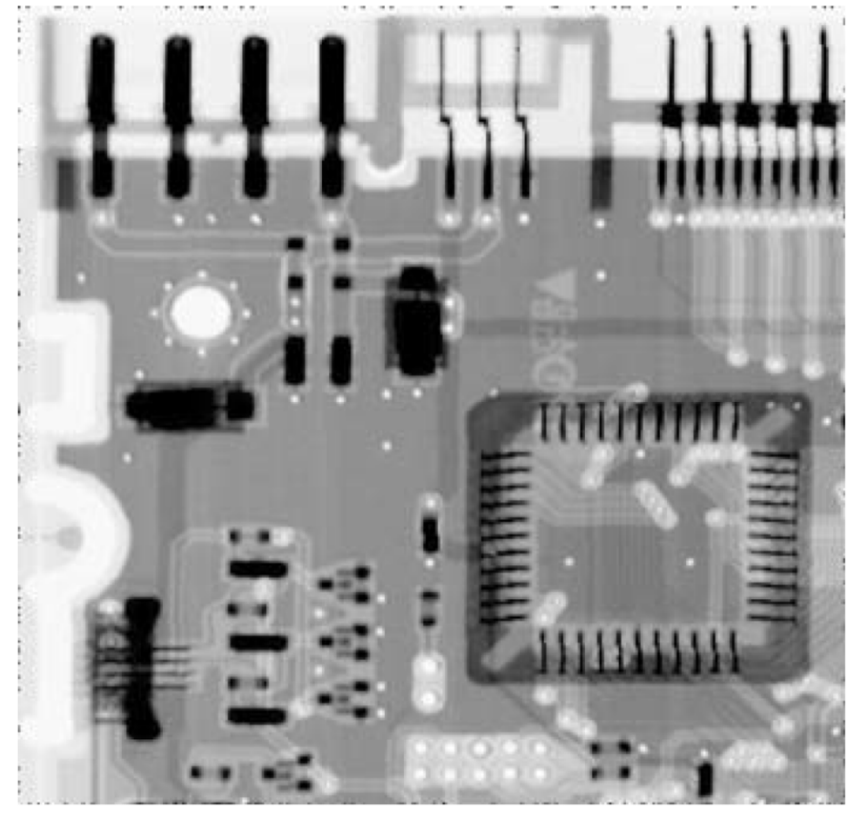
概率为0.1的盐粒噪声

• 椒盐噪声





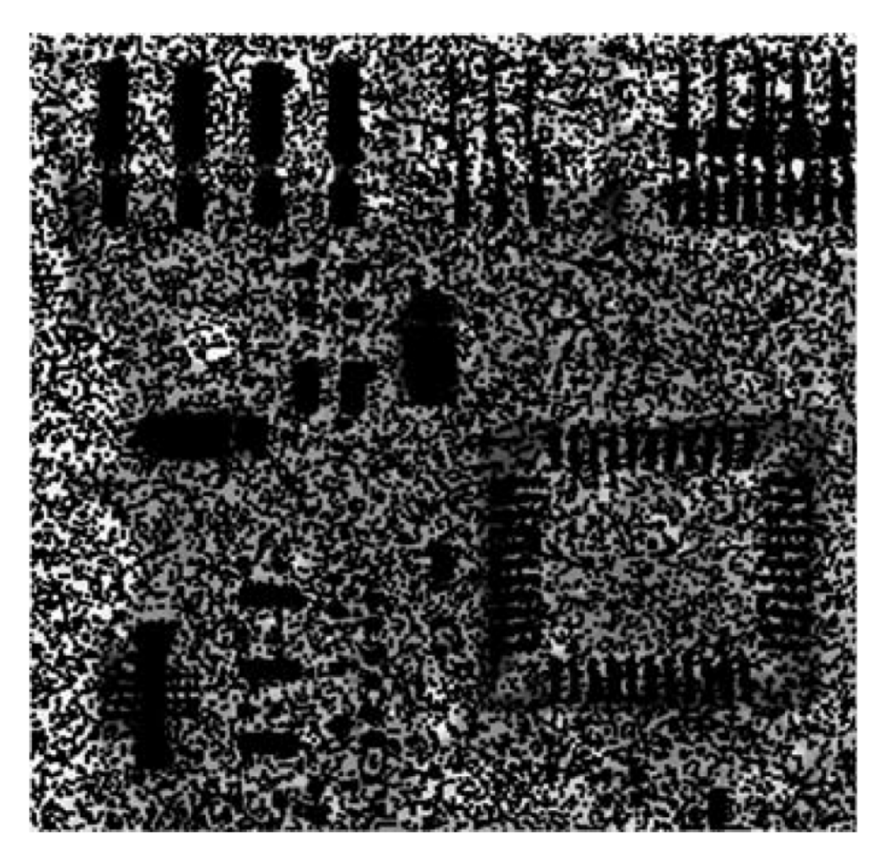




Q = 1.5的逆谐波均值滤波器

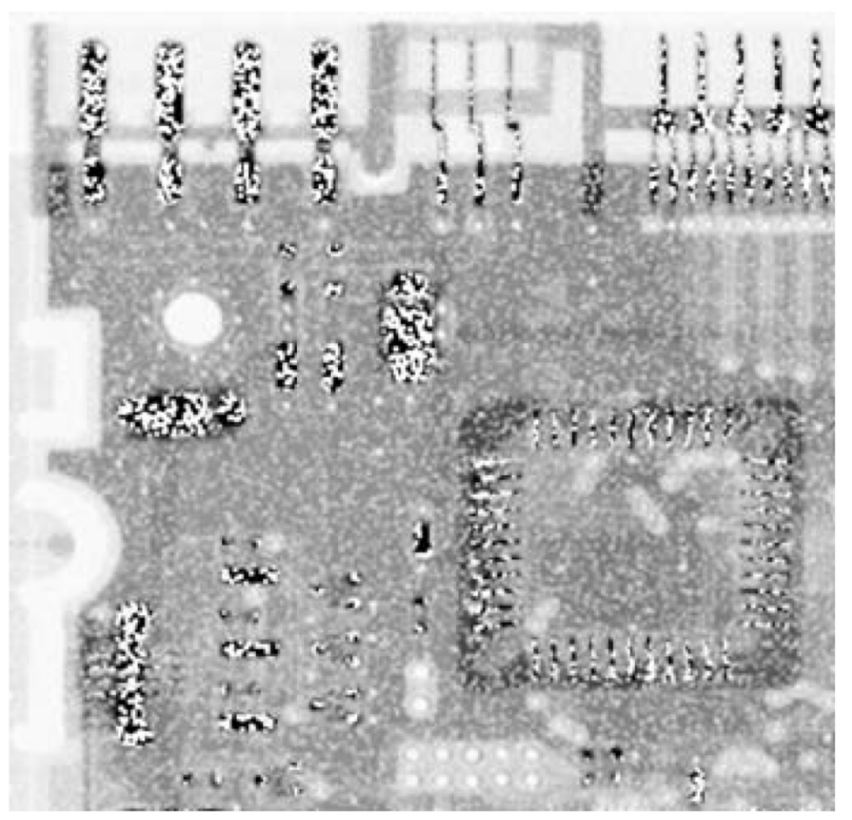
Q = -1.5的逆谐波均值滤波器

• 椒盐噪声



Q = -1.5的逆谐波均值滤波器





Q = 1.5的逆谐波均值滤波器

统计排序滤波器

- 非线性滤波器
 - 对滤波器覆盖的像素排序
 - 用排序决定的值替代中心像素
- 中值滤波器

$$\hat{f}(x, y) = \underset{(s,t) \in S_{xy}}{\text{median}} \{g(s, t)\}$$

- (x,y)处的像素值也参与计算
- 良好的去噪能力,并且模糊少
- 尤其适用于单极或双极的脉冲信号

统计排序滤波器

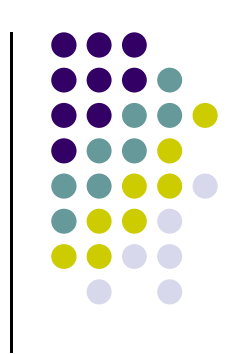
• 最大值滤波器

$$\hat{f}(x, y) = \max_{(s,t)\in S_{xy}} \{g(s, t)\}$$

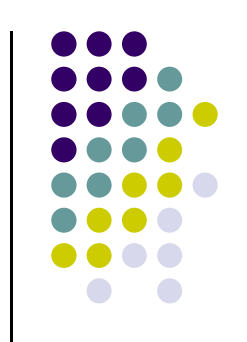
- 寻找图像中的亮点
- 降低胡椒噪声(数值小)
- 最小值滤波器

$$\hat{f}(x, y) = \min_{(s,t) \in S_{xy}} \{g(s, t)\}$$

- 寻找图像中的暗点
- 降低盐粒噪声(数值大)



统计排序滤波器



• 中点滤波器

$$\hat{f}(x,y) = \frac{1}{2} \left[\max_{(s,t) \in S_{xy}} \{ g(s,t) \} + \min_{(s,t) \in S_{xy}} \{ g(s,t) \} \right]$$

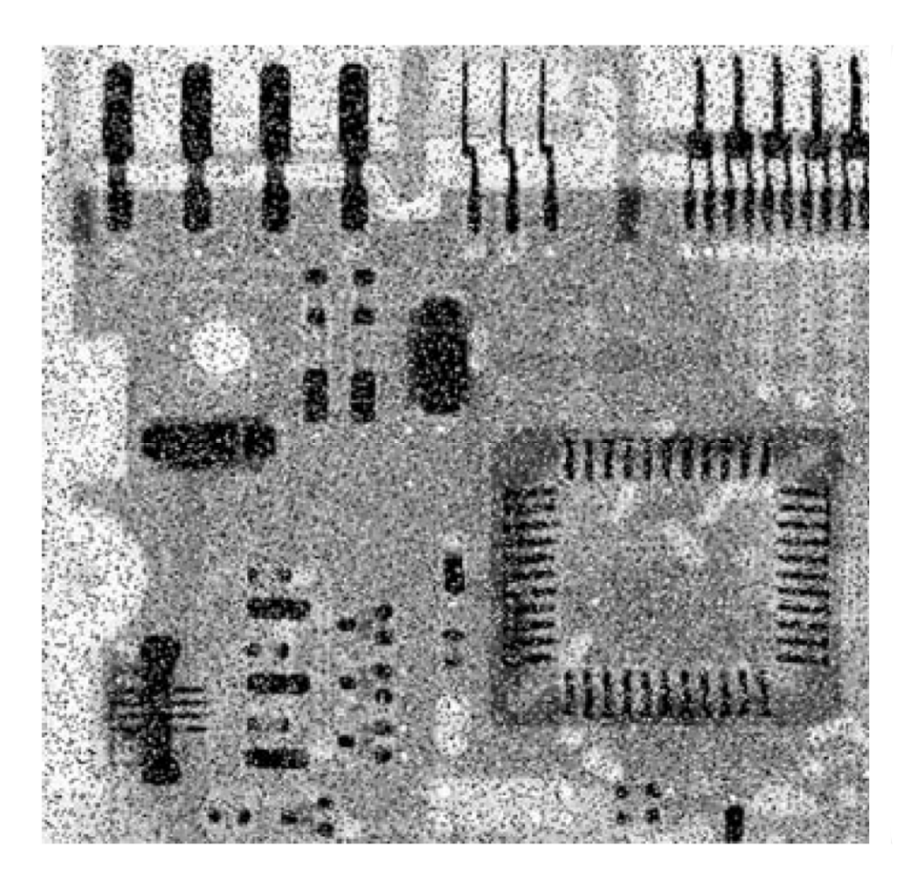
- 最大值和最小值的中点
- 结合了统计排序和求平均
- 适用于随机噪声
 - 高斯噪声、均匀噪声

统计排序滤波器

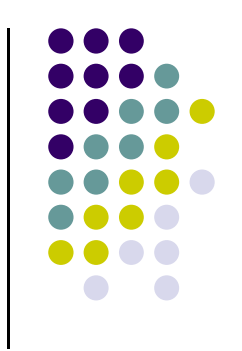
- α截断的均值滤波
 - 去掉 S_{xy} 中灰度最低的d/2个像素
 - 去掉 S_{xy} 中灰度最高的d/2个像素

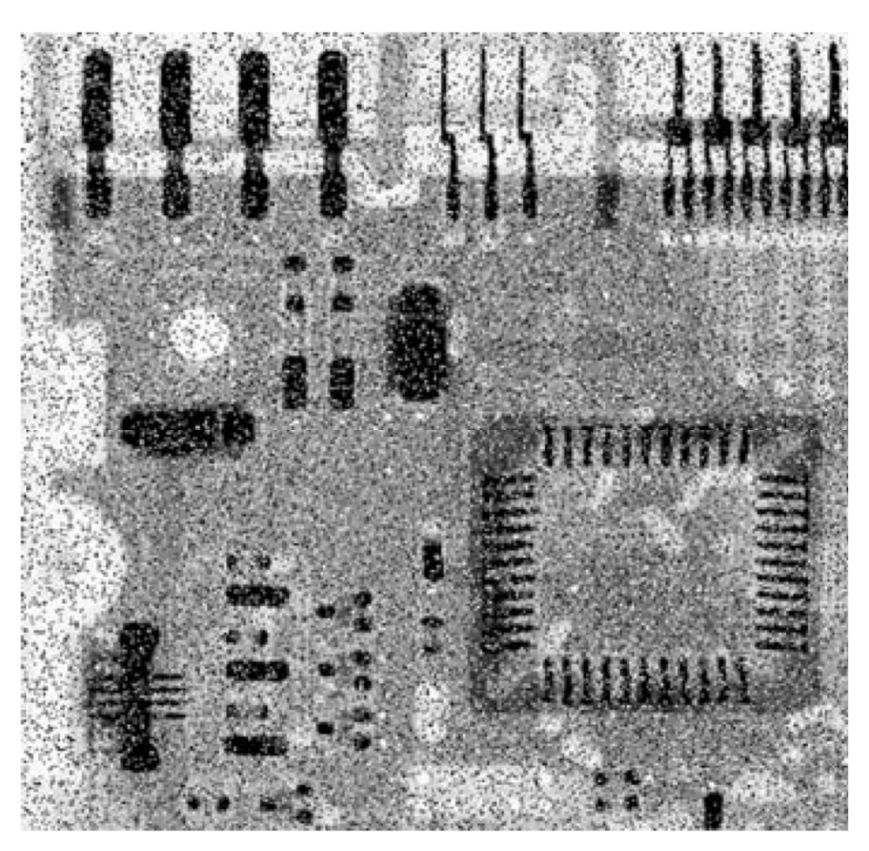
$$\hat{f}(x,y) = \frac{1}{mn - d} \sum_{(s,t) \in S_{xy}} g_r(s,t)$$

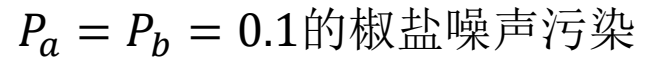
- 适用于存在多种噪声的情况
 - 高斯噪声、椒盐噪声混合
- d=0, 算数均值滤波器
- d = mn 1, 中值滤波器

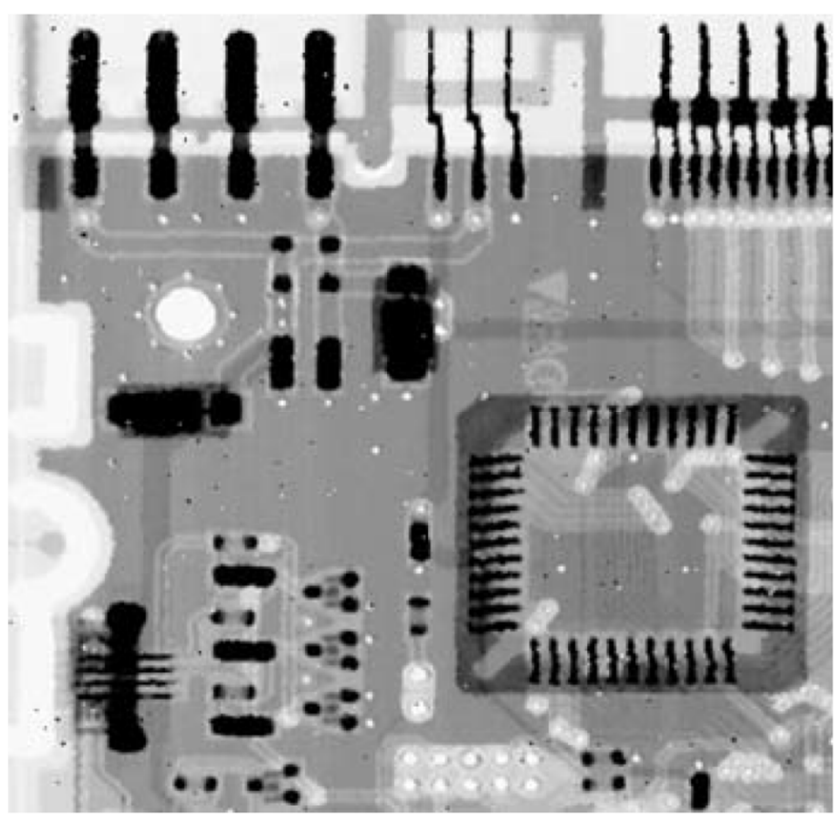


 $P_a = P_b = 0.1$ 的椒盐噪声污染

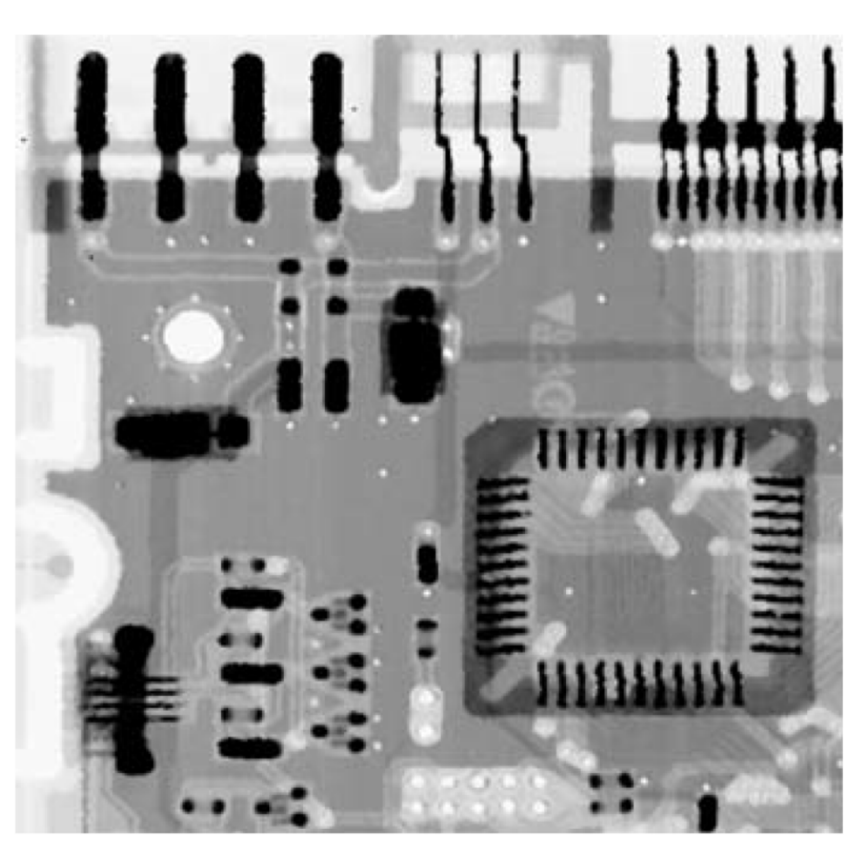






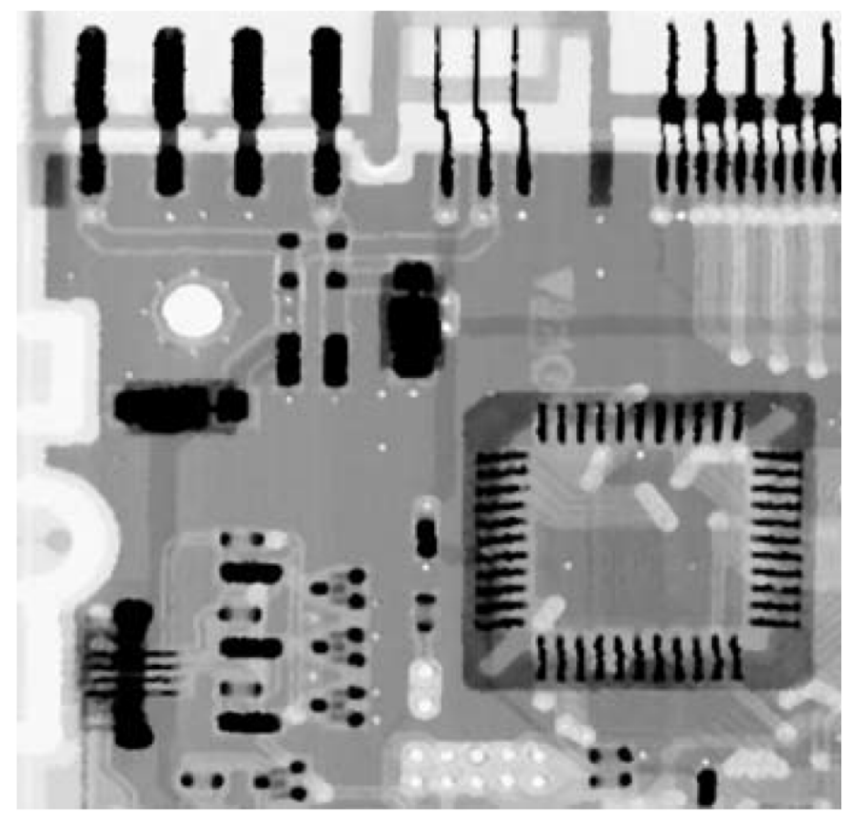


3×3的中值滤波器 (第一次)

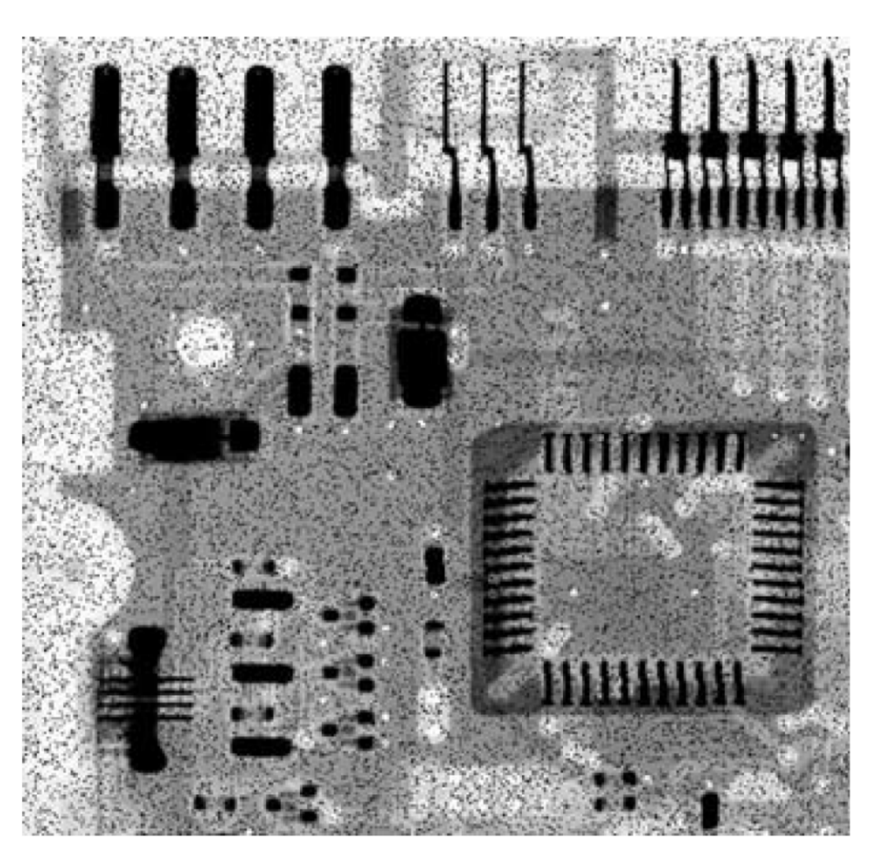


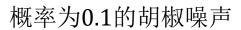
3×3的中值滤波器 (第二次)

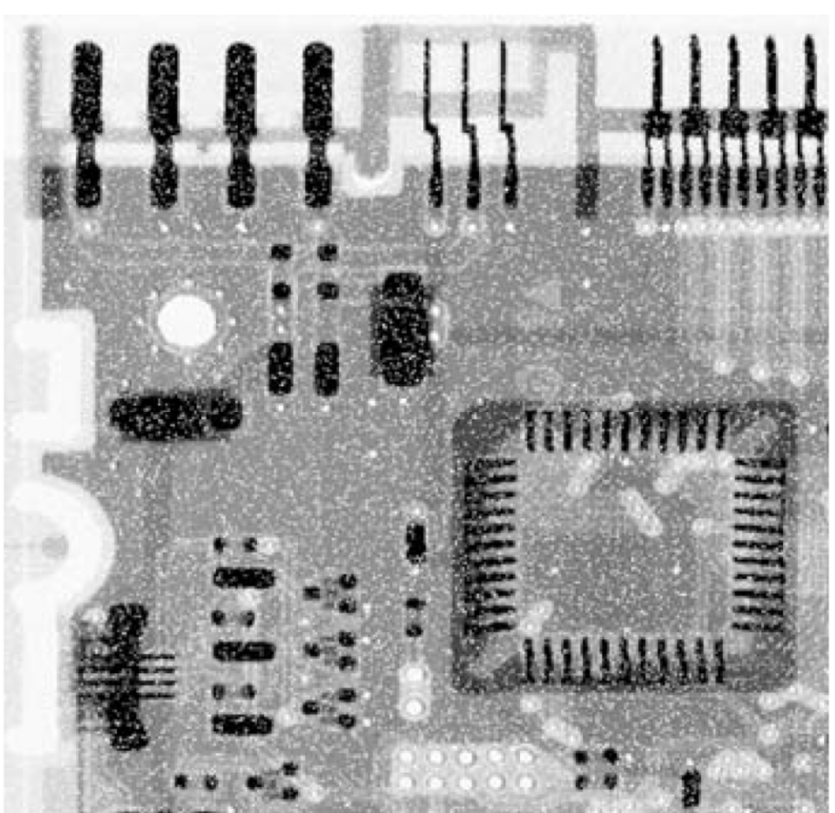




3×3的中值滤波器 (第三次)



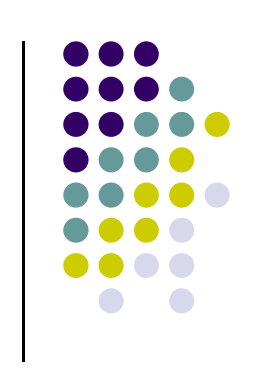


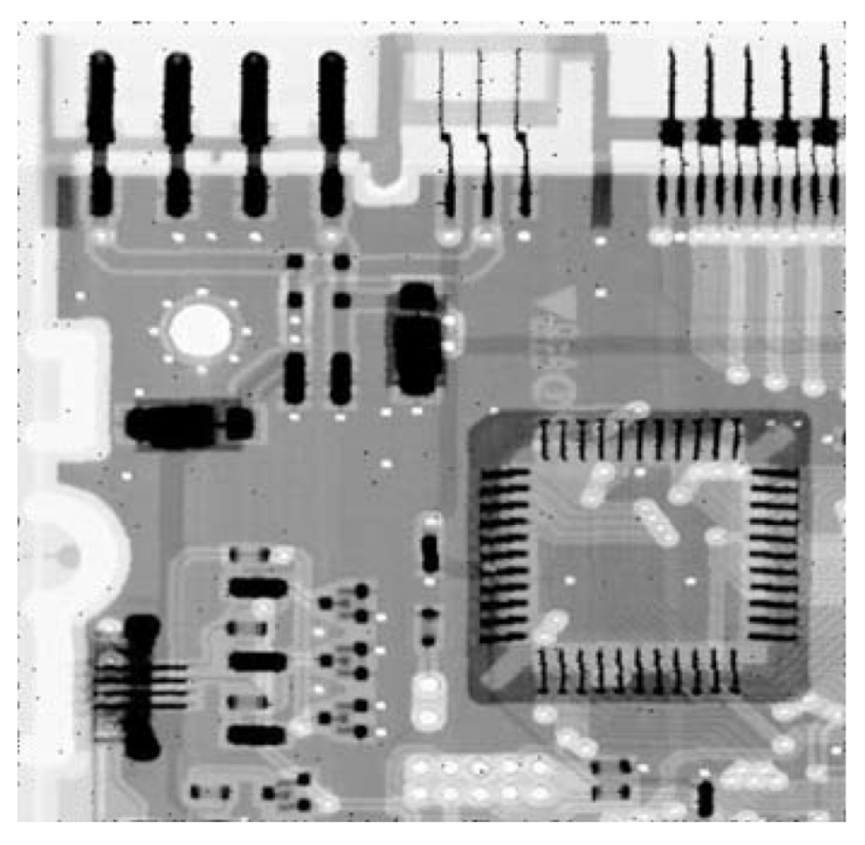


概率为0.1的盐粒噪声

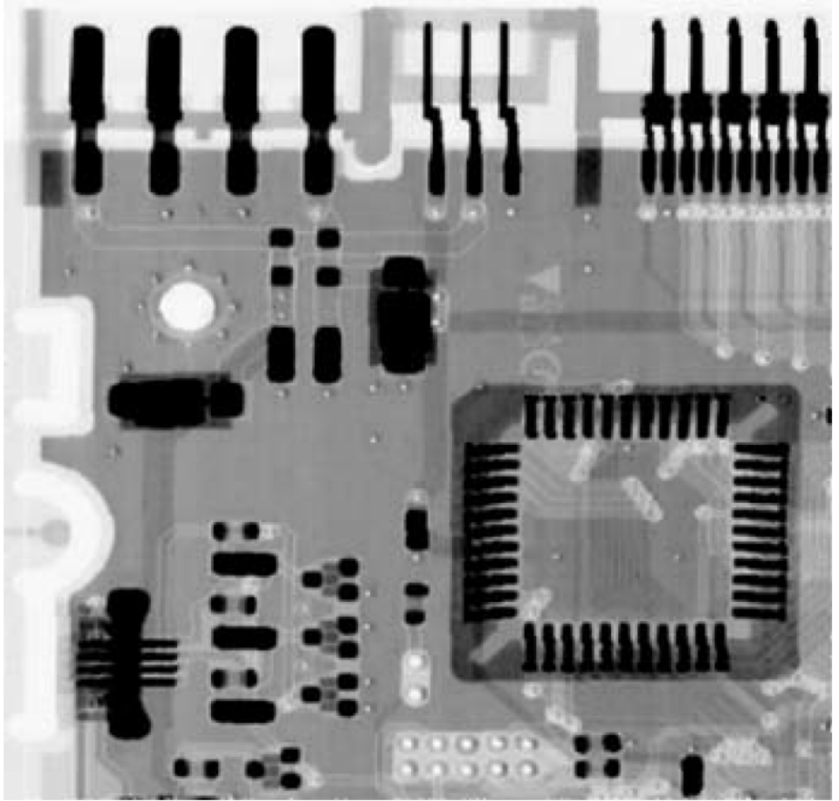






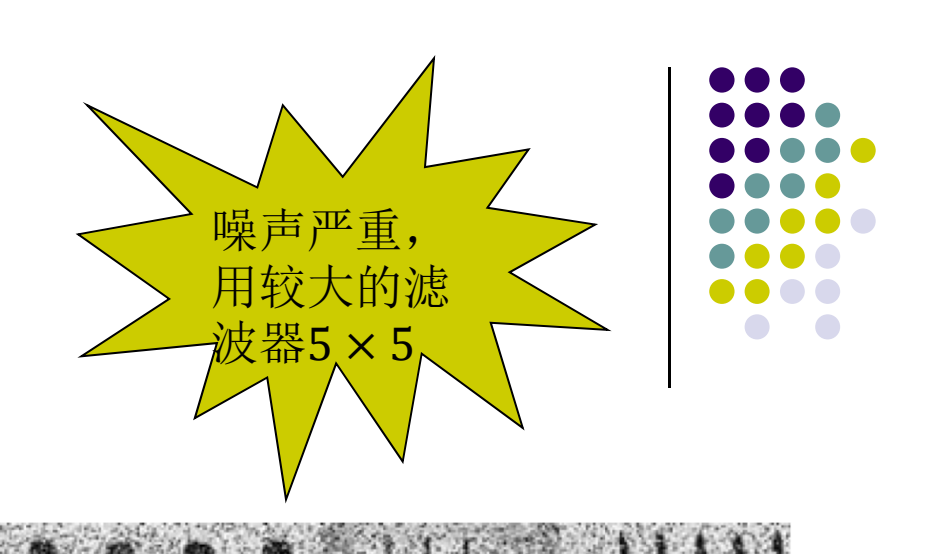


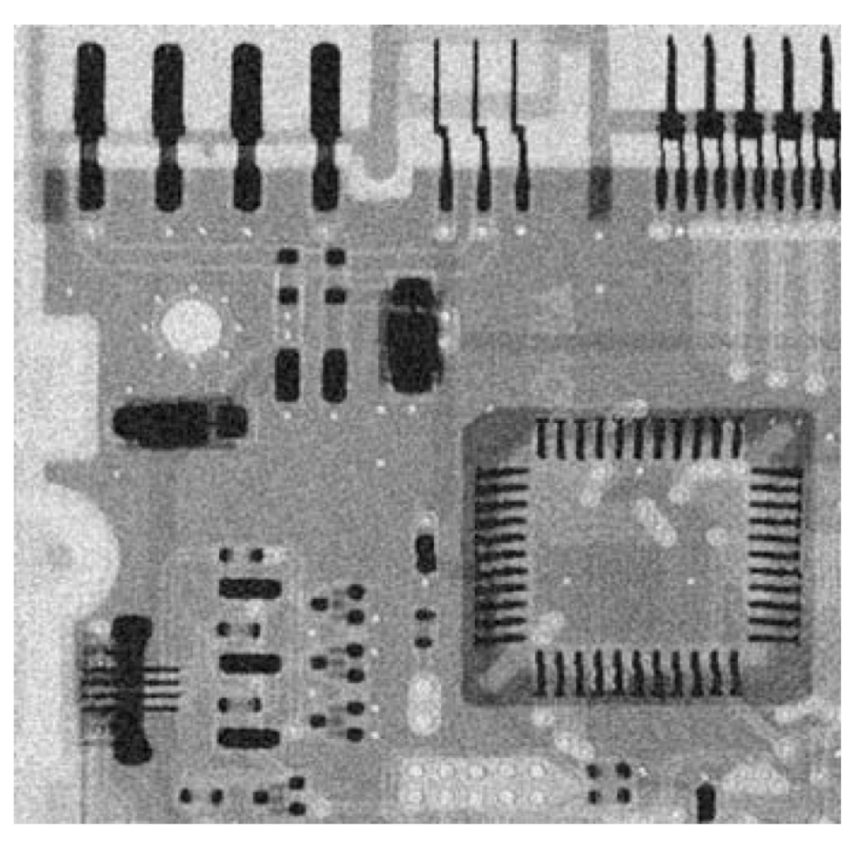


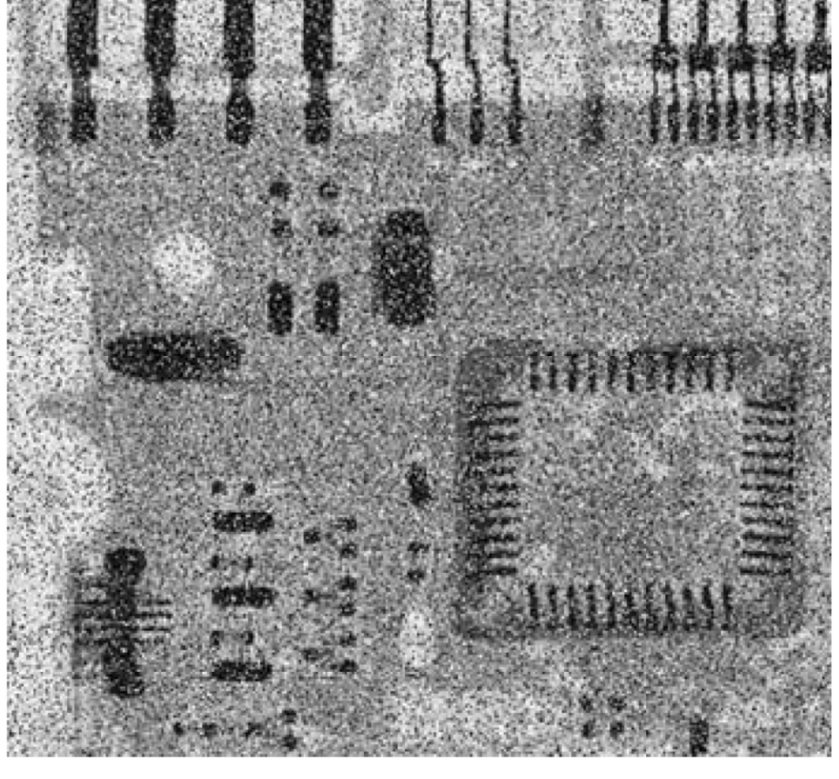


3×3最小值滤波器

• 均匀噪声&椒盐噪声



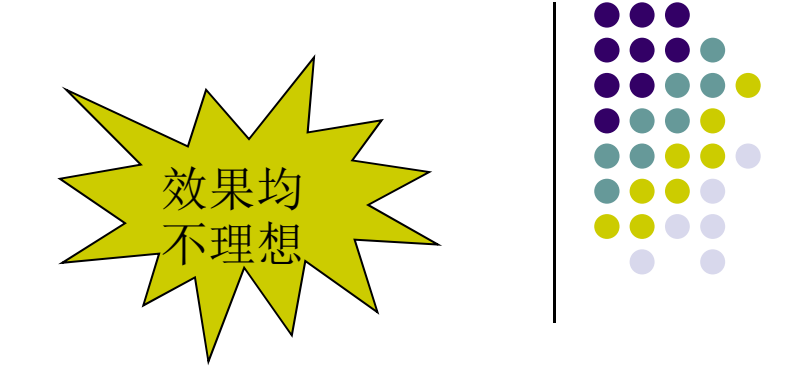


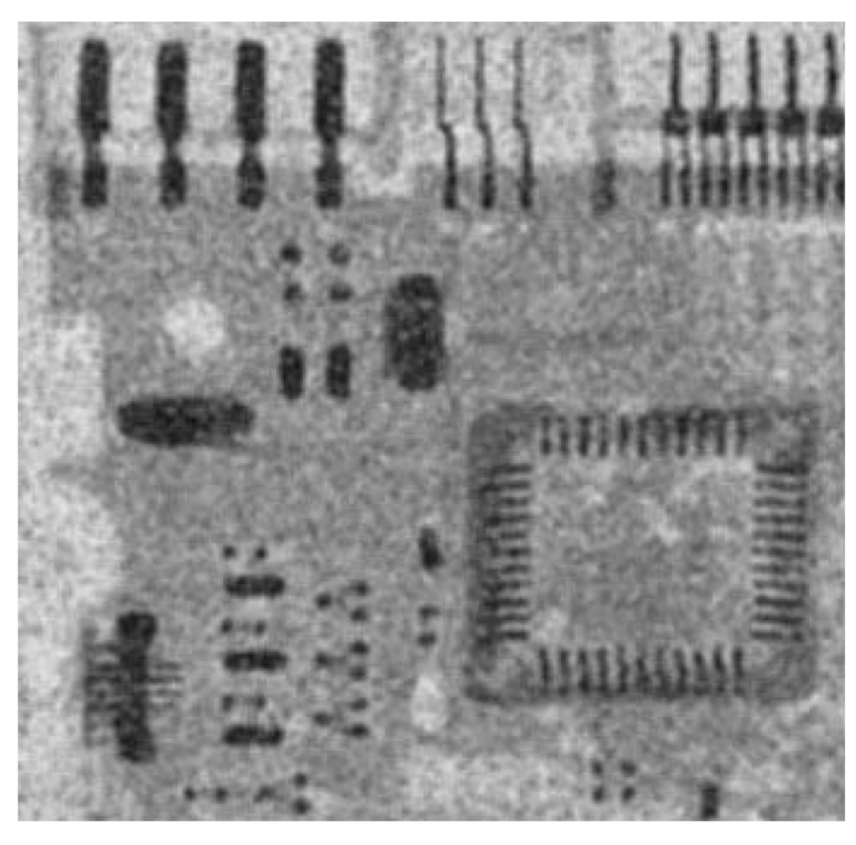


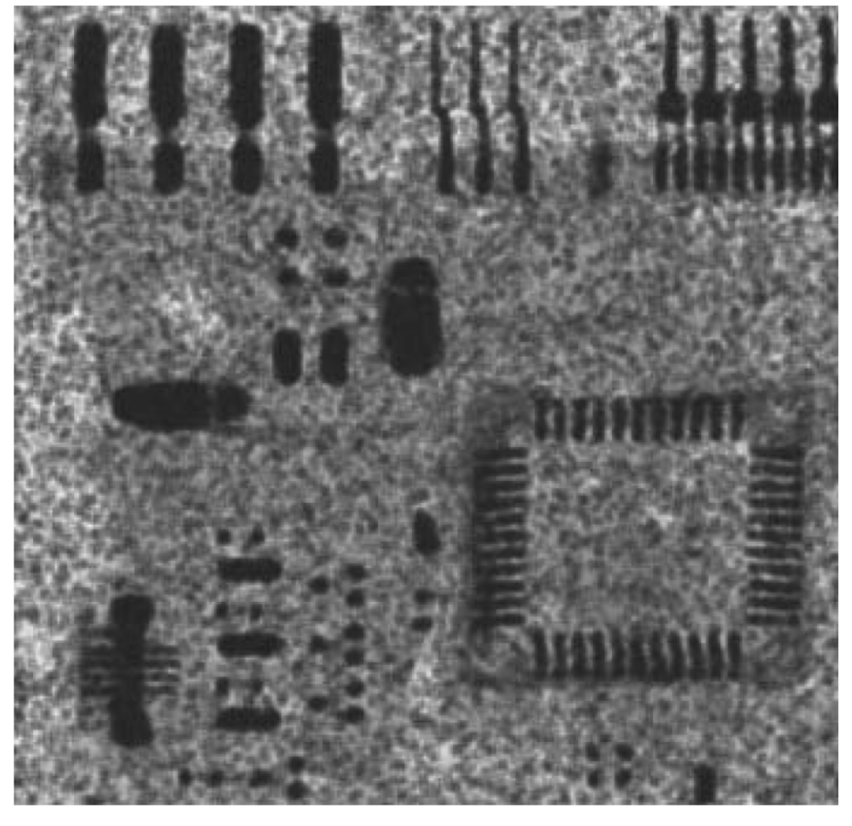
均匀噪声

均匀噪声&椒盐噪声

• 均匀噪声&椒盐噪声







算数均值滤波

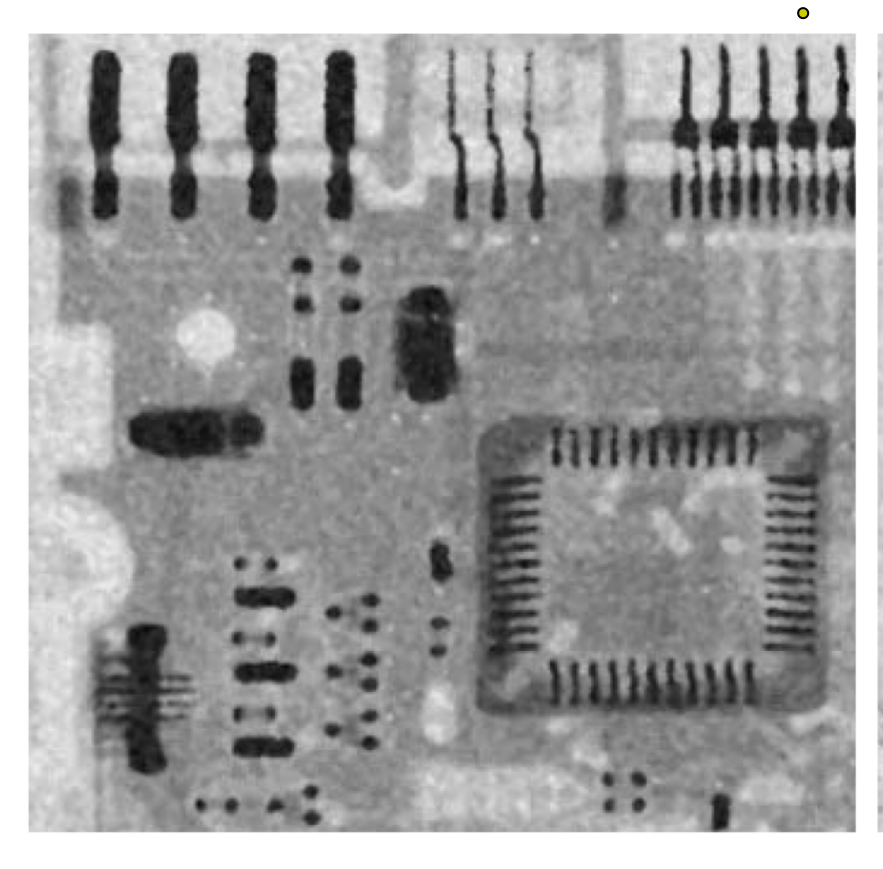
几何均值滤波

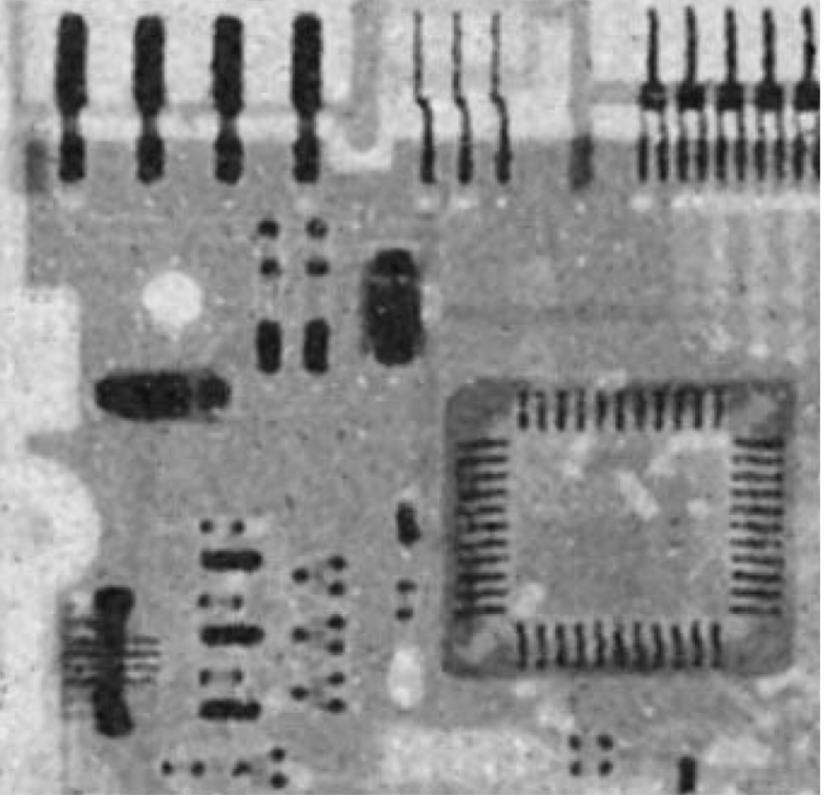
• 均匀噪声&椒盐噪声。











中值滤波

 α 截断的均值滤波(d=6)

自适应滤波器



- 之前假定所有像素点采用相同的滤波器
 - 忽略了每个像素的特性

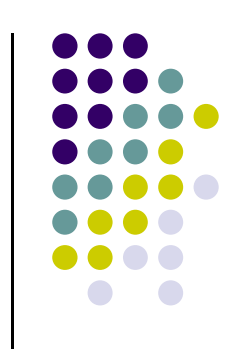
- 自适应滤波器
 - 根据局部区域的统计特性执行滤波操作
 - 复杂度更高
 - 1 自适应局部降噪滤波器
 - 2. 自适应中值滤波器

自适应局部降噪滤波器

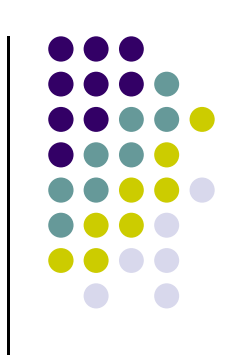
- •均值——体现平均灰度
- 方差——反映了对比度



- 含噪声的灰度值g(x,y)
- 噪声的方差 σ_{η}^2
- S_{xy} 内的局部均值 m_L
- S_{xy} 内的局部方差 σ_L^2



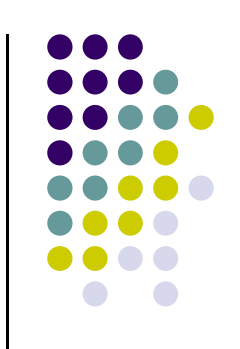
自适应局部降噪滤波器



• 整体思路

- 1. 如果 σ_{η}^2 为零,则滤波器应该直接返回g(x,y)的值。在零噪声情况下g(x,y)等于f(x,y)。
- 2. 如果局部方差比 σ_{η}^{2} 大,则滤波器返回g(x,y)的一个近似值。高局部方差与边缘相关,因此需要保持这些信息。
- 3. 如果两个方差相等,我们则希望滤波器返回*S_{xy}* 中像素的算术均值。这种情况发生在局部区域 与整个图像有相同特性的条件下,并且局部噪 声将通过简单地求平均来降低。

自适应局部降噪滤波器

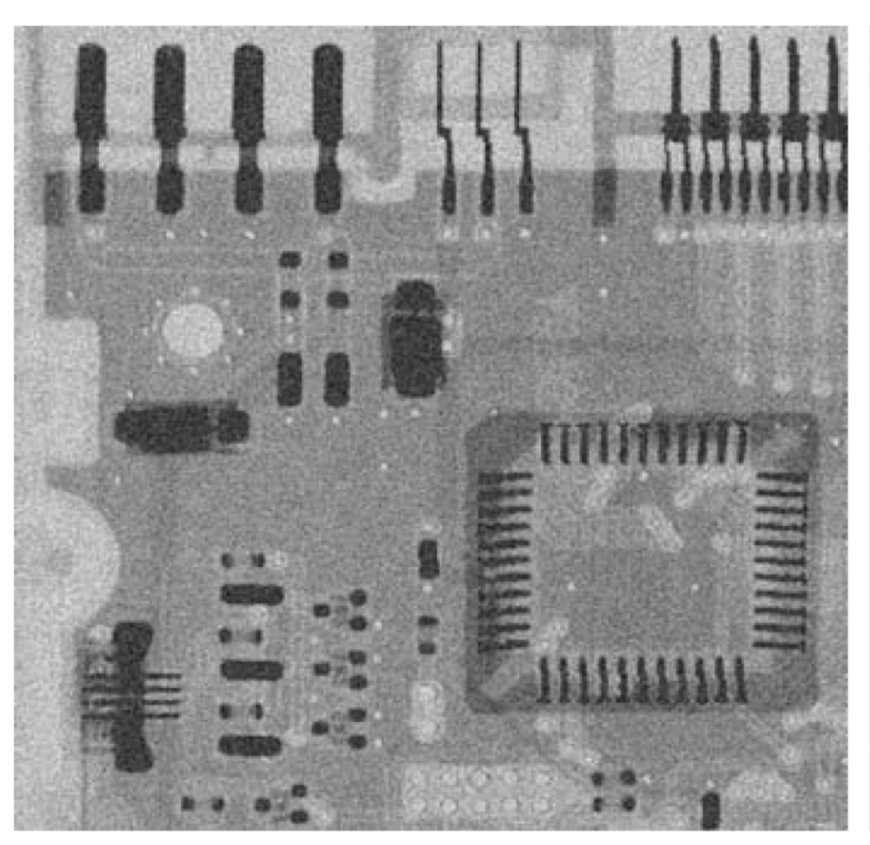


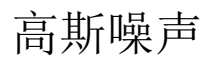
• 具体公式

$$\hat{f}(x, y) = g(x, y) - \frac{\sigma_{\eta}^2}{\sigma_L^2} [g(x, y) - m_L]$$

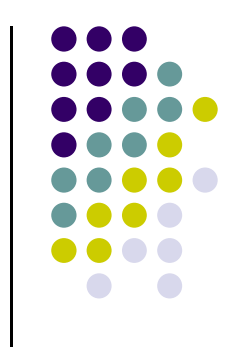
- σ_{η}^2 需要估计,因此通常不准确
- 其他值可以直接计算
- 假设 $\sigma_{\eta}^2 \leq \sigma_L^2$
- 如果遇到 $\sigma_{\eta}^2 > \sigma_L^2$,将系数强制设为1

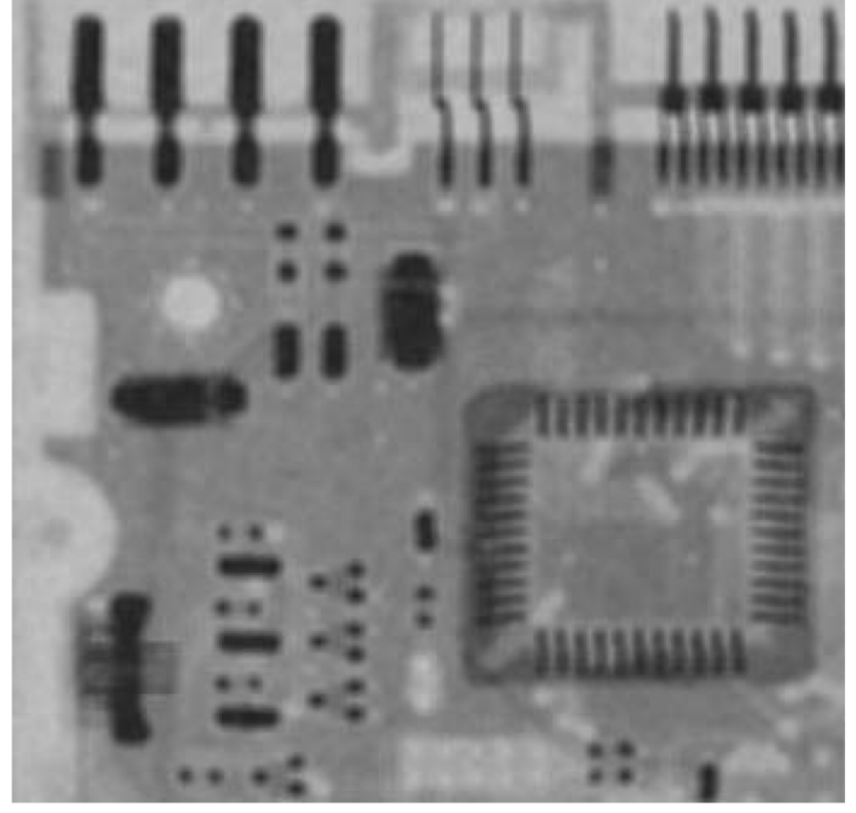
• 滤波器对比









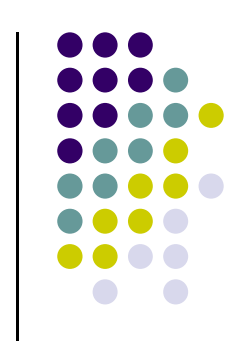


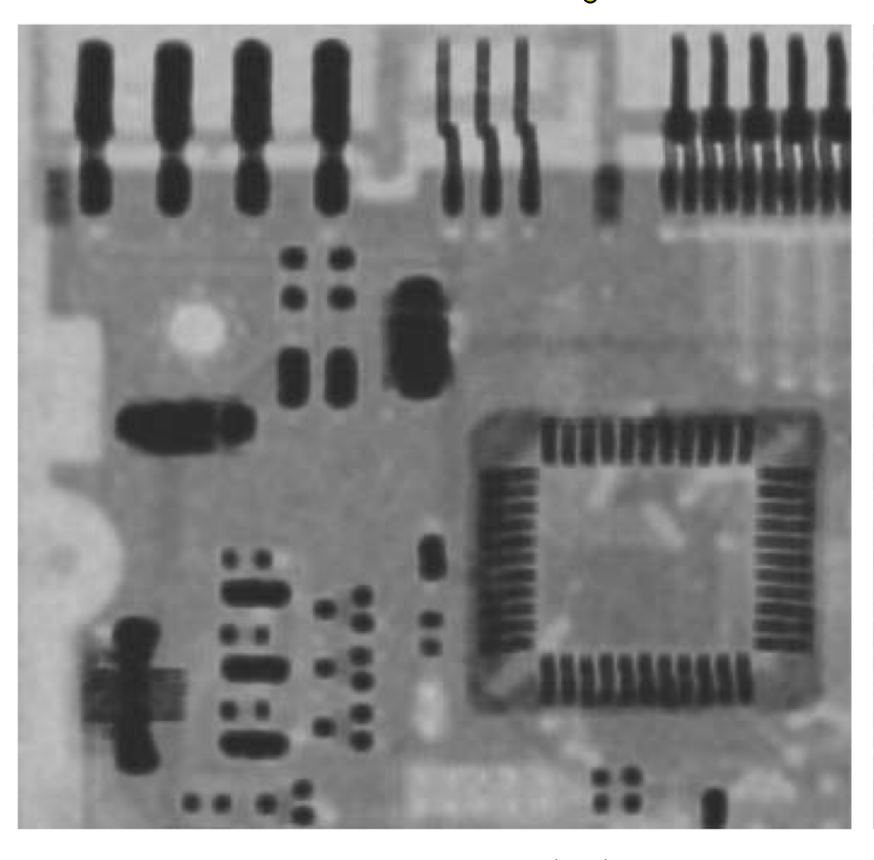
7×7算术均值滤波器

• 滤波器对比

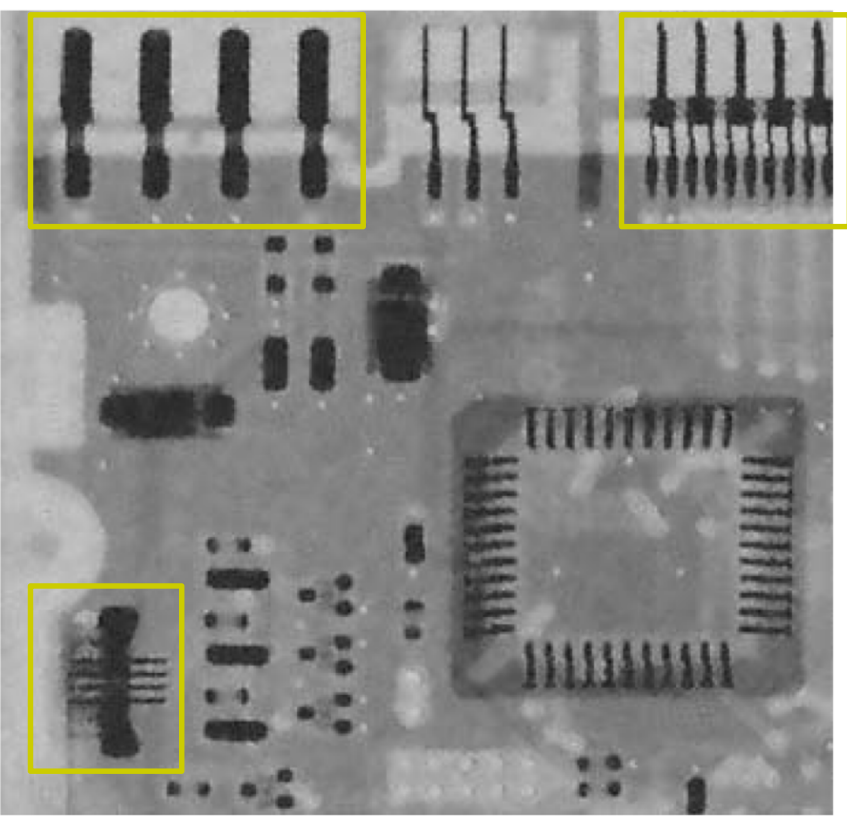
降低噪声变得模糊







7×7几何均值滤波器



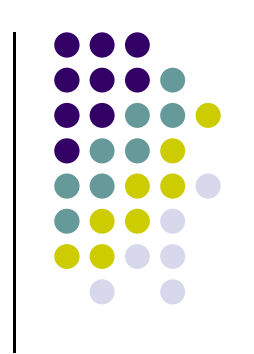
自适应局部降噪滤波器

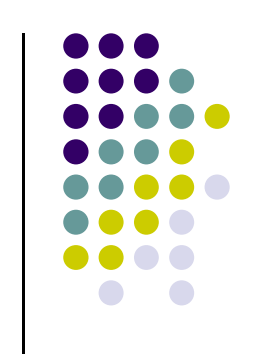
- 传统中值滤波器
 - 针对脉冲噪声概率较小的情况,低于0.2

- 自适应中值滤波器
 - 处理更大的噪声概率
 - 平滑非脉冲噪声时,保持细节
 - 矩形Sxy的大小动态变化

- 考虑如下符号
 - $z_{\min} = S_{xy}$ 中的最小灰度值
 - $z_{\text{max}} = S_{xy}$ 中的最大灰度值
 - $z_{\text{med}} = S_{xy}$ 中灰度值的中值

 - $S_{\text{max}} = S_{xy}$ 允许的最大尺寸





阶段A

$$A1 = z_{\text{med}} - z_{\text{min}}$$

$$A2 = z_{\text{med}} - z_{\text{max}}$$

如果A1 > 0 并且A2 < 0 ,进入阶段B ,否则增大滤波器的尺寸

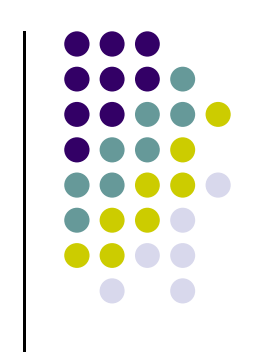
如果滤波器尺寸小于 S_{max} ,重复阶段A,否则输出 Z_{med}

阶段B

$$B1 = z_{xy} - z_{\min}$$

$$B2 = z_{xy} - z_{\text{max}}$$

如果B1 > 0 并且B2 < 0 ,输出 z_{xy} ,否则输出 z_{med}



阶段A

$$A1 = z_{\text{med}} - z_{\text{min}}$$

$$A2 = z_{\text{med}} - z_{\text{max}}$$

如果A1 > 0 并且A2 < 0 ,进入阶段B ,否则增大滤波器的尺寸

如果滤波器尺寸小于 S_{max} ,重复阶段A,否则输出 Z_{med}

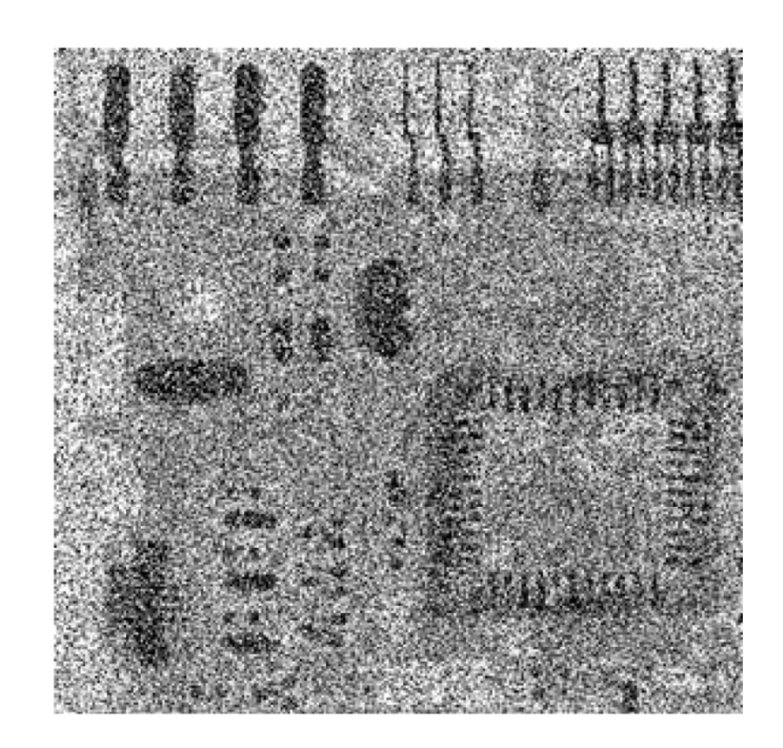
- 判断Zmed是否为脉冲噪声
- 如果否,转向阶段B
- 如果是,增加窗口



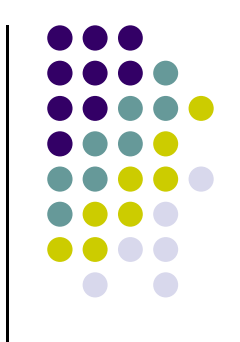
阶段B

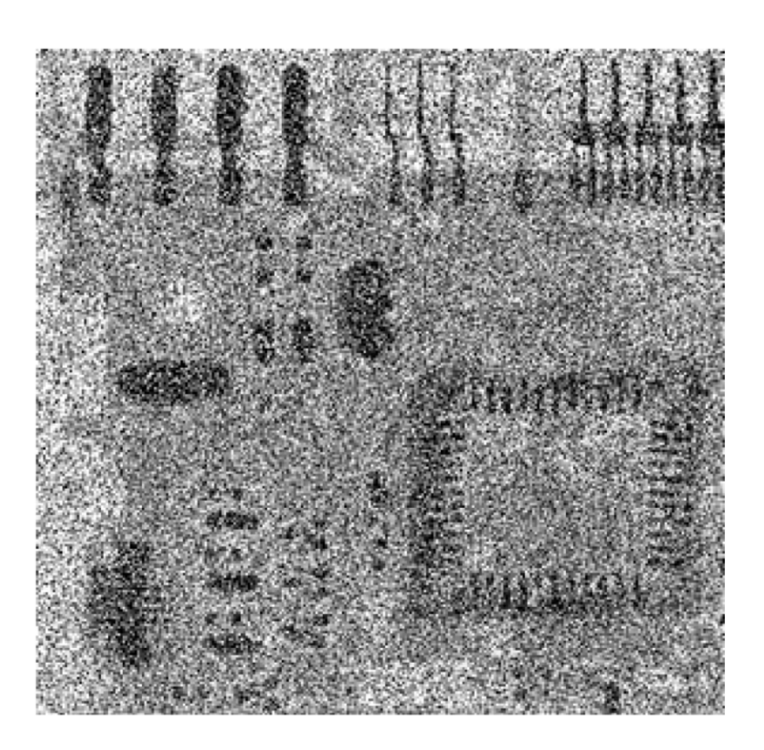
$$B1 = z_{xy} - z_{\min}$$
 $B2 = z_{xy} - z_{\max}$ 如果 $B1 > 0$ 并且 $B2 < 0$,输出 z_{xy} ,否则输出 z_{med}

- 判断Zxy是否为脉冲噪声
- 如果否,输出 z_{xy} (减少失真)
- 如果是,输出 z_{med} (中值滤波)
 - Zmed 肯定不是脉冲噪声

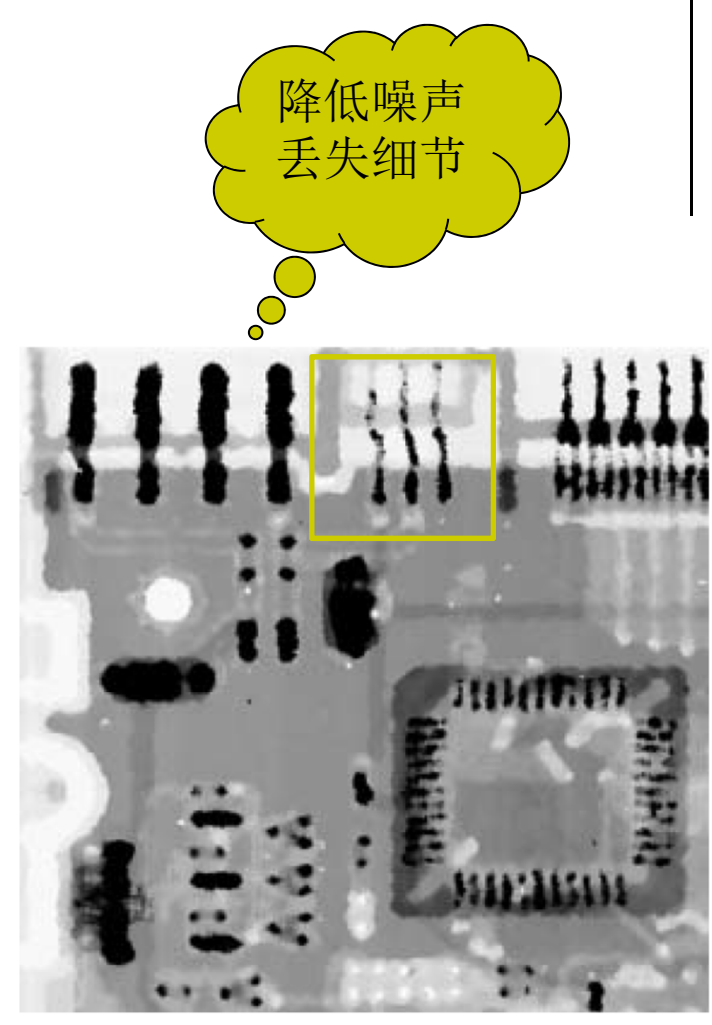


 $P_a = P_b = 0.25$ 的椒盐噪声

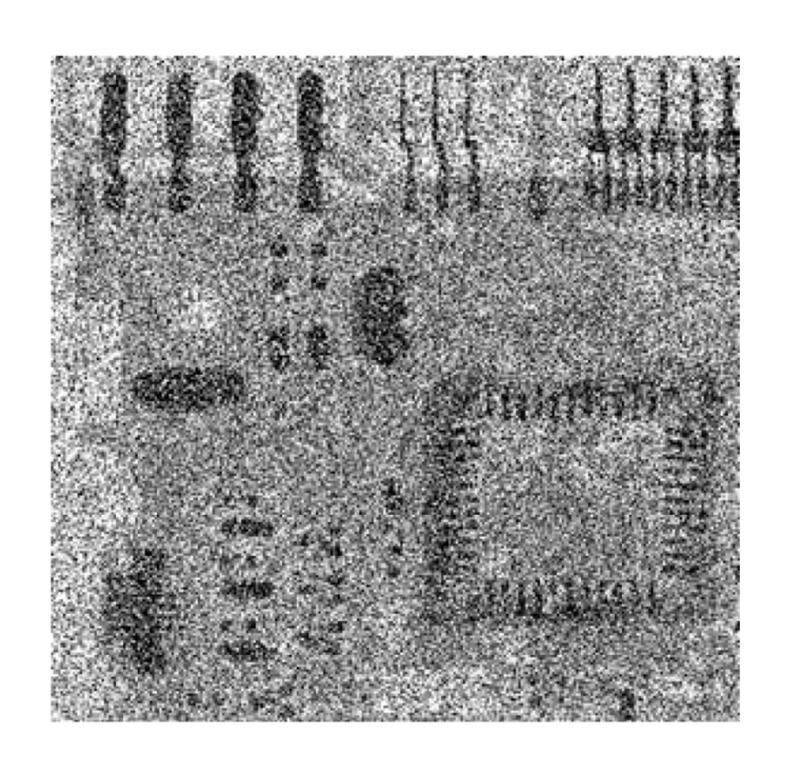




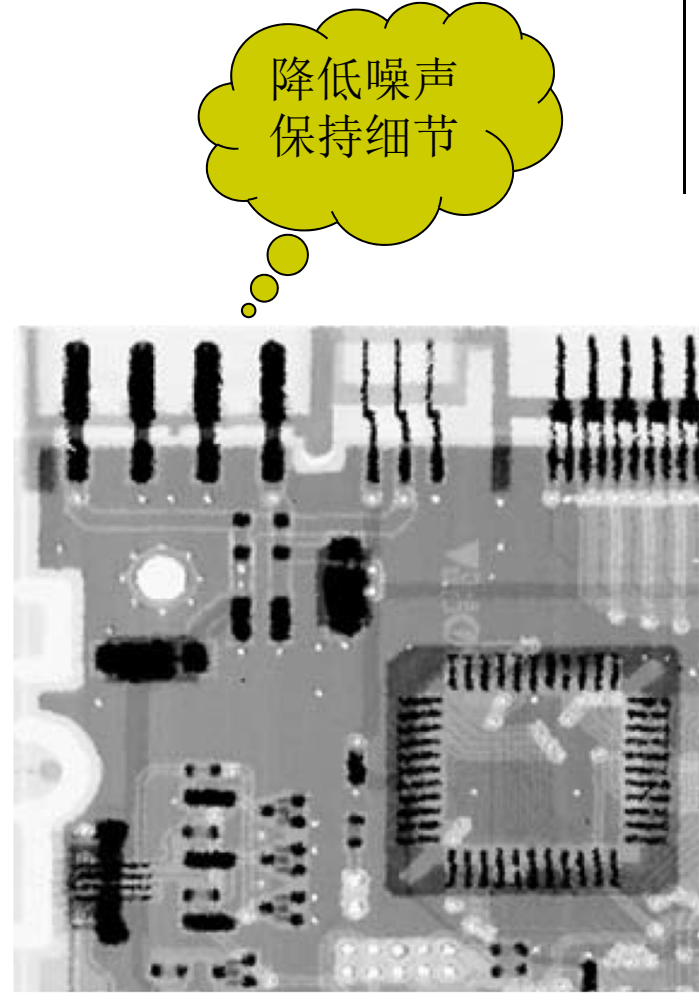
 $P_a = P_b = 0.25$ 的椒盐噪声



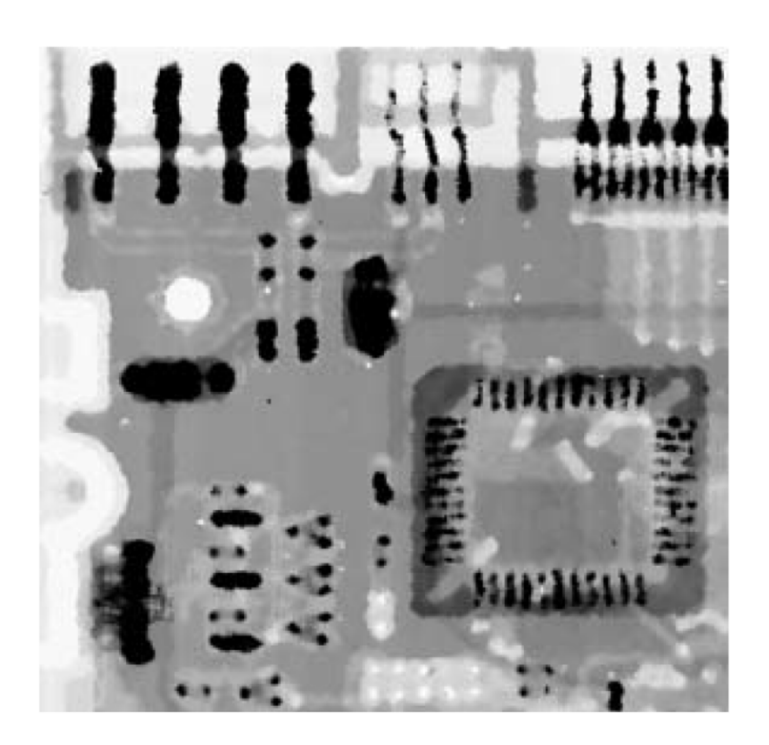
7×7中值滤波器



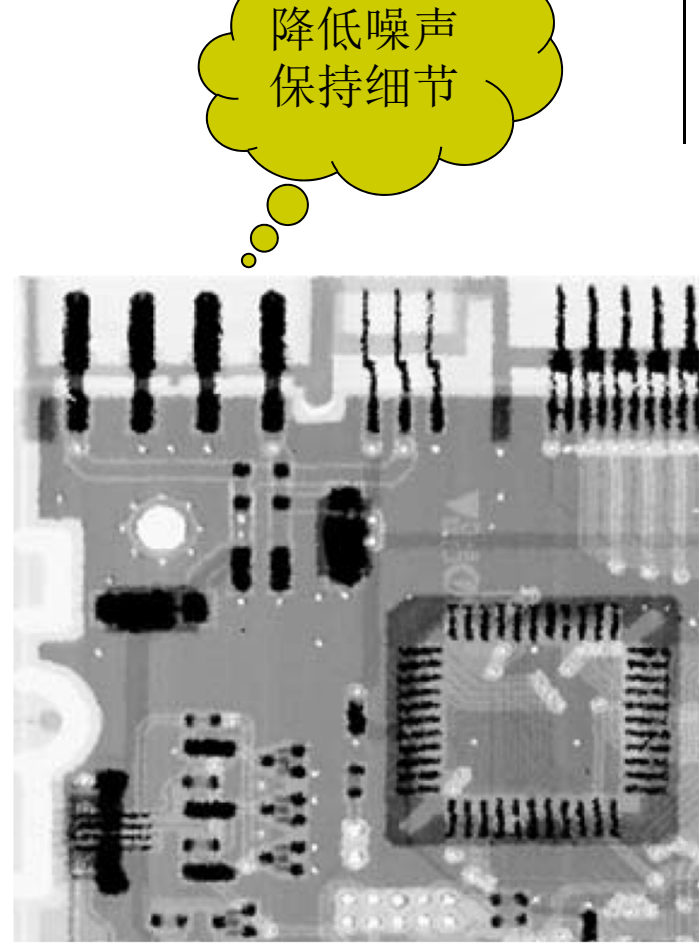
 $P_a = P_b = 0.25$ 的椒盐噪声



 $s_{\text{max}} = 7$ 的自适应中值滤波器



7×7中值滤波器

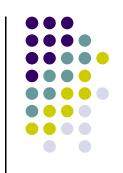


 $s_{\text{max}} = 7$ 的自适应中值滤波器



提纲

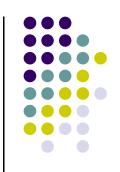
- 图像退化/复原建模
- 噪声模型
- 仅有噪声的图像复原
- 频域滤波消除周期噪声
- 线性、位置不变的退化
- 估计退化函数
- 逆滤波



频域滤波消除周期噪声

- 傅里叶变换之后可以识别周期噪声
 - 周期性噪声以能量脉冲出现
 - 利用选择性滤波器去掉噪声
- 1. 带阻滤波器
- 2. 带通滤波器
- 3. 陷波滤波器
- 4. 最佳陷波滤波器

带阻滤波器



• 理想带阻滤波器

$$H(u, v) = \begin{cases} 0 & \text{if } D_0 - \frac{W}{2} \le D \le D_0 + \frac{W}{2} \\ 1 & \text{otherwise} \end{cases}$$

• 巴特沃斯带阻滤波器

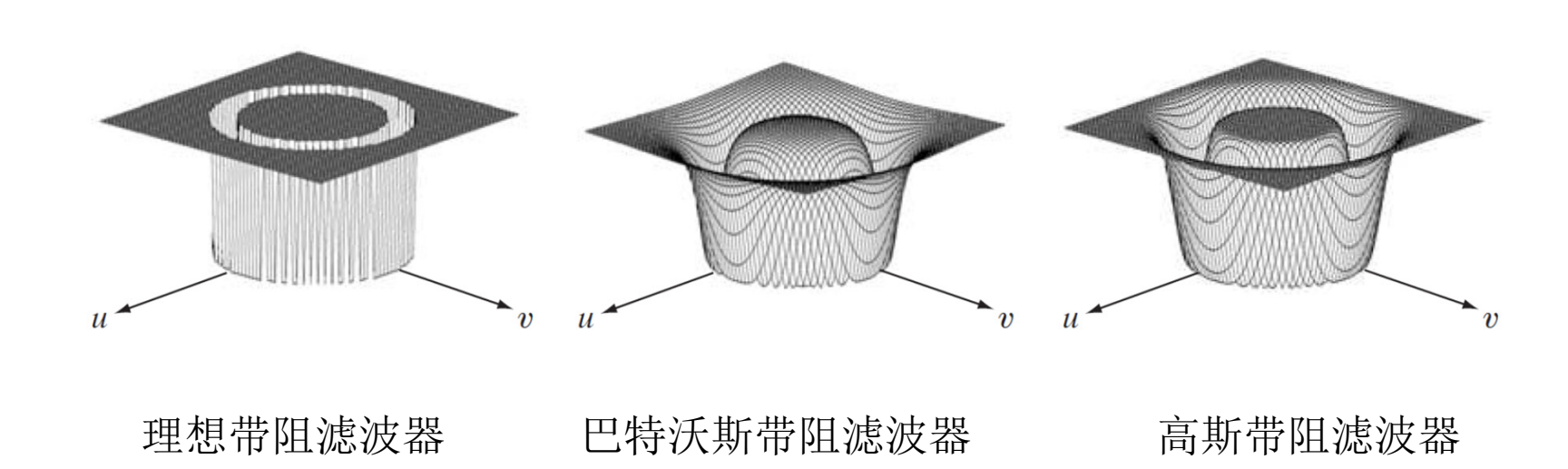
$$H(u, v) = \frac{1}{1 + \left[\frac{DW}{D^2 - D_0^2}\right]^{2n}}$$

• 高斯带阻滤波器

$$H(u, v) = 1 - e^{-\left[\frac{D^2 - D_0^2}{DW}\right]^2}$$

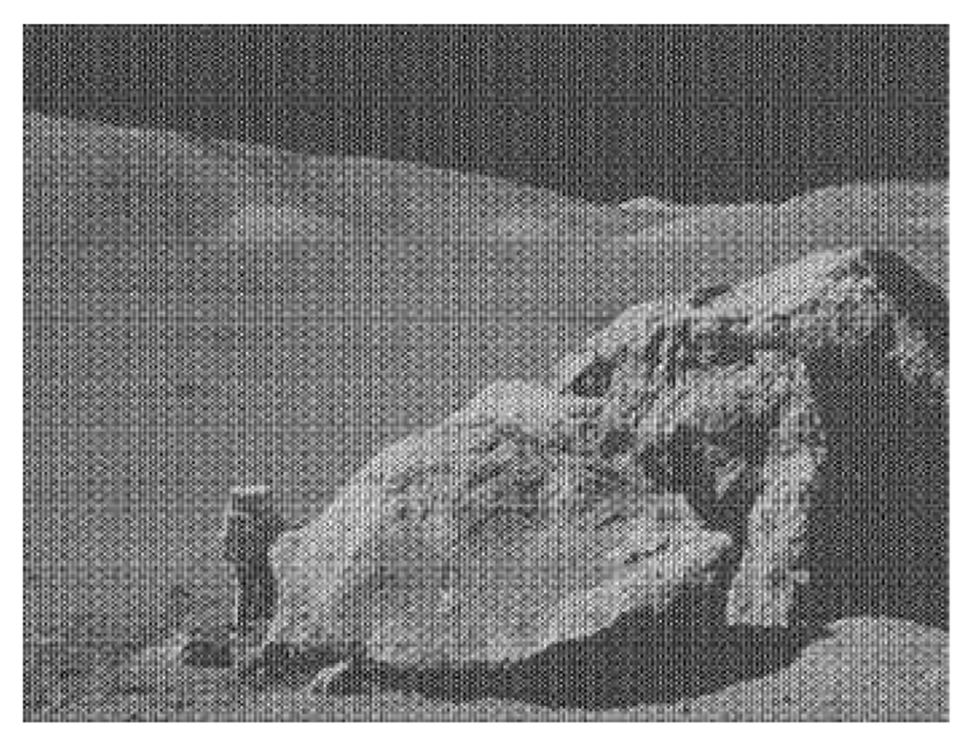
带阻滤波器

• 透视图



• 周期性噪声的傅里叶变换

正弦函数的傅里叶变换是一对共轭对称的冲激



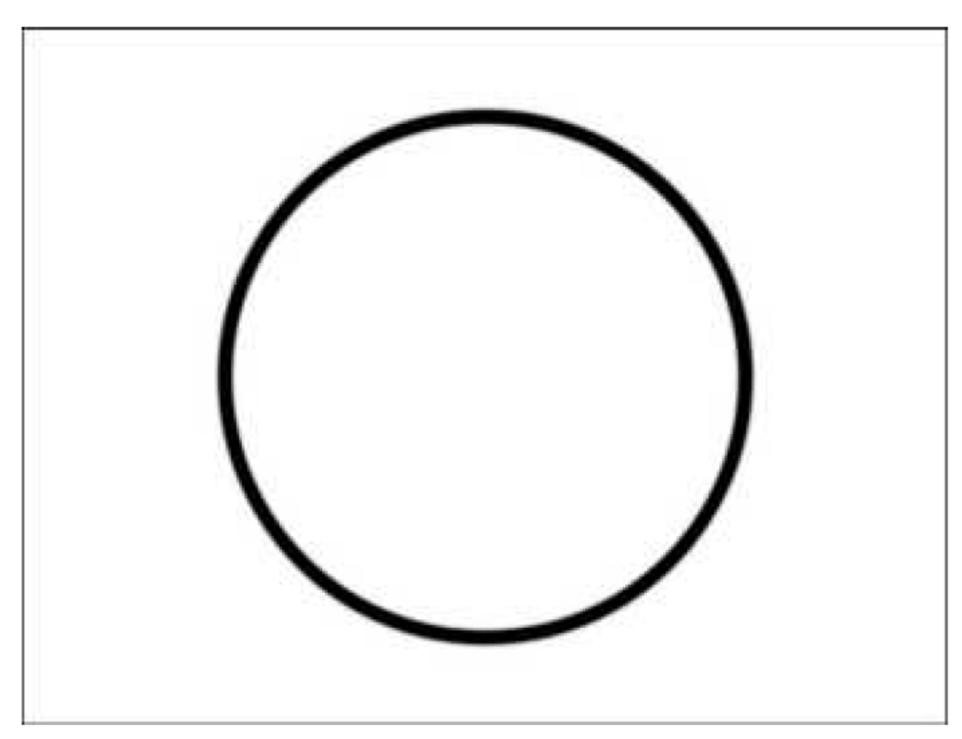


被正弦信号污染的图像

傅里叶变换

• 周期性噪声的傅里叶变换

通过小模板的频 率域滤波无法达 到这种效果





巴特沃斯带阻滤波器

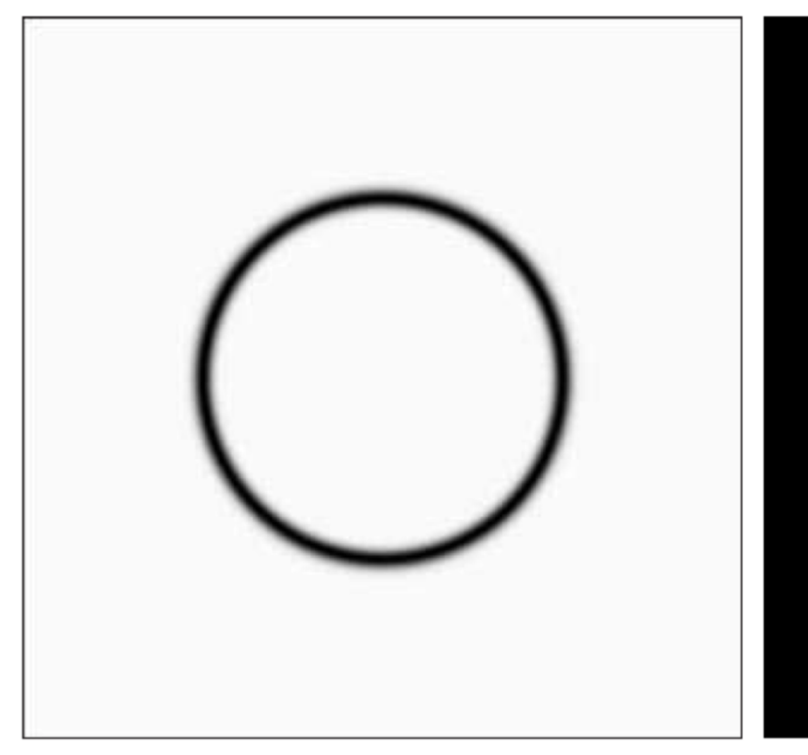
滤波的结果

带通滤波器

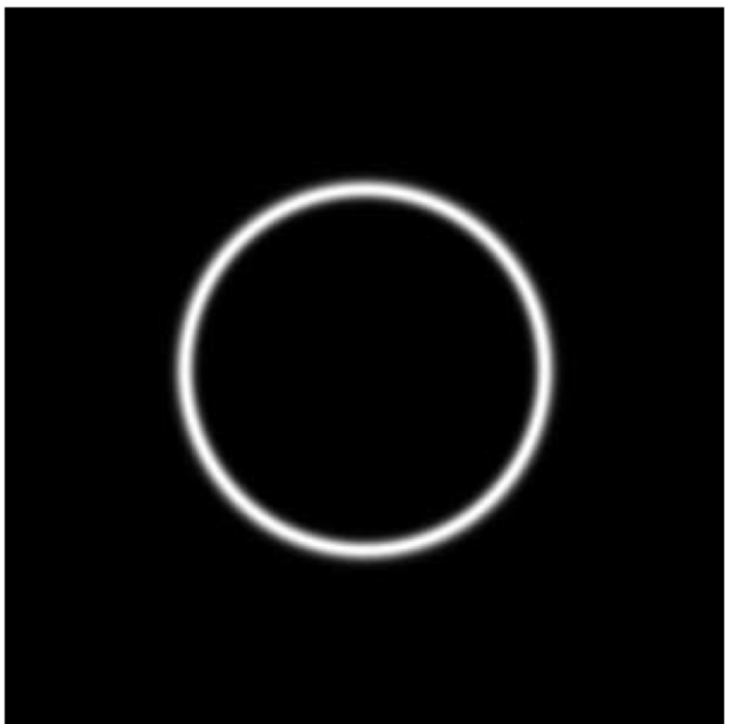


• 从带阻滤波器构造带通滤波器

$$H_{\rm BP}(u,v) = 1 - H_{\rm BR}(u,v)$$

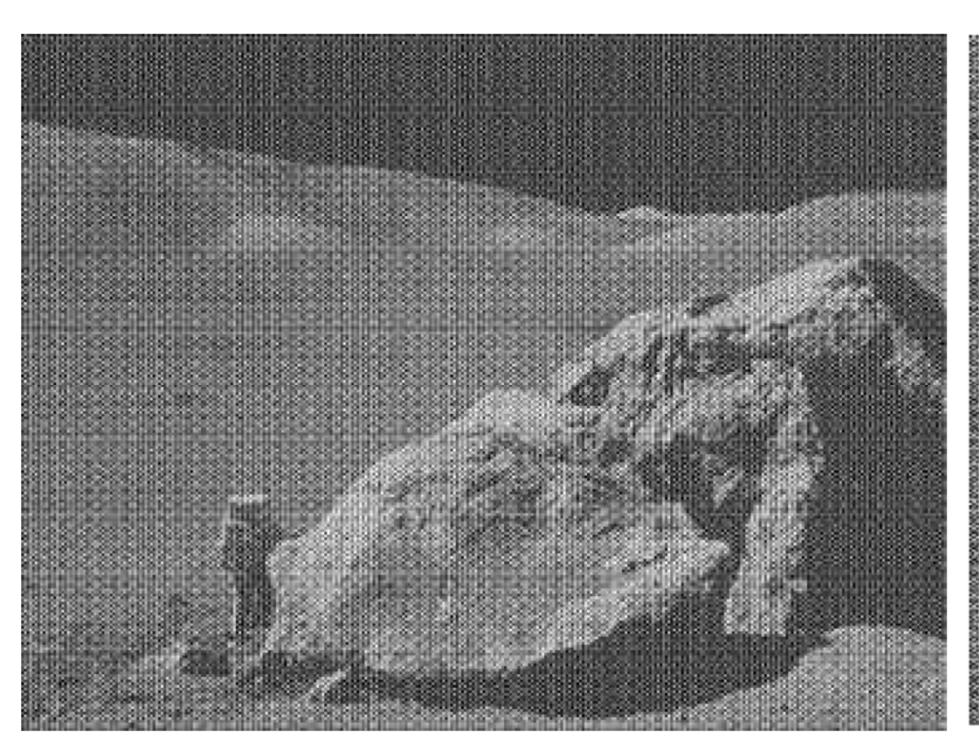


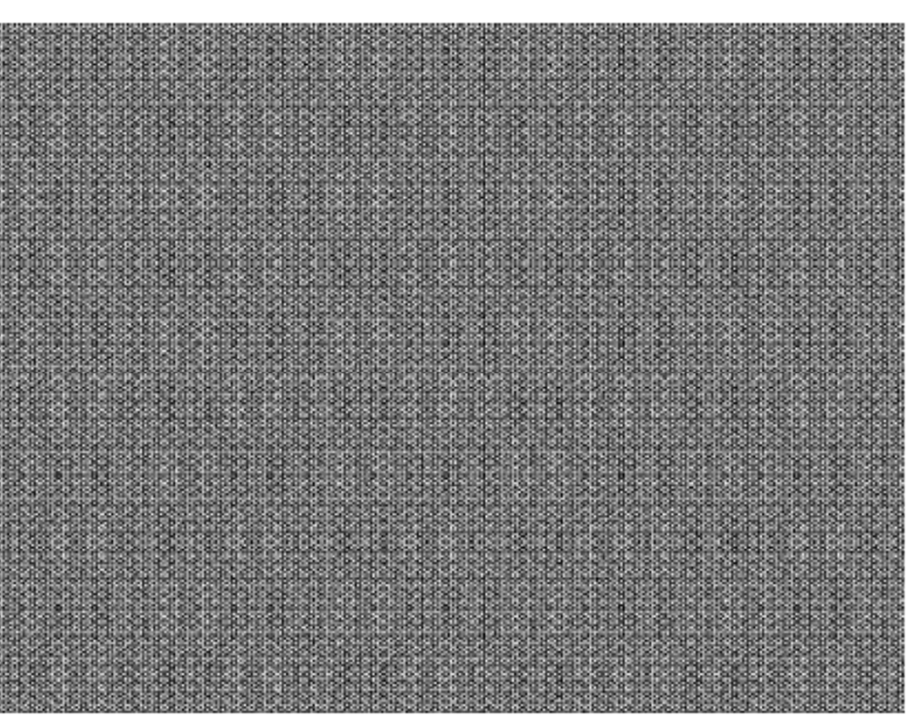




高斯带通滤波器

• 提取噪声

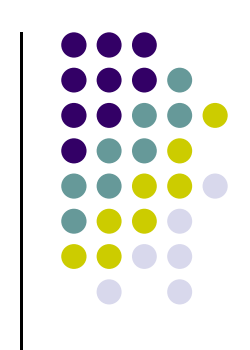




被正弦信号污染的图像

提取的噪声

陷波滤波器

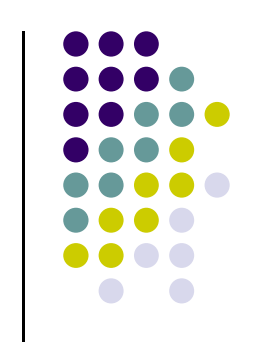


- 1. 处理特定区域
- 2. 保持对称性
 - $在(u_0, v_0)$ 存在陷波, $(-u_0, -v_0)$ 也存在一个
- 陷波带阻滤波器

$$H_{NR}(u, v) = \prod_{k=1}^{Q} H_k(u, v) H_{-k}(u, v)$$

- $H_k(u,v)$ 是中心在 (u_k,v_k) 的高通滤波器
- $H_{-k}(u,v)$ 是中心在 $(-u_k,-v_k)$ 的高通滤波器
- 中心是相对于(M/2,N/2)而言

陷波滤波器



• n阶巴特沃斯陷波带阻滤波器

$$H_{NR}(u,v) = \prod_{k=1}^{3} \left[\frac{1}{1 + [D_{0k}/D_k(u,v)]^{2n}} \right] \left[\frac{1}{1 + [D_{0k}/D_{-k}(u,v)]^{2n}} \right]$$

•
$$\not \models D_k(u, v) = \left[(u - M/2 - u_k)^2 + (v - N/2 - v_k)^2 \right]^{1/2}$$

$$D_{-k}(u, v) = \left[(u - M/2 + u_k)^2 + (v - N/2 + v_k)^2 \right]^{1/2}$$

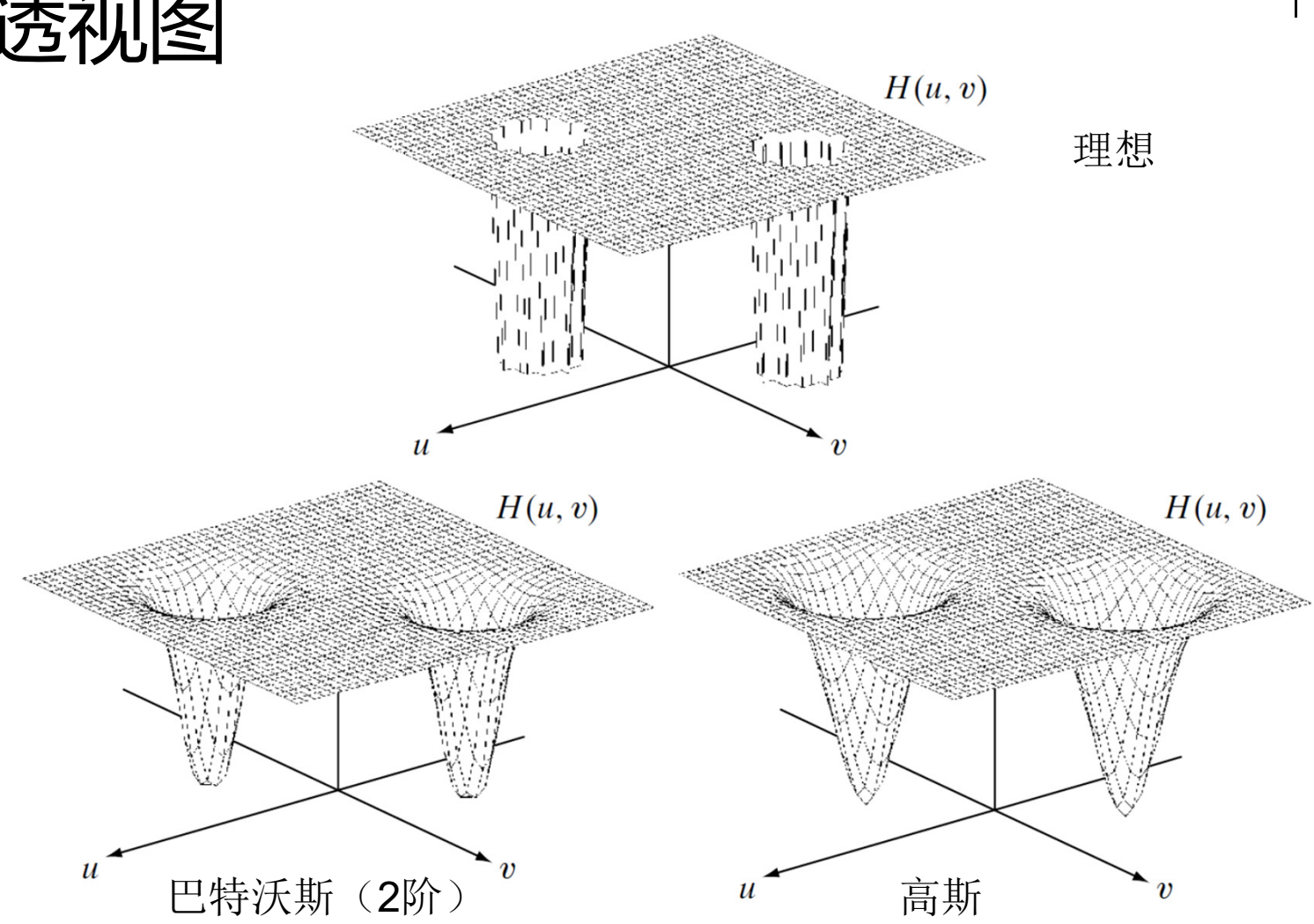
• 陷波带通滤波器

$$H_{\rm NP}(u,v) = 1 - H_{\rm NR}(u,v)$$

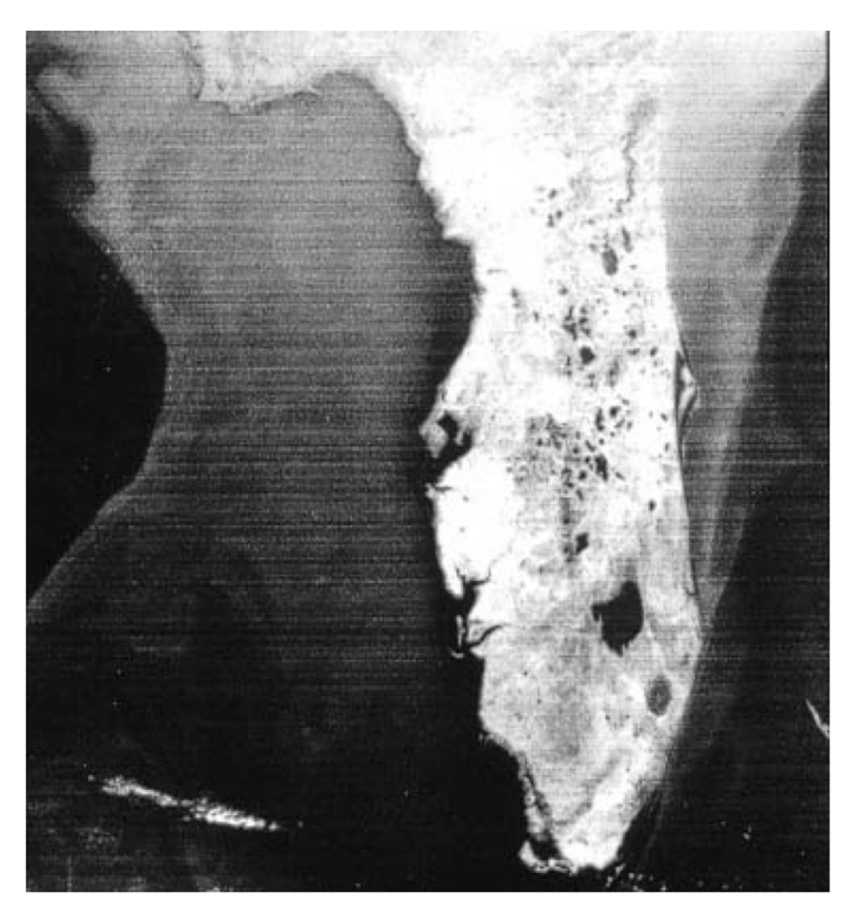
- 交互式地改变DFT的局部区域
 - 不进行补0填充

陷波带阻滤波器

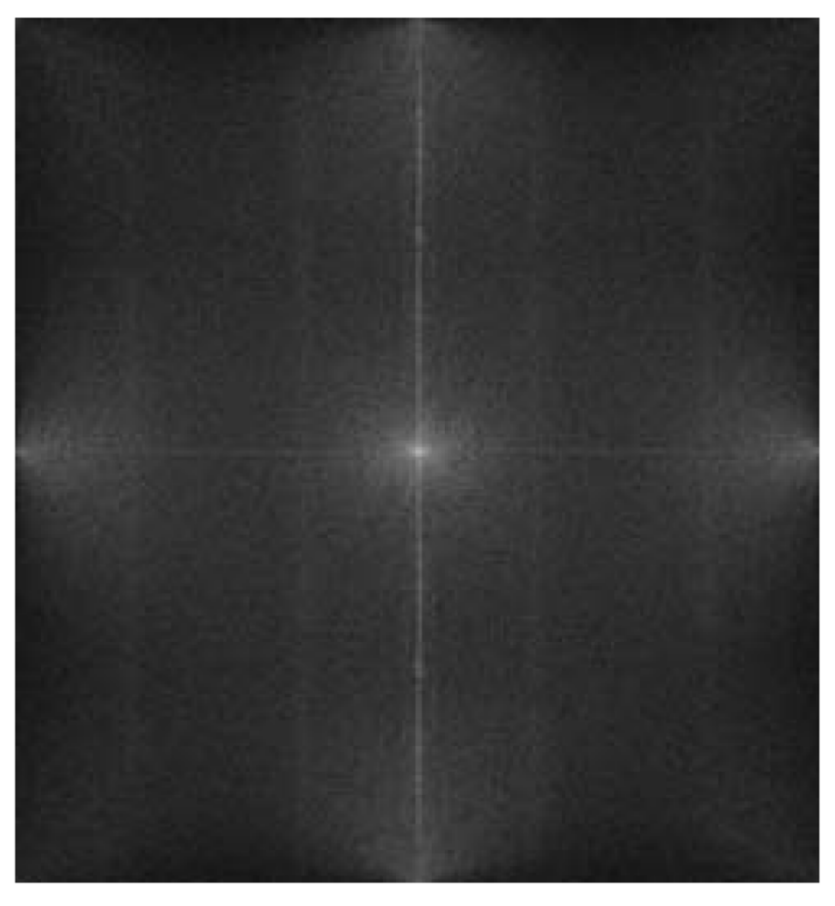
• 透视图



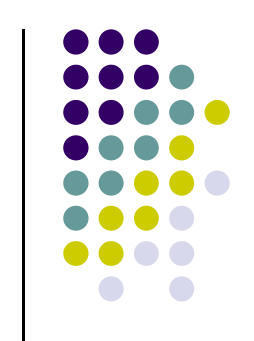
• 含噪声的卫星图片



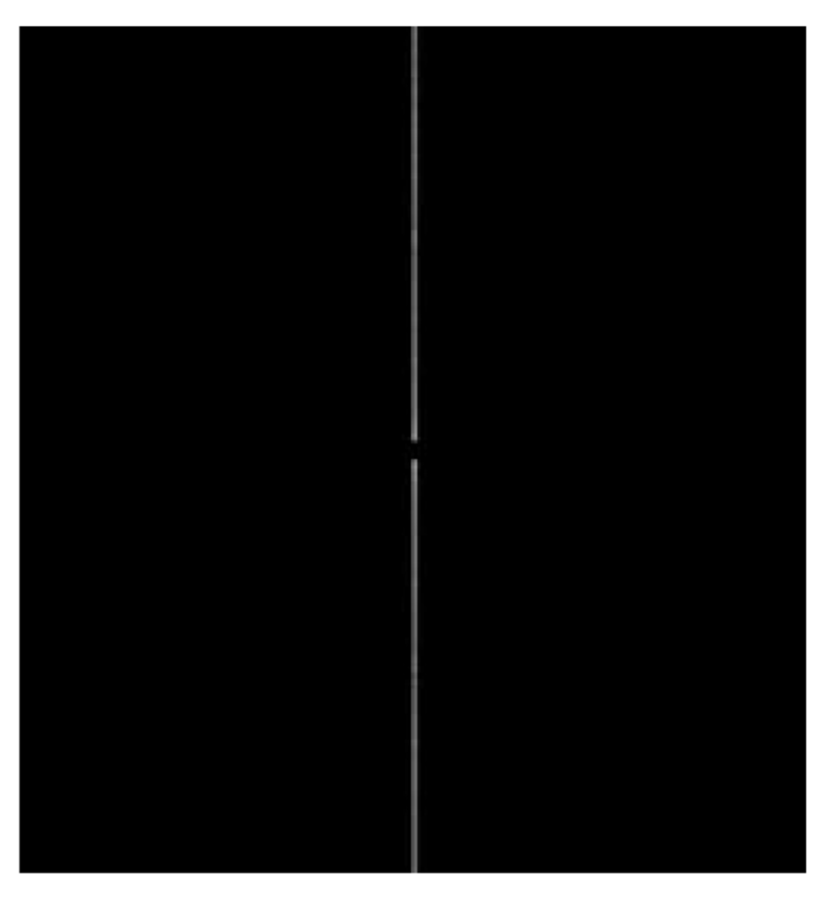




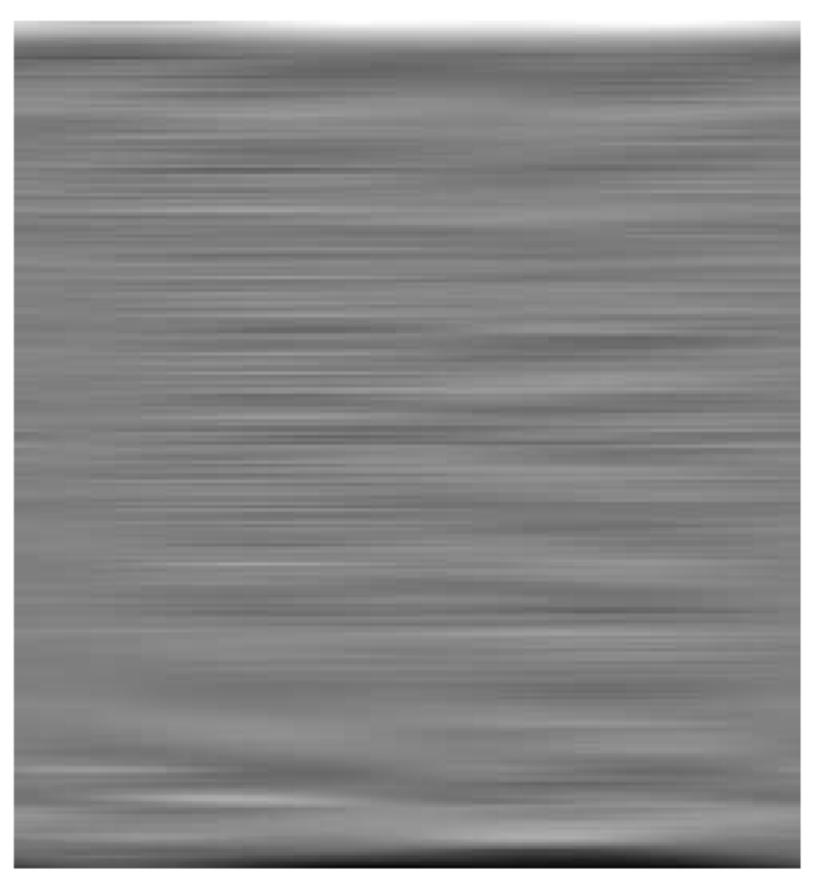
原图 傅里叶谱



• 含噪声的卫星图片



陷波带通滤波器

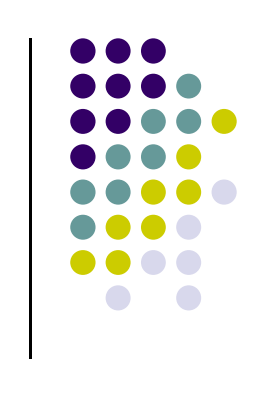


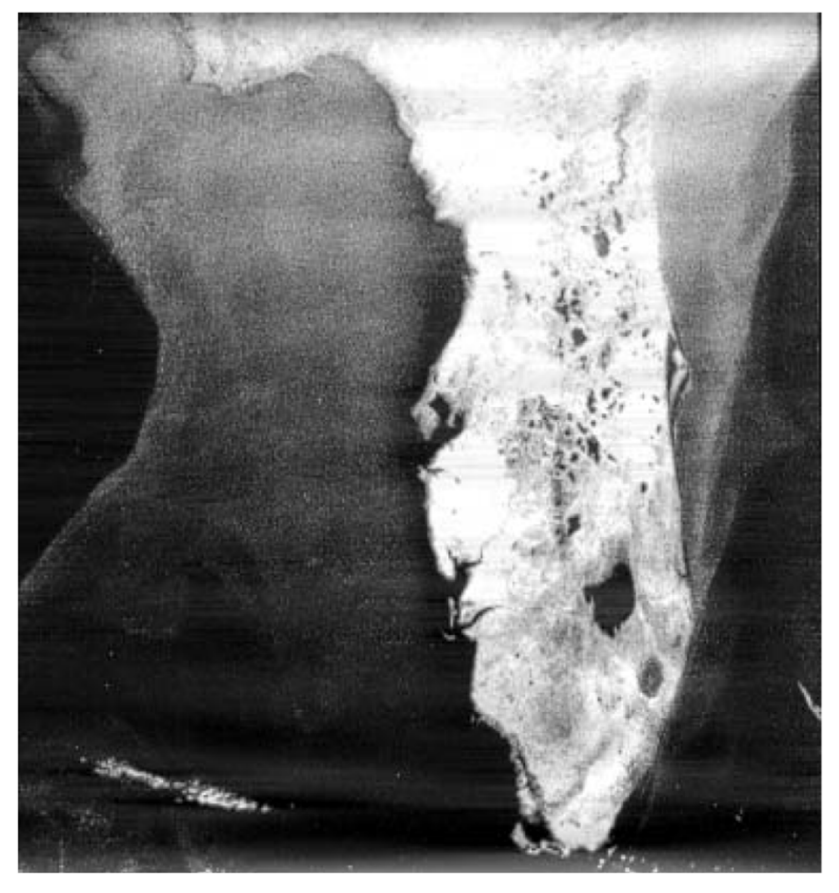
提取的噪声

• 含噪声的卫星图片









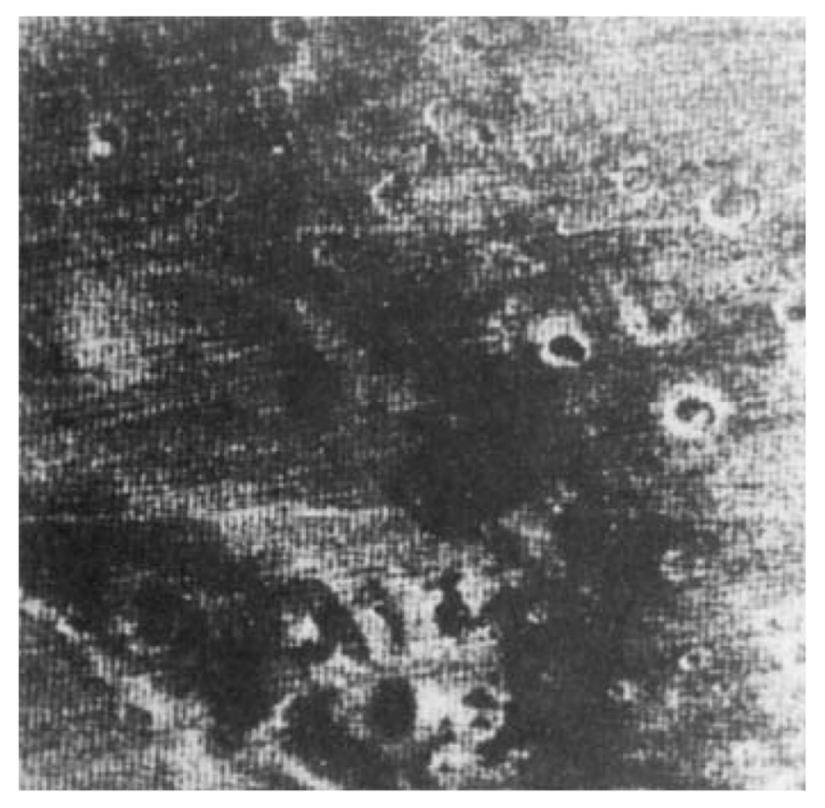
滤波后的图像

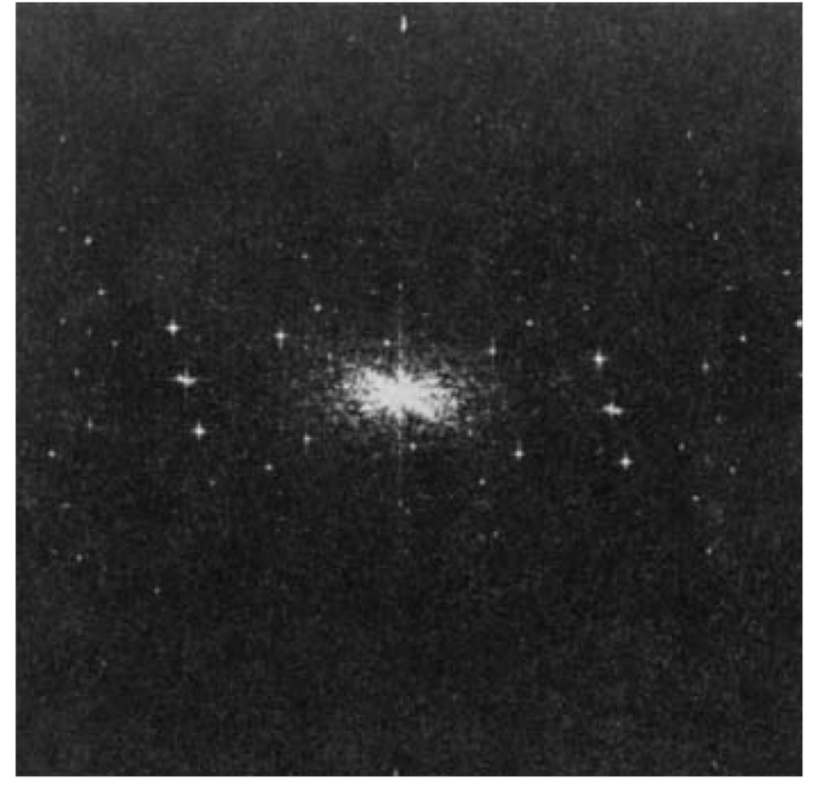
原图

最佳陷波滤波器



- 频率域的噪声模式有时候难以准确去除
 - 多种噪声、噪声并非单一频率





火星地形图

傅里叶谱图

最佳陷波滤波器





• 提取干扰模式的主频

$$N(u, v) = H_{NP}(u, v)G(u, v)$$

• 观察干扰模式

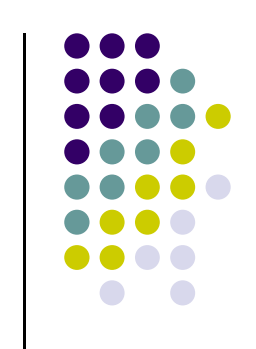
$$\eta(x, y) = \Im^{-1}\{H_{NP}(u, v)G(u, v)\}$$

• 去掉干扰模式

$$\hat{f}(x, y) = g(x, y) - w(x, y)\eta(x, y)$$

- 优化权重
 - 最小化局部方差

优化权重



• 局部方差

$$\sigma^{2}(x,y) = \frac{1}{(2a+1)(2b+1)} \sum_{s=-a}^{a} \sum_{t=-b}^{b} \left[\hat{f}(x+s,y+t) - \bar{\hat{f}}(x,y) \right]^{2}$$

其中

$$\overline{\hat{f}}(x,y) = \frac{1}{(2a+1)(2b+1)} \sum_{s=-a}^{a} \sum_{t=-b}^{b} \hat{f}(x+s,y+t)$$

化简

$$\sigma^{2}(x, y) = \frac{1}{(2a+1)(2b+1)} \sum_{s=-a}^{a} \sum_{t=-b}^{b} \{ [g(x+s, y+t) - w(x+s, y+t)\eta(x+s, y+t)] - [\overline{g}(x, y) - \overline{w(x, y)\eta(x, y)}] \}^{2}$$

优化权重



• 假设权重在局部为常数

$$w(x + s, y + t) = w(x, y)$$
 $-a \le s \le a \text{ and } -b \le t \le b$.

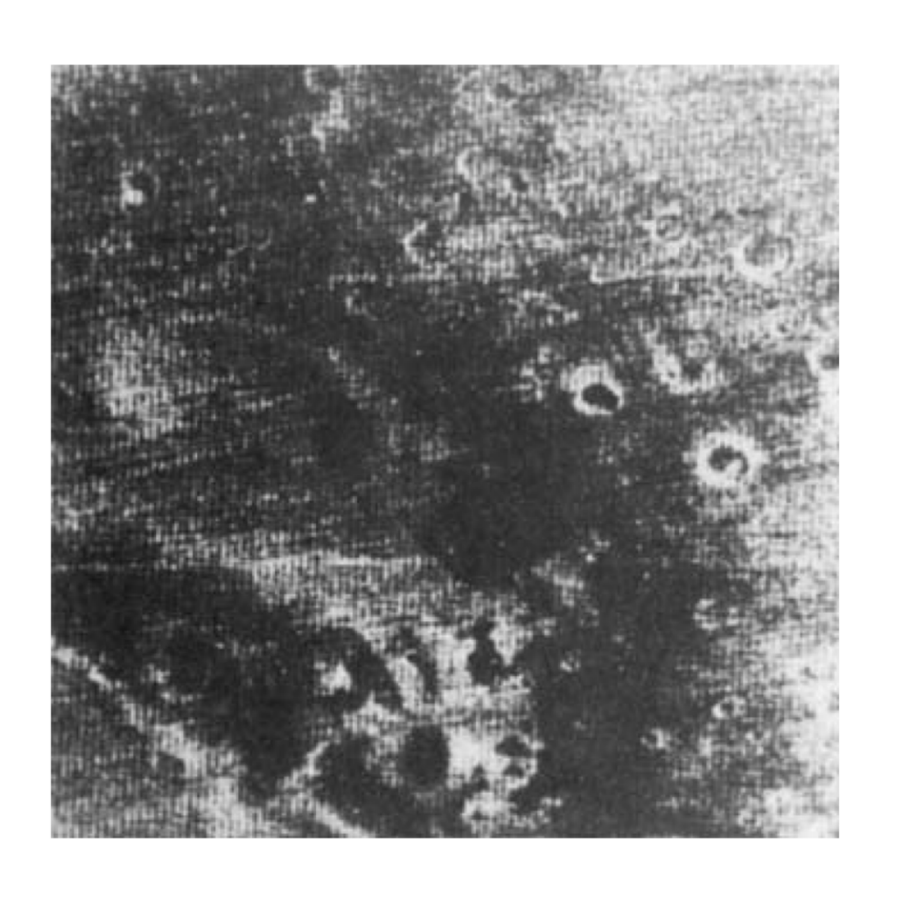
简化 - 1

$$\overline{w(x, y)\eta(x, y)} = w(x, y)\overline{\eta}(x, y)$$

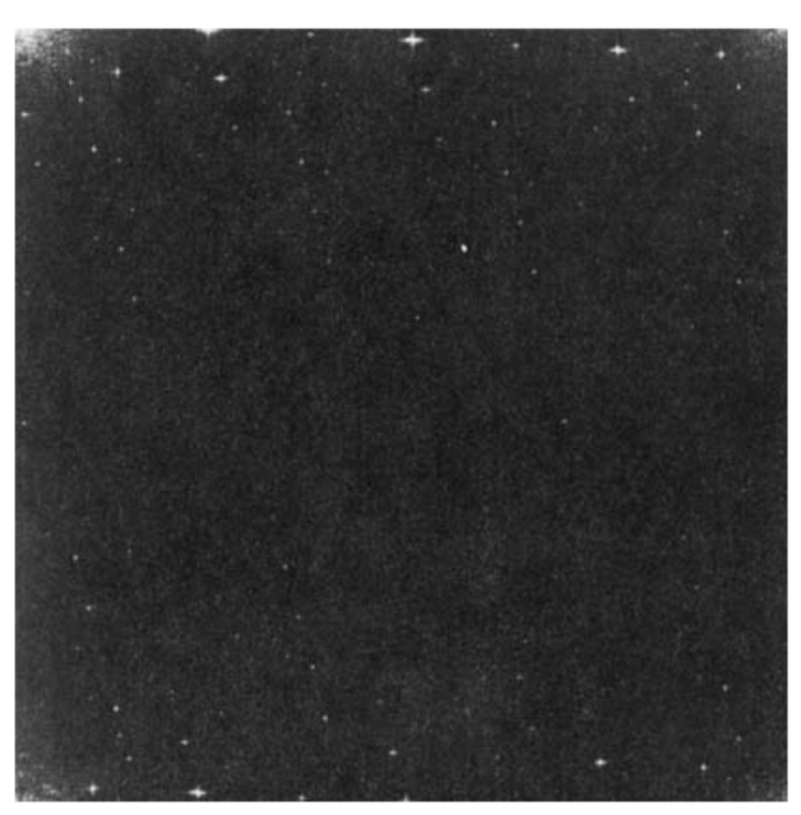
方差

$$\overline{\sigma^{2}}(x,y) = \frac{1}{(2a+1)(2b+1)} \sum_{s=-a}^{a} \sum_{t=-b}^{b} \{ [g(x+s,y+t) - w(x,y)\eta(x+s,y+t)] - [\overline{g}(x,y) - w(x,y)\overline{\eta}(x,y)] \}^{2}$$

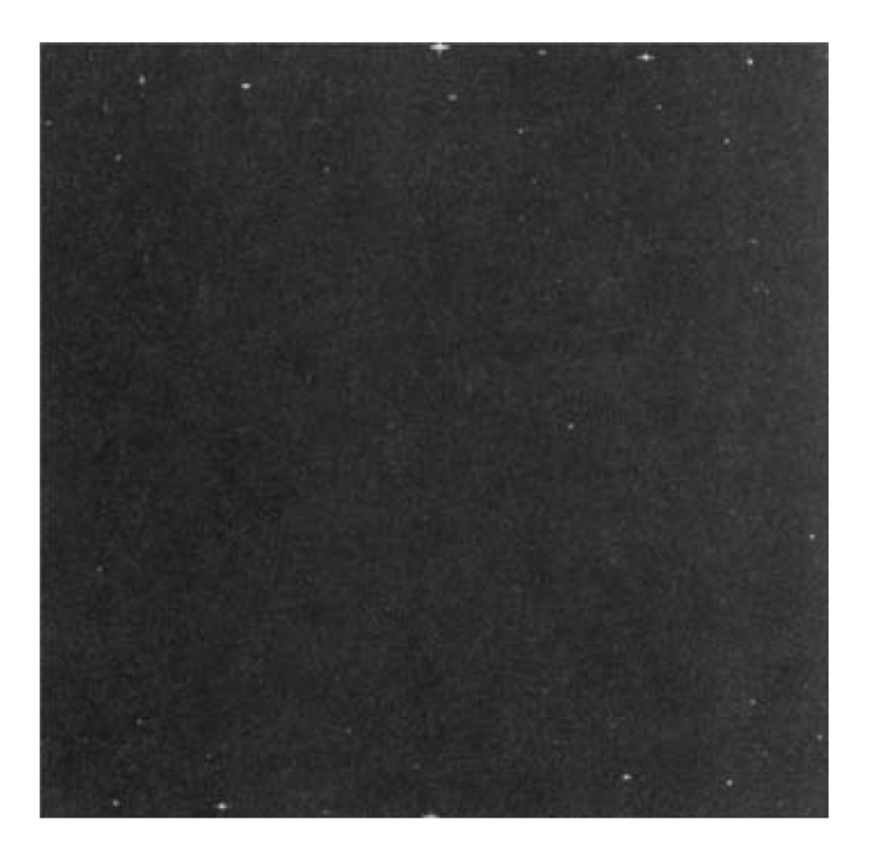
•
$$\frac{\partial \sigma^2(x,y)}{\partial w(x,y)} = 0 \implies w(x,y) = \frac{\overline{g(x,y)\eta(x,y)} - \overline{g}(x,y)\overline{\eta}(x,y)}{\overline{\eta^2}(x,y) - \overline{\eta}^2(x,y)}$$



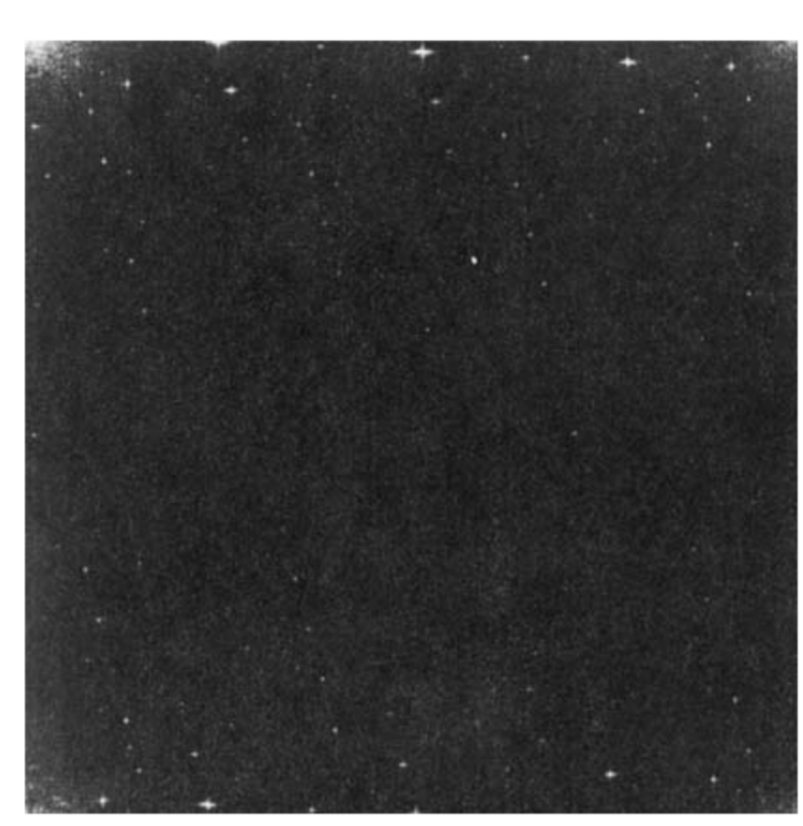
火星地形图



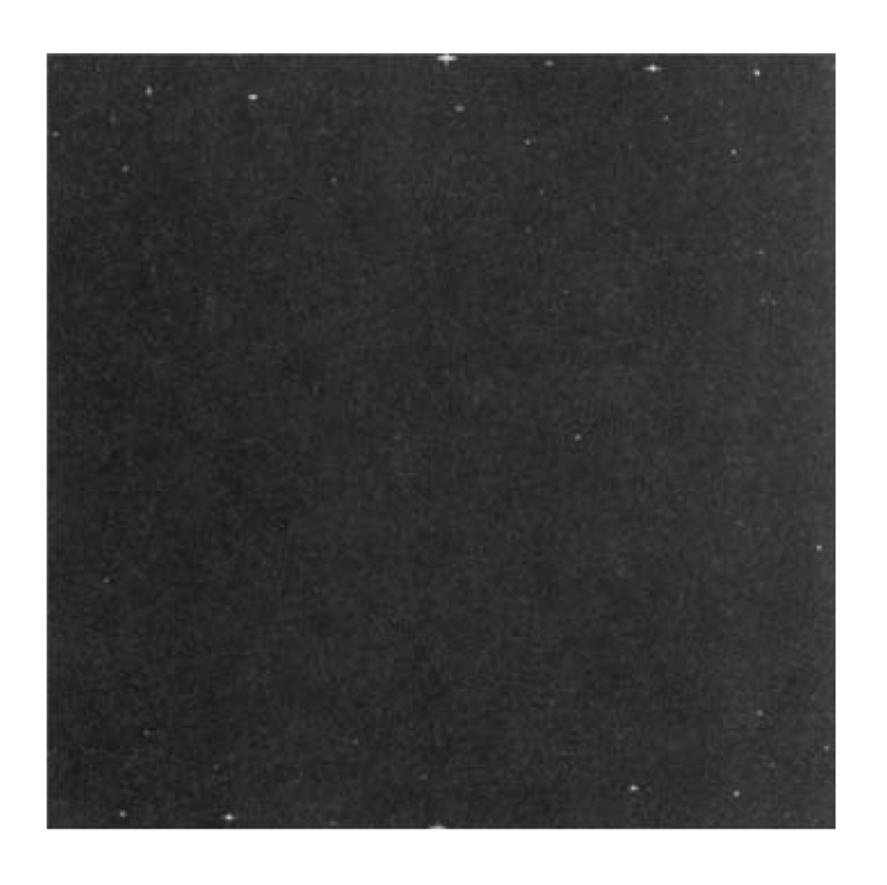
傅里叶谱图(没有中心化)



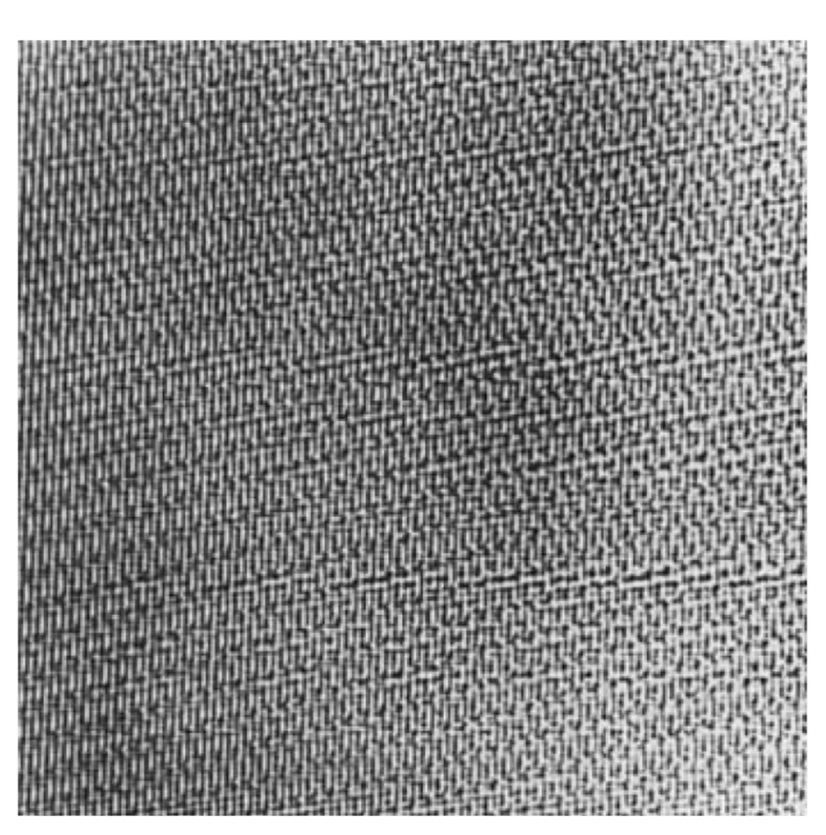
频率域内提取的噪声



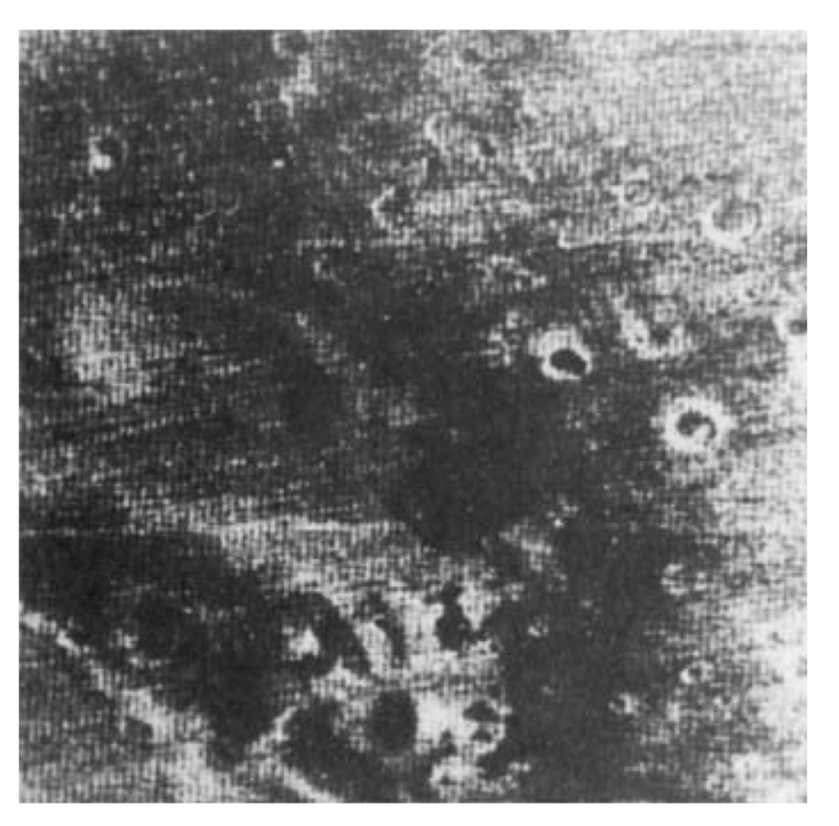
傅里叶谱图(没有中心化)

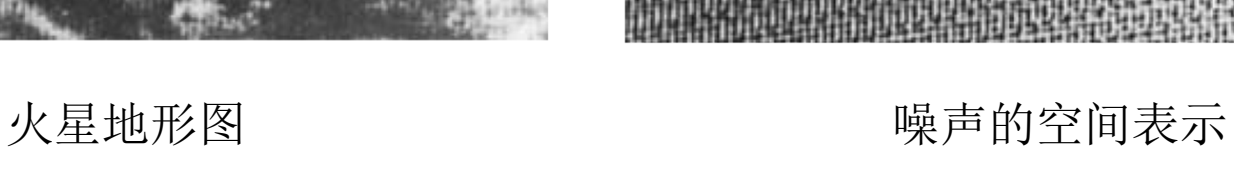


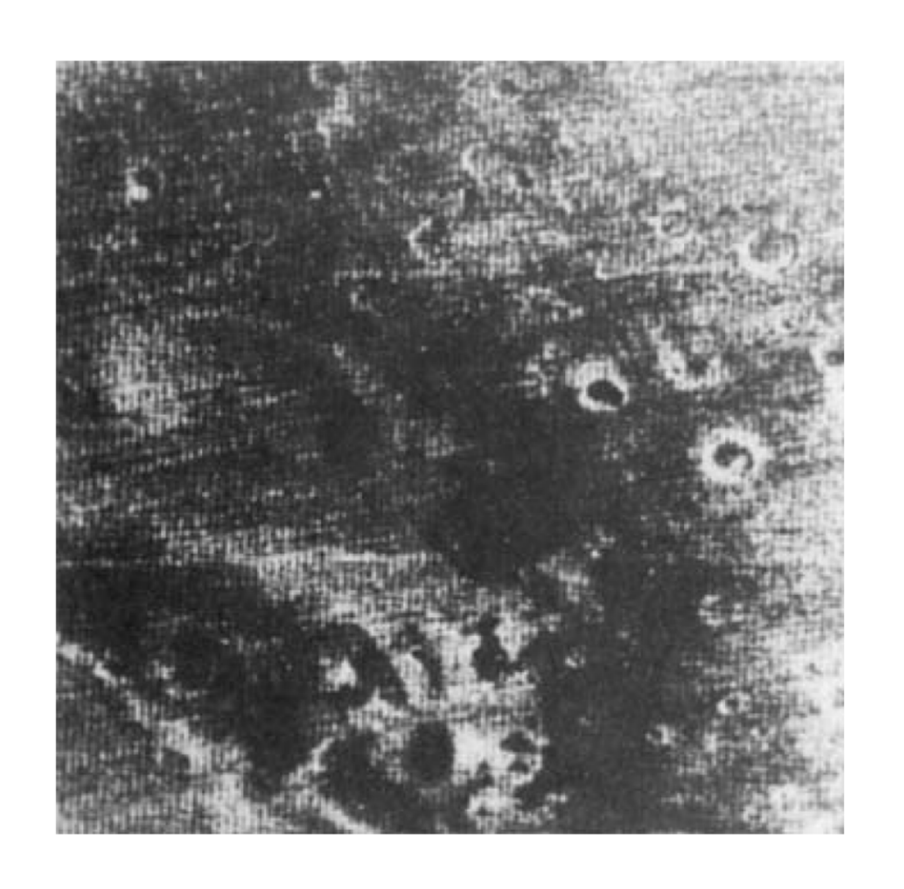
频率域内提取的噪声

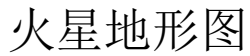


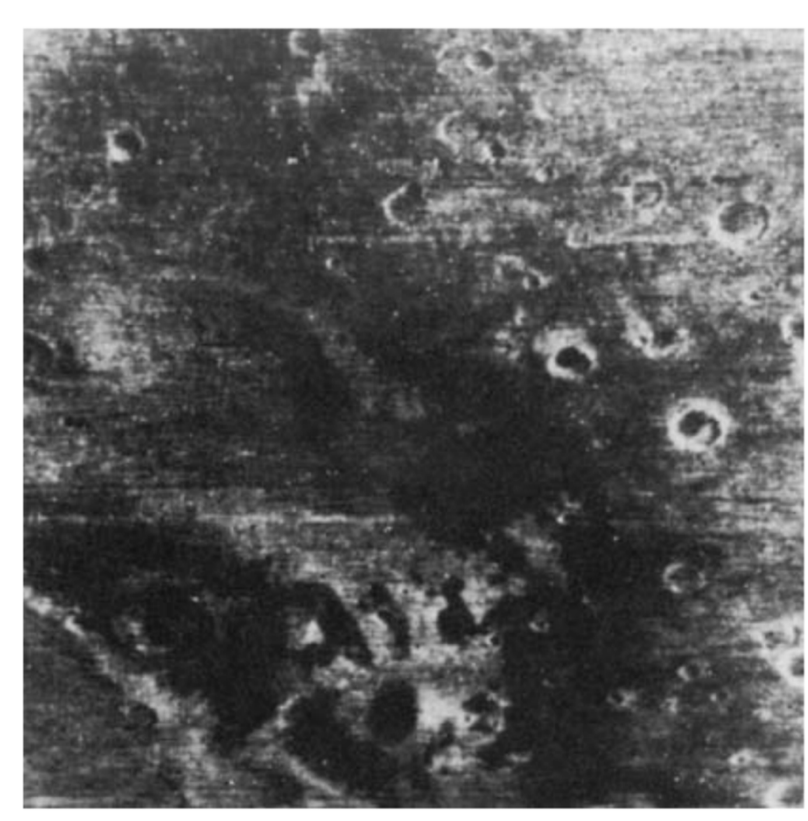
噪声的空间表示







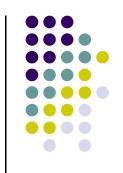


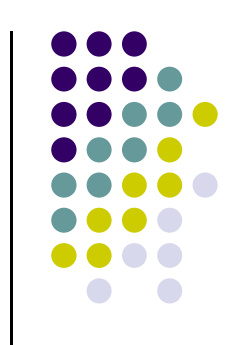


处理后的图像

提纲

- 图像退化/复原建模
- 噪声模型
- 仅有噪声的图像复原
- 频域滤波消除周期噪声
- 线性、位置不变的退化
- 估计退化函数
- 逆滤波





• 图像退化建模

$$g(x, y) = H[f(x, y)] + \eta(x, y)$$

• 假设 $\eta(x,y) = 0$ g(x,y) = H[f(x,y)]

• H是线性的

$$H[af_1(x, y) + bf_2(x, y)] = aH[f_1(x, y)] + bH[f_2(x, y)]$$

• 加性 (additivity)

$$H[f_1(x, y) + f_2(x, y)] = H[f_1(x, y)] + H[f_2(x, y)]$$

同质性 (homogeneity)

$$H[af_1(x, y)] = aH[f_1(x, y)]$$



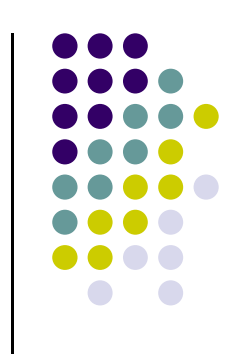
● *H*是位置不变的 / 平移后执行操作等价于操作后执行平移

- $H[f(x-\alpha,y-\beta)]=g(x-\alpha,y-\beta)$
- 对所有的 $f(x,y),\alpha,\beta$ 都成立
- 输出仅和输入值有关,与位置无关

• 引入冲激函数
$$f(x,y) = \int_{-\infty}^{\infty} \int_{-\infty}^{\infty} f(\alpha,\beta) \delta(x-\alpha,y-\beta) d\alpha d\beta$$

• 图像退化建模

$$g(x,y) = H[f(x,y)] = H\left[\int_{-\infty}^{\infty} \int_{-\infty}^{\infty} f(\alpha,\beta) \delta(x-\alpha,y-\beta) \, d\alpha \, d\beta\right]$$

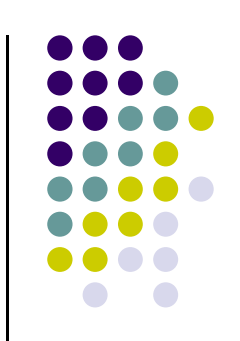


• 图像退化建模

$$g(x,y) = H[f(x,y)] = H\left[\int_{-\infty}^{\infty} \int_{-\infty}^{\infty} f(\alpha,\beta) \delta(x-\alpha,y-\beta) \, d\alpha \, d\beta\right]$$

- $= \int_{-\infty}^{\infty} \int_{-\infty}^{\infty} H[f(\alpha, \beta)\delta(x \alpha, y \beta)] d\alpha d\beta$ 加性
- $= \int_{-\infty}^{\infty} \int_{-\infty}^{\infty} f(\alpha, \beta) H[\delta(x \alpha, y \beta)] d\alpha d\beta$ $= \int_{-\infty}^{\infty} \int_{-\infty}^{\infty} f(\alpha, \beta) h(x, \alpha, y, \beta) d\alpha d\beta$ • 同质性 在(x,y)处的冲激
- H的冲激响应

$$h(x, \alpha, y, \beta) = H[\delta(x - \alpha, y - \beta)]$$



• H的冲激响应

$$h(x, \alpha, y, \beta) = H[\delta(x - \alpha, y - \beta)]$$

● *H*是位置不变的 / 不需要对所有的脉冲都计算

$$H[\delta(x - \alpha, y - \beta)] = h(x - \alpha, y - \beta)$$

• 图像退化建模(卷积)

$$g(x,y) = \int_{-\infty}^{\infty} \int_{-\infty}^{\infty} f(\alpha,\beta) h(x-\alpha,y-\beta) \, d\alpha \, d\beta$$

• 有噪声

$$g(x,y) = \int_{-\infty}^{\infty} \int_{-\infty}^{\infty} f(\alpha,\beta)h(x,\alpha,y,\beta) \, d\alpha \, d\beta + \eta(x,y)$$



• H的冲激响应

$$h(x, \alpha, y, \beta) = H[\delta(x - \alpha, y - \beta)]$$

• *H*是位置不变的

$$H[\delta(x - \alpha, y - \beta)] = h(x - \alpha, y - \beta)$$

- 图像退化建模
 - 空间域

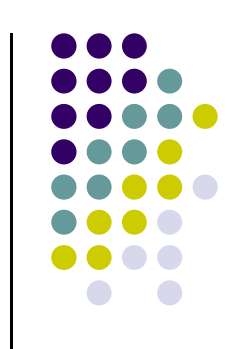
$$g(x, y) = h(x, y) \star f(x, y) + \eta(x, y)$$

频率域

$$G(u, v) = H(u, v)F(u, v) + N(u, v)$$

提纲

- 图像退化/复原建模
- 噪声模型
- 仅有噪声的图像复原
- 频域滤波消除周期噪声
- 线性、位置不变的退化
- 估计退化函数
- 逆滤波



图像观察估计

- 选择图像内的一个区域
 - 进行处理:去掉噪声,还原图像
 - 可以手动去除
- 利用公式估计退化函数

$$H_s(u,v) = \frac{G_s(u,v)}{\hat{F}_s(u,v)}$$

依据

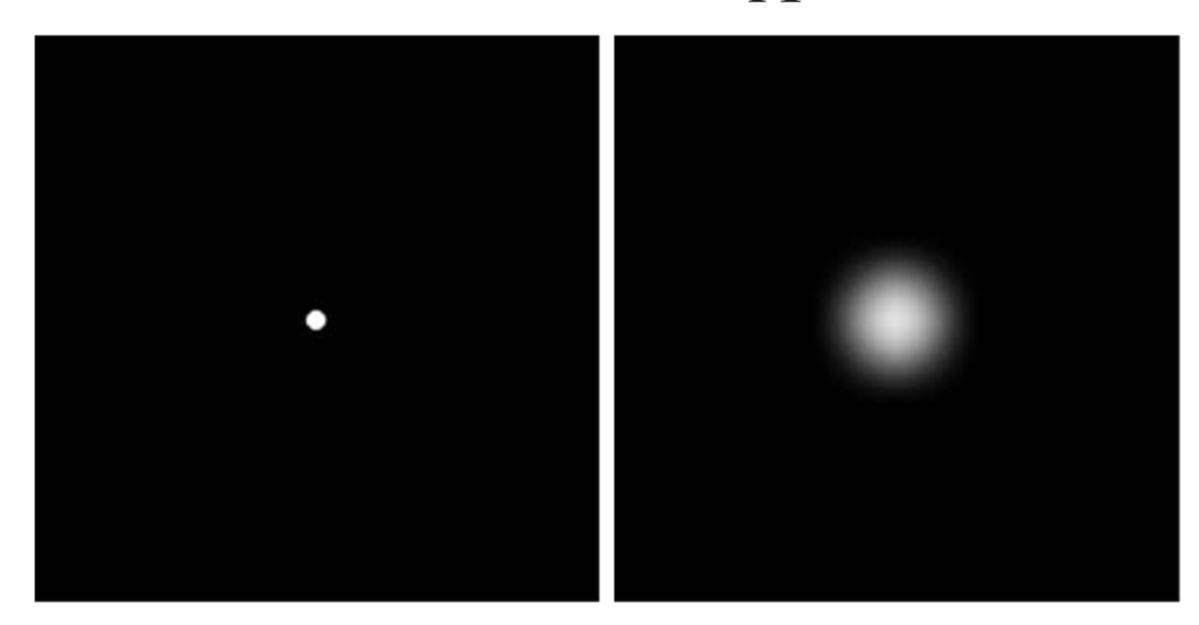
$$G(u, v) = H(u, v)F(u, v) + N(u, v)$$

- 从 $H_s(u,v)$ 扩展到H(u,v)
 - H是位置不变的

试验估计

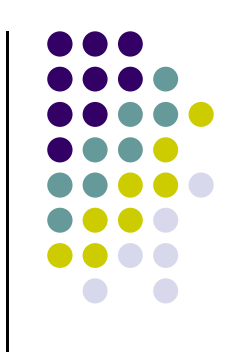
- 对冲激成像
 - 冲激数值大, 因此噪声的影响可以忽略
- 计算公式

$$H(u,v) = \frac{G(u,v)}{A}$$



• 大气湍流

- k是和湍流性质相关的常数
- 与高斯低通滤波器很相似



$$H(u,v) = e^{-k(u^2+v^2)^{5/6}}$$



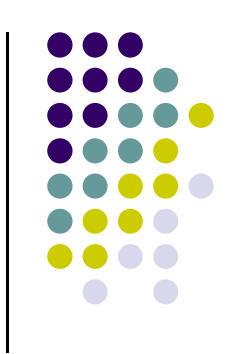




剧烈湍流(k = 0.0025)

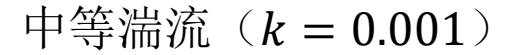
• 大气湍流

- *k*是和湍流性质相关的常数
- 与高斯低通滤波器很相似



$$H(u,v) = e^{-k(u^2+v^2)^{5/6}}$$







轻微湍流(k = 0.00025)



• 运动模型(平面运动)

$$g(x,y) = \int_0^T f[x - x_0(t), y - y_0(t)] dt$$
• T是曝光时间

- $x_0(t), y_0(t)$ 分别是x和y方向上的速率
- 傅里叶变换

$$G(u, v) = \int_{-\infty}^{\infty} \int_{-\infty}^{\infty} g(x, y) e^{-j2\pi(ux + vy)} dx dy$$

$$= \int_{-\infty}^{\infty} \int_{-\infty}^{\infty} \left[\int_{0}^{T} f[x - x_{0}(t), y - y_{0}(t)] dt \right] e^{-j2\pi(ux + vy)} dx dy$$

• 傅里叶变换

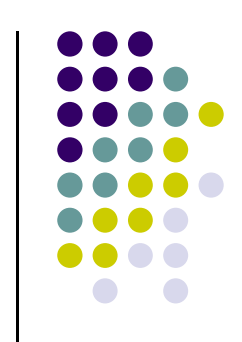
$$G(u,v) = \int_0^T \left[\int_{-\infty}^\infty \int_{-\infty}^\infty f[x - x_0(t), y - y_0(t)] e^{-j2\pi(ux + vy)} dx dy \right] dt$$

$$= \int_0^T F(u,v) e^{-j2\pi[ux_0(t) + vy_0(t)]} dt$$

$$= F(u,v) \int_0^T e^{-j2\pi[ux_0(t) + vy_0(t)]} dt$$

- $\not\equiv X$ $H(u,v) = \int_0^T e^{-j2\pi[ux_0(t)+vy_0(t)]} dt$
- 频率域滤波

$$G(u, v) = H(u, v)F(u, v)$$



• 频率域滤波器

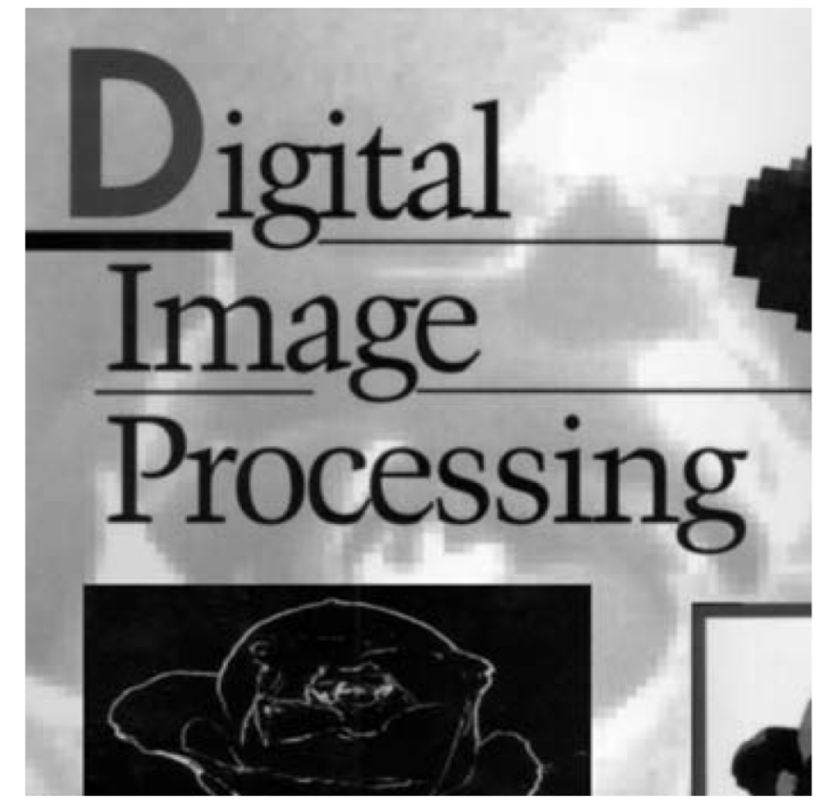
$$H(u, v) = \int_0^T e^{-j2\pi[ux_0(t) + vy_0(t)]} dt$$
$$= \frac{T}{\pi(ua + vb)} \sin[\pi(ua + vb)]e^{-j\pi(ua + vb)}$$

- $\Rightarrow x_0(t) = at/T$, $y_0(t) = bt/T$
- 模拟运动效果

$$G(u, v) = H(u, v)F(u, v)$$



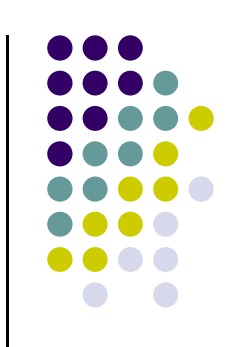
- 模拟运动效果
 - a = b = 0.1, T = 1



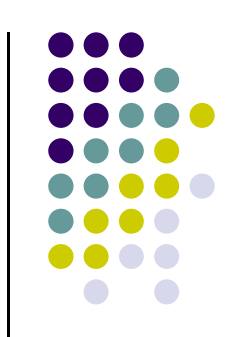


提纲

- 图像退化/复原建模
- 噪声模型
- 仅有噪声的图像复原
- 频域滤波消除周期噪声
- 线性、位置不变的退化
- 估计退化函数
- 逆滤波



逆滤波



• 退化函数H已知

$$G(u, v) = H(u, v)F(u, v) + N(u, v)$$

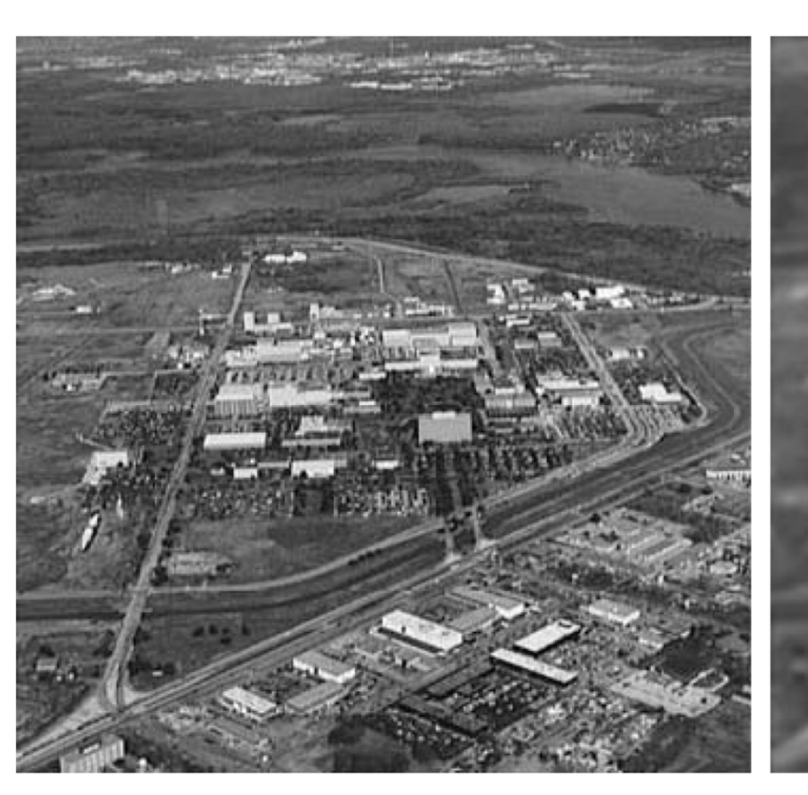
• 计算公式

$$\hat{F}(u,v) = \frac{G(u,v)}{H(u,v)}$$

$$\hat{F}(u,v) = F(u,v) + \frac{N(u,v)}{H(u,v)}$$

- 防止除0
 - 截断频率高的分量(频率高容易为0)

• 退化模型已知





$$H(u, v) = e^{-k[(u-M/2)^2+(v-N/2)^2]^{5/6}}$$

• 逆变换



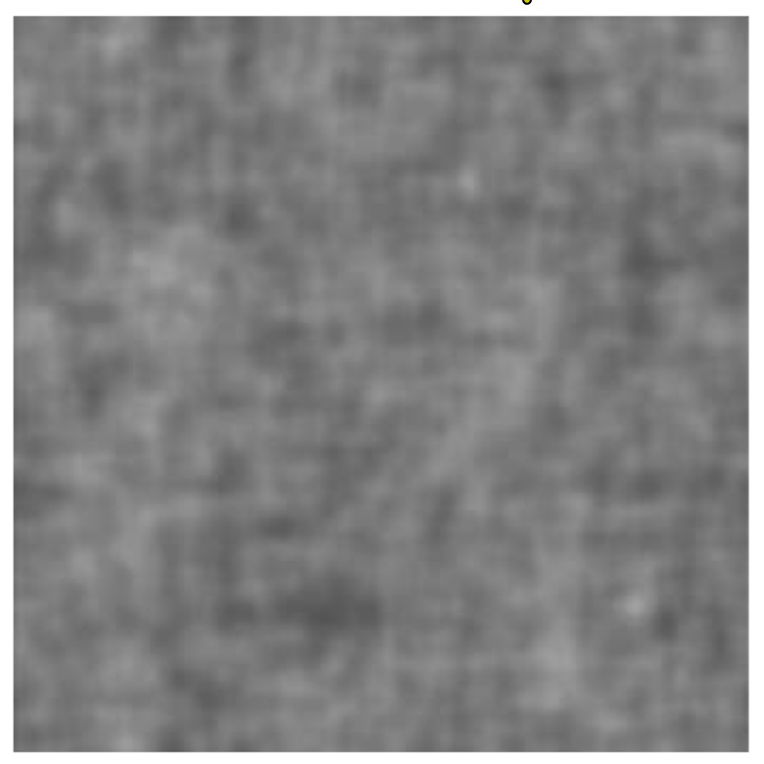
全滤波

40处截断

• 逆变换







70处截断

85处截断